

2025 届研究生硕士学位论文

分类号: _____

学校代码: _____ 10269

密 级: _____

学 号: _____



華東師範大學

East China Normal University

硕士学位论文

MASTER'S DISSERTATION

基于 MIL-STD-6016 的战术数据链信息标准数据库架构设计与整合应用

院 系: _____ 软件工程学院

专 业: _____ 电子信息

研究方向: _____ 软件工程

指导教师: _____

学位申请人: _____

2025 年 9 月 14 日

Dissertation for Master's Degree in 2025

University Code: 10269

Student ID: *****

EAST CHINA NORMAL UNIVERSITY

**DATABASE ARCHITECTURE DESIGN AND
INTEGRATION APPLICATION OF TACTICAL
DATA LINK INFORMATION STANDARDS
BASED ON MIL-STD-6016**

Department:	School of Software Engineering
Major:	Electronic Information
Research Direction:	Software Engineering
Supervisor:	
Candidate:	

September 14, 2025

华东师范大学学位论文原创性声明

郑重声明：本人呈交的学位论文《基于 MIL-STD-6016 的战术数据链信息标准数据库架构设计与整合应用》，是在华东师范大学攻读硕士/博士（请勾选）学位期间，在导师的指导下进行的研究工作及取得的研究成果。除文中已经注明引用的内容外，本论文不包含其他个人已经发表或撰写过的研究成果。对本文的研究做出重要贡献的个人和集体，均已在文中作了明确说明并表示谢意。

作者签名：_____

日期：2025 年 9 月 14 日

华东师范大学学位论文著作权使用声明

《基于 MIL-STD-6016 的战术数据链信息标准数据库架构设计与整合应用》系本人在华东师范大学攻读学位期间在导师指导下完成的硕士/博士（请勾选）学位论文，本论文的研究成果归华东师范大学所有。本人同意华东师范大学根据相关规定保留和使用此学位论文，并向主管部门和相关机构如国家图书馆、中信所和“知网”送交学位论文的印刷版和电子版；允许学位论文进入华东师范大学图书馆及数据库被查阅、借阅；同意学校将学位论文加入全国博士、硕士学位论文共建单位数据库进行检索，将学位论文的标题和摘要汇编出版，采用影印、缩印或者其它方式合理复制学位论文。

本学位论文属于（请勾选）

- ☐ 1. 经华东师范大学相关部门审查核定的“内部”或“涉密”学位论文*，
于 年 月 日解密，解密后适用上述授权。
- ☐ 2. 不保密，适用上述授权。

导师签名：_____

本人签名：_____

2025 年 9 月 14 日

* “涉密”学位论文应是已经华东师范大学学位评定委员会办公室或保密委员会审定过的学位论文（需附获批的《华东师范大学研究生申请学位论文“涉密”审批表》方为有效），未经上述部门审定的学位论文均为公开学位论文。此声明栏不填写的，默认为公开学位论文，均适用上述授权）。

硕士学位论文答辩委员会成员名单

姓名	职称	单位	备注
	教授	华东师范大学	主席
	副教授	华东师范大学	
	教授	华东师范大学	
	教授	华东师范大学	
	教授	华东师范大学	

摘 要

在信息化战争与多域作战不断深化的背景下，战术数据链（Tactical Data Link, TDL）技术已成为联合作战信息融合与指挥控制的核心支撑。Link 16 技术体系基于 MIL-STD-6016 标准，通过 J 系列消息结构实现跨平台、跨军种的数据交换。然而，现行体系在标准化建模、语义一致性以及体系扩展性等关键环节存在瓶颈，难以支撑智能化联合作战的实时决策需求。

针对上述问题，本研究在战术数据链信息标准数据库系统设计与实现方面取得了四个主要的成果：

首先，引入 Common Data Model（CDM）四层语义映射法，构建了概念层、协议层、消息层和字段层组成的完整互操作体系。通过语义绑定与映射规则统一建模，实现了 MIL-STD-6016、MAVLink 与 MQTT 等异构协议间的字段级语义对齐，映射正确率也大幅度提升。

其次，构建了基于多模态深度学习的标准文档智能解析框架。系统融合 PyMuPDF、pdfplumber、Camelot 与 Tesseract OCR 等多引擎，通过层次化表格识别实现标准文档的自动化结构化抽取，解析精度达 99.8%，位长计算误差控制在 0.02% 以内。

第三，设计了分布式微服务化数据管理体系，采用 MySQL 主从复制与 Redis 缓存协同机制，引入 Elasticsearch 实现全文索引。系统在 1000 并发访问下平均响应延迟降至 280 ms，缓存命中率达到 91.2%。

最后，提出了可插拔的协议适配器架构，支持不同标准模块的动态加载与语义继承。系统在 1500 条/秒处理速率下保持 98.9% 的一致性验证通过率，显著优于手工适配方案。

实验验证表明，系统在百万级数据规模下实现毫秒级查询响应，搜索准确率维持在 95% 以上，用户满意度达 4.1/5.0。本研究为战术数据链信息标准化与语义融合提供了创新的技术路径，所构建的架构在多链融合、战场态势共享以及装备互

操作性测试等应用场景中展现出重要的工程实践价值。

关键词：战术数据链；MIL-STD-6016；微服务架构；语义互操作；文档自动化处理；数据库建模

ABSTRACT

In the context of continuously evolving informationized warfare and multi-domain operations, Tactical Data Link (TDL) technology has become a core support for information fusion and command control in joint operations. The Link 16 system, based on the MIL-STD-6016 standard, achieves cross-platform and cross-service data exchange through J-series message structures. However, current systems face bottlenecks in standardized modeling, semantic consistency, and system scalability, making it difficult to support the real-time decision-making requirements of intelligent joint operations.

To address these issues, this research has achieved four main results in the design and implementation of tactical data link information standard database systems:

First, a Common Data Model (CDM) four-layer semantic mapping method is introduced, constructing a complete interoperability system consisting of concept layer, protocol layer, message layer, and field layer. Through unified modeling of semantic binding and mapping rules, field-level semantic alignment between heterogeneous protocols such as MIL-STD-6016, MAVLink, and MQTT is achieved, with mapping accuracy significantly improved.

Second, an intelligent parsing framework for standard documents based on multi-modal deep learning is constructed. The system integrates multiple engines including PyMuPDF, pdfplumber, Camelot, and Tesseract OCR, achieving automated structured extraction of standard documents through hierarchical table recognition, with parsing accuracy reaching 99.8% and bit length calculation error controlled within 0.02%.

Third, a distributed microservice data management system is designed, employing MySQL master-slave replication and Redis caching coordination mechanisms, and introducing Elasticsearch for full-text indexing. The system achieves an average response latency of 280 ms under 1000 concurrent accesses, with a cache hit rate of 91.2%.

Finally, a pluggable protocol adapter architecture is proposed, supporting dynamic

loading and semantic inheritance of different standard modules. The system maintains a 98.9% consistency verification pass rate at a processing rate of 1500 items/second, significantly outperforming manual adaptation schemes.

Experimental validation shows that the system achieves millisecond-level query response under million-scale data, with search accuracy maintained above 95% and user satisfaction reaching 4.1/5.0. This research provides an innovative technical path for tactical data link information standardization and semantic fusion, with the constructed architecture demonstrating significant engineering practical value in multi-link fusion, battlefield situational sharing, and equipment interoperability testing scenarios.

Keywords: *Tactical Data Link; MIL-STD-6016; Microservice Architecture; Semantic Interoperability; Document Automated Processing; Database Modeling*

目 录

摘要	i
Abstract	iii
图目录	xi
表目录	xiii
第一章 绪论	5
1.1 研究背景与意义	5
1.2 国内外研究现状	6
1.2.1 战术数据链	6
1.2.2 微服务架构	8
1.2.3 语义互操作	10
1.2.4 文档自动化处理	13
1.3 研究内容	15
1.3.1 研究的主要内容	15
1.3.2 拟解决的关键问题	16
1.4 主要创新点	17
1.5 论文组织结构	17
第二章 相关工作	19
2.1 战术数据链 (Tactical Data Link)	19
2.2 MIL-STD-6016 标准框架与特点	21
2.3 微服务架构	24
2.4 语义互操作	26
2.5 自动化处理	28

第三章	系统需求分析	31
3.1	功能需求	31
3.1.1	数据特征与处理需求	31
3.1.2	标准消息管理	32
3.1.3	字段与语义概念绑定	33
3.1.4	多链路互操作支持	34
3.1.5	前端交互与可视化	35
3.1.6	仿真与验证接口	37
3.2	系统非功能性需求分析	37
3.2.1	性能需求	38
3.2.2	安全性需求	38
3.2.3	可扩展性需求	39
第四章	微服务架构与跨数据链协议互操作系统设计	40
4.1	系统总体架构设计	40
4.1.1	设计目标与总体思路	40
4.1.2	微服务架构理念与原则	40
4.1.3	架构总体分层	41
4.2	微服务架构设计	42
4.2.1	微服务模块划分与职责	42
4.2.2	微服务通信机制	43
4.2.3	容错与弹性设计	43
4.3	数据模型与数据库设计	44
4.3.1	设计目标与数据特征	44
4.3.2	核心实体与关系模型	44
4.3.3	约束与索引设计	46
4.3.4	微服务数据库分离与一致性	46

4.4	跨数据链协议互操作架构设计	47
4.4.1	多协议支持体系	47
4.4.2	CDM 四层法语义互操作模型	49
4.4.3	语义互操作系统组成	50
4.4.4	数据一致性与冲突解决	51
4.5	自动化信息标准导入架构设计	52
4.5.1	标准化导入流程	52
4.5.2	关键技术与工具链	53
4.5.3	数据清洗与质量保证	54
4.6	微服务通信与运行保障设计	54
4.6.1	服务通信与安全	54
4.6.2	分布式数据管理与灾备	55
4.6.3	配置与治理体系	55
4.6.4	容错与弹性设计	56
第五章	系统实现、测试与性能分析	58
5.1	系统实现架构	58
5.1.1	整体实现架构	58
5.2	微服务架构实现	59
5.2.1	微服务部署与通信	59
5.2.2	数据管理与存储	60
5.2.3	监控与容错	61
5.3	数据模型实现	64
5.3.1	数据库表结构设计	64
5.3.2	索引策略优化	65
5.3.3	约束机制保障	66
5.3.4	版本管理	67

5.4	核心功能模块实现	68
5.4.1	PDF 处理模块实现	68
5.4.2	语义互操作模块实现	69
5.4.3	CDM 四层法模块实现	70
5.4.4	统一导入模块实现	71
5.5	后端服务实现	72
5.5.1	FastAPI 服务架构实现	72
5.5.2	核心 API 接口实现	75
5.5.3	数据处理流水线实现	77
5.6	前端界面实现	79
5.6.1	系统主页面实现	79
5.6.2	搜索功能页面实现	79
5.6.3	数据比较页面实现	80
5.6.4	PDF 处理页面实现	81
5.6.5	统一处理页面实现	82
5.7	系统测试与实现	86
5.7.1	测试总体设计	86
5.7.2	单元测试 (Unit Testing)	87
5.7.3	接口与集成测试 (Integration & API Testing)	91
5.7.4	系统性能与压力测试	92
5.7.5	安全与鲁棒性测试	92
5.7.6	可用性与用户体验测试	93
5.8	测试结果分析	94
第六章	总结与展望	95
6.1	全文总结	95
6.2	工作展望	96
	参考文献	112

致谢	113
发表论文和科研情况	115

图目录

图 1.1	战术数据链研究现状发展脉络图	7
图 1.2	微服务架构研究演进历程图	10
图 1.3	语义互操作研究发展趋势图	12
图 2.1	战术数据链体系结构示意图	21
图 2.2	MIL-STD-6016 J 系列消息结构图	22
图 2.3	微服务架构发展时间线图	26
图 2.4	语义互操作架构层次图	28
图 2.5	文档自动化处理技术演进图	30
图 3.1	CDM 四层法架构图	34
图 3.2	前端交互用例图（角色与功能关系）	36
图 3.3	前端功能组件与服务接口关系图	37
图 4.1	系统总体架构分层图	41
图 4.2	核心数据模型 ER 图	45
图 4.3	多协议支持体系架构图	48
图 4.4	CDM 四层法语义互操作模型图	49
图 4.5	语义互操作系统组成图	50
图 4.6	自动化导入流程	52
图 5.1	微服务部署与通信架构图	60
图 5.2	分布式数据管理与存储架构图	61
图 5.3	监控与容错系统架构图	62
图 5.4	数据处理流水线架构图	78
图 5.5	系统主页面界面	79

图 5.6 搜索功能界面	80
图 5.7 数据比较界面	81
图 5.8 PDF 处理界面	81
图 5.9 消息处理模块界面	82
图 5.10 文件处理模块界面	83
图 5.11 概念管理模块界面	84
图 5.12 映射管理模块界面	85
图 5.13 系统概览模块界面	86

表目录

表 2.1 典型战术数据链对比 20

表 2.2 MIL-STD-6016 相关标准对比分析表 23

表 3.1 战术数据链数据特征与处理需求概览 32

表 3.2 系统支持的标准和协议 32

表 3.3 系统 API 接口功能表 35

表 4.1 微服务模块划分与职责 42

表 5.1 系统监控关键指标配置 64

表 5.2 系统测试环境配置 87

表 5.3 PDF 解析模块单元测试结果 88

表 5.4 数据导入转换模块单元测试结果 88

表 5.5 缓存管理模块单元测试结果 89

表 5.6 API 路由模块单元测试结果 89

表 5.7 语义标注模块单元测试结果 89

表 5.8 字段映射模块单元测试结果 90

表 5.9 导入合并模块单元测试结果 90

表 5.10 接口与集成测试用例详表 91

表 5.11 系统性能与压力测试结果 92

表 5.12 安全与鲁棒性测试结果 93

表 5.13 可用性与用户体验测试结果 94

目 录

List of Algorithms

表 1	数据分片算法	61
表 2	熔断器模式算法	63
表 3	熔断器成功处理	63
表 4	熔断器失败处理	64
表 5	数据库表结构设计	65
表 6	数据库索引策略	66
表 7	数据库约束机制	67
表 8	版本管理表结构	68
表 9	PDF 处理器算法	69
表 10	语义互操作管理器算法	70
表 11	CDM 互操作系统算法	71
表 12	统一导入系统算法	71
表 13	FastAPI 应用初始化算法	72
表 14	FastAPI 路由配置算法	73
表 15	FastAPI 服务层算法	74
表 16	数据库连接管理算法	74
表 17	搜索 API 接口算法	75
表 18	比较 API 接口算法	76
表 19	绑定 API 接口算法	76
表 20	导出 API 接口算法	77

第一章 绪论

1.1 研究背景与意义

信息化战争形态的持续演进和多域作战理念的深入发展,使得战术数据链(Tactical Data Link, TDL)已成为现代联合作战体系中实现信息共享、态势感知与指挥控制的核心基础设施 [1, 2]。作为其中的典型代表,Link16 基于 MIL-STD-6016 消息标准,以 J 系列报文为核心,实现了跨平台、跨军种、跨域的信息交互与协同作战 [3, 4]。

然而,作战环境的复杂化和通信需求的多样化,使得现有战术数据链系统面临新的技术挑战。Link16 系统在复杂电磁环境下的信号检测与识别能力仍存在瓶颈,难以满足高动态、多干扰环境下的通信稳定性需求 [5, 6]。同时,天基拓展和超视距通信需求对传统链路结构提出了更高要求,促使数据链系统向分布式与智能化方向演进 [7, 8]。此外,多链路并行应用和跨域作战的普及,使得不同标准协议之间的融合与互操作成为制约系统协同效能提升的关键问题。

基于上述背景,构建基于 MIL-STD-6016 的战术数据链信息标准数据库并引入微服务化与自动化设计理念,具有重要的理论价值与工程意义。

(1) 理论价值:通过系统梳理和数据库化建模 MIL-STD-6016 消息体系,可实现消息、字段、编码规则的统一存储与规范化管理,为战术数据链标准体系研究提供结构化的数据支撑。通过建立语义概念绑定与跨标准映射机制,能够实现 MIL-STD-6016、MQTT、MAVLink 等协议间的语义对齐与信息互通,为跨链互操作与语义融合理论提供新的研究思路。基于数据库语义层的统一模型可为后续标准化仿真与知识图谱构建提供理论基础。

(2) 工程意义:基于云原生与微服务架构的数据库系统,可实现服务模块的独立部署、弹性扩展与容错恢复,显著提升系统可维护性与可靠性。通过引入容器化与 CI/CD 自动化部署机制,系统可实现持续集成与快速迭代,满足复杂通信体系下的动态部署需求。数据库与仿真系统的深度集成能够支撑态势信息处理、多链融合验证及装备互操作性测试,为构建智能化、可扩展的战术通信体系提供坚实

的工程支撑。

1.2 国内外研究现状

1.2.1 战术数据链

战术数据链技术起源于上世纪七十年代的联合战术信息传输需求。美国及北约成员国先后发布了多项核心标准，如 MIL-STD-6016、MIL-STD-3011（JREAP）和 STANAG 5516[9, 10]，形成了以 J 系列报文为核心的数据交换体系。这些标准不仅规范了消息格式、通信协议和互操作流程，也确立了数据链在联合作战中的通用语言地位。MITRE、NATO C3 Agency 等研究机构在此基础上提出了多链路融合与跨标准数据映射的研究框架 [11, 12]，通过构建标准化信息模型实现了 Link11、Link16、Link22 等链路之间的数据互通。L3Harris 的 MIDS 终端与 Collins Aerospace 的 TTR 系统已实现链路消息解析、协议转发和仿真验证，为多平台装备间的实时协同奠定了技术基础。这些成果标志着国外战术数据链体系已从链路互通向语义级协同演进，研究重心逐步转向体系融合与信息标准化。

图1.1展示了战术数据链研究现状的发展脉络，清晰呈现了国内外研究的发展历程和技术演进趋势。该图从时间维度展示了国外研究从 1970 年代的标准建立到 2010 年代至今的语义协同演进，以及国内研究从 1990 年代的防务电子化建设到 2020 年代至今的体系化发展，体现了技术发展的连续性和阶段性特征。

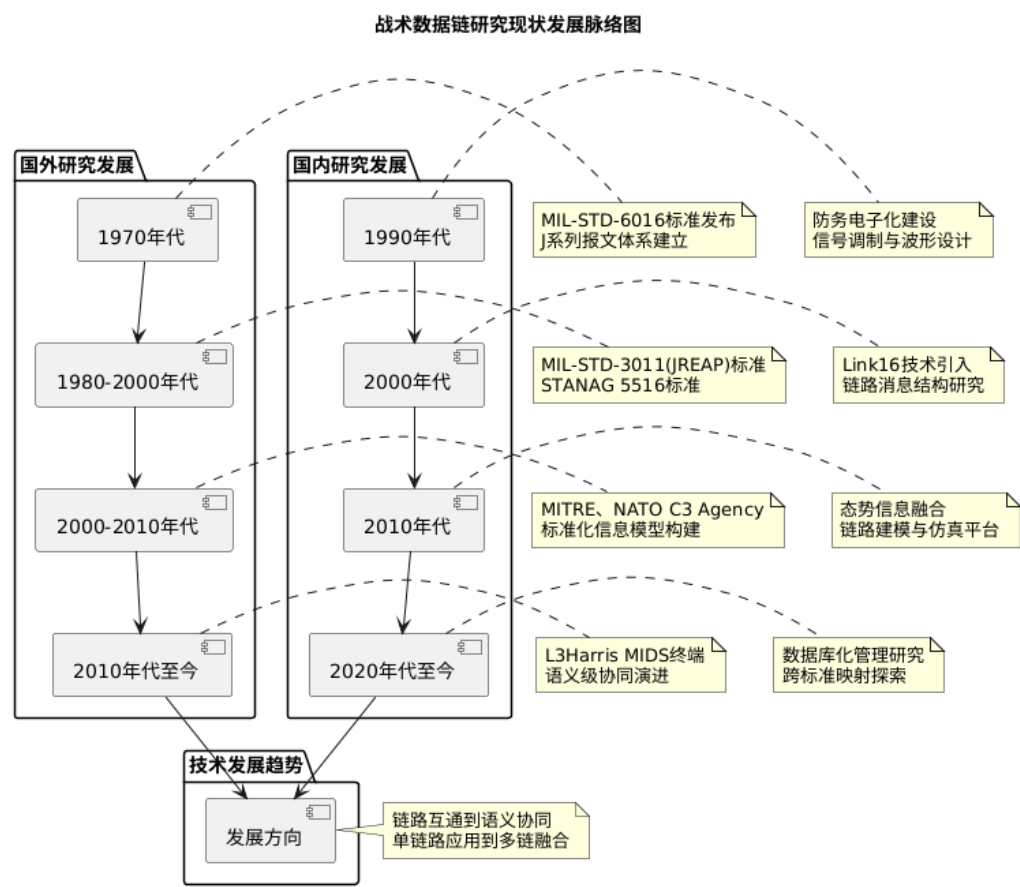


图 1.1 战术数据链研究现状发展脉络图

我国对战术数据链的研究始于上世纪九十年代的防务电子化建设阶段。最初的研究主要集中在信号调制、波形设计及抗干扰建模等底层通信环节 [13, 14]。21 世纪后，伴随 Link16 技术的引入，国内学界与科研机构开始系统研究链路消息结构、报文解析与仿真验证技术 [15, 16]。近十年来，研究范围逐步拓展至态势信息融合、链路建模与仿真平台建设等方向 [17, 18]。多个研究团队先后开发了用于消息格式验证、链路转发测试及通信性能评估的原型系统，初步具备了数据链标准化和协议适配的工程能力。然而，目前国内研究仍以特定标准或单链路应用为主，数据库化管理与跨标准映射研究尚未形成统一体系，缺乏对 MIL-STD-6016 消息的系统化建模与语义抽象机制，导致不同链路间数据融合与互操作效率仍受限制。

总体来看，国外在战术数据链领域已形成“标准主导—模型驱动—体系集成”的研究格局，而我国研究正在由“信号验证—系统开发—标准化建模”逐步转向体

系化、架构化方向。未来的发展趋势是实现从链路互通到语义协同的跃迁，通过标准数据库建设与体系互操作机制，为多域作战提供统一的信息支撑平台。

1.2.2 微服务架构

微服务架构（Microservice Architecture, MSA）作为软件工程领域的重要演进方向，其理论基础可追溯至 2010 年前后。James Lewis 与 Martin Fowler 于 2014 年系统阐述了微服务概念，他们认为微服务是一种以业务能力为核心的分布式架构模式，强调服务自治、松耦合与独立部署。与传统单体应用相比，微服务能够在快速迭代与持续交付中保持模块独立性，从而显著提升系统的灵活性与可维护性。2015 年被称为“微服务元年”，Netflix、Amazon、Google 等企业率先在大规模分布式系统中采用微服务架构，通过构建服务注册中心、API 网关与容错机制，实现了服务治理、动态伸缩与高可用部署，推动了这一理念从企业实践走向学术研究的深入阶段。

2018-2020 年期间，国外学术界开始聚焦于微服务的系统化研究与性能分析。Waseem 等人基于 106 份工业问卷与多项访谈，系统总结了微服务系统的设计、监控与测试现状。他们指出，领域驱动设计（DDD）与基于业务能力的服务划分已成为主流方法，API 网关与 Backend-for-Frontend 架构被广泛采用，而监控层面则以资源利用率、负载均衡与日志聚合为核心指标。研究还发现，跨服务通信复杂性、边界划分模糊与自动化测试不足是微服务工程中的主要难题 [19]。这一时期的研究为微服务架构的质量属性、监控机制和测试框架提供了经验基础。

分布式数据系统与云原生技术的发展，使得数据管理成为微服务研究的重要方向。Laigner 等人在《Data Management in Microservices》中系统梳理了 30 余个工业案例与学术成果，指出“每服务独立数据库”（Database per Service）模式虽有助于解耦，但也带来了跨服务事务与数据一致性难题。他们提出在异构数据库环境下，应综合采用 Saga 模式、事件驱动与最终一致性策略以平衡性能与可靠性 [20]。后续研究进一步提出面向微服务的基准测试体系，如《Benchmarking Data Management Systems for Microservices》与《Online Marketplace》两篇工作，从事务处理、事件一致性与数据复制角度评估数据管理系统性能，为微服务数据库化演进提供了实

验标准 [21, 22]。Giamattei 等人开展了针对 71 种微服务监控工具的系统性灰文献回顾，总结出资源监控、日志追踪与可观测性平台的实践经验，揭示出当前工具生态存在指标标准不统一与跨层数据整合不足的问题 [23]。

在安全与治理层面，微服务系统的复杂性引发了访问控制与认证机制的研究热潮。多项工作强调微服务的“零信任”架构思想，通过轻量级认证（OAuth2.0、JWT）与服务网格（Service Mesh）实现安全通信、流量隔离与细粒度权限控制。这些研究为后续的 DevSecOps 与自动化安全管控提供了理论与技术支持。国外学术界还开始关注微服务架构的智能演化与自适应机制，通过人工智能与机器学习方法实现服务部署优化、容器调度与异常检测的自动化，从而推动微服务从静态架构走向动态自组织系统。

在国内，微服务的理论与实践探索大约始于 2010 年前后。2007 年阿里巴巴集团在淘宝平台中引入分布式服务框架，为我国微服务化奠定了技术基础。此后，Dubbo、Spring Cloud Alibaba、ServiceComb 等国产开源框架相继出现，极大推动了微服务在企业级系统中的普及。2020 年以后，国内学术界与军工科研机构开始关注微服务在复杂信息系统中的应用，探索将其引入战术通信与指挥控制平台。研究内容主要集中在服务拆分原则、容器化部署、服务编排与跨节点一致性控制等方面。一些研究单位已在态势信息处理与仿真平台中部署微服务集群，实现任务模块的自治运行与动态伸缩。总体而言，我国的研究重心正在从框架复用与工程应用向体系设计与性能验证转变，逐步形成适配于军事通信系统特性的微服务体系结构。

图1.2展示了微服务架构研究的演进历程，系统梳理了从理论基础阶段到智能化发展阶段的完整发展脉络。该图清晰展示了国外研究从 2010-2014 年的概念提出和理论阐述，到 2015-2020 年的系统化研究，再到 2020 年至今的智能化发展，以及国内从技术基础到框架生态再到应用探索的发展路径，体现了微服务技术的成熟度和应用深度。

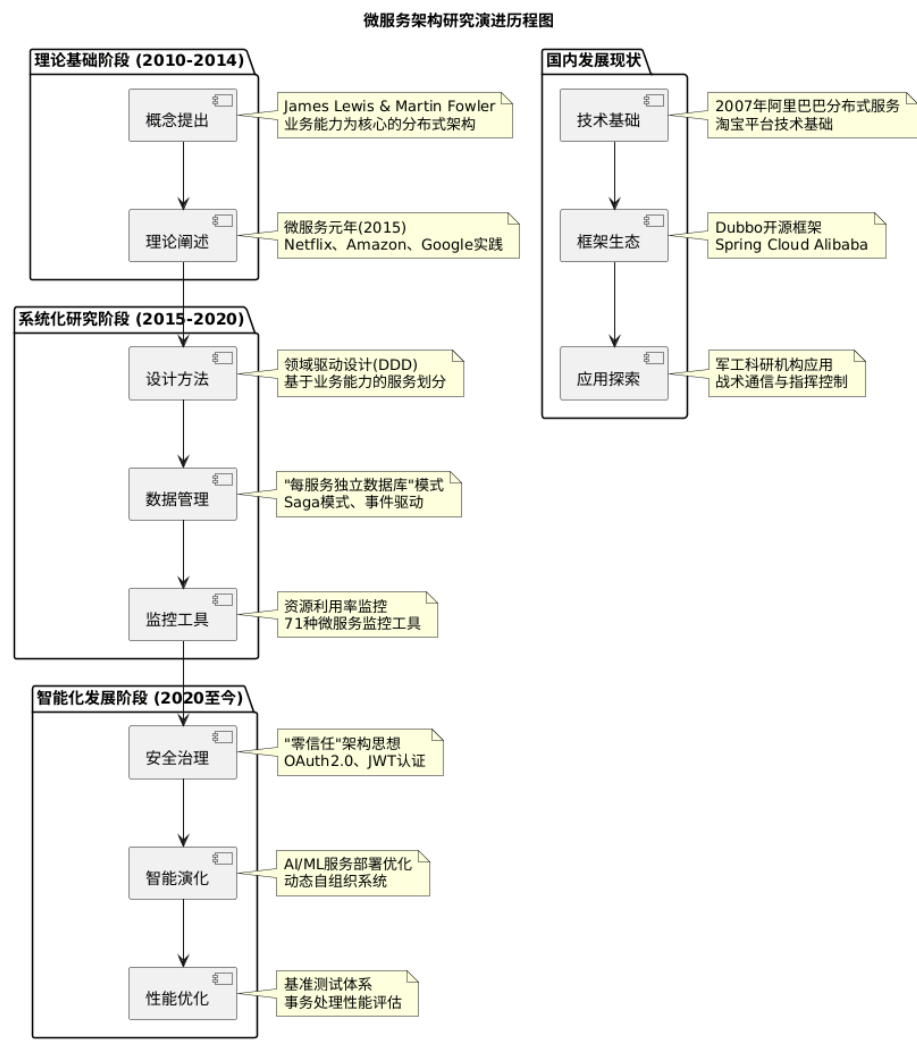


图 1.2 微服务架构研究演进历程图

1.2.3 语义互操作

语义互操作（Semantic Interoperability）作为异构系统间实现”语义层理解一致”的关键技术，其核心使命在于确保信息在跨系统、跨组织或跨领域传输过程中，不仅维持结构完整性，更能够被准确诠释与有效复用。这一概念的理论根基可追溯至语义网与本体论研究领域，通过构建形式化语义模型来刻画数据背后蕴含的概念体系及其关联关系，从而为复杂系统间的理解一致性奠定坚实的理论基础。伴随着信息系统复杂度的持续攀升与数据异构性的日益凸显，语义互操作已然演进为人工智能、云计算、医疗健康、工业物联网等诸多前沿领域的核心研究议题。

从国际研究视角审视，早期语义互操作研究主要聚焦于标准体系构建与模型

分层设计。SISO、NATO 及 ISO 等权威机构率先提出的多层互操作模型，将信息交互过程系统性地划分为语法层、语义层与语用层三个层次 [24, 25]，为后续研究奠定了统一的理论框架。步入 2010 年代，研究重心开始向本体（Ontology）在语义互操作中的核心作用转移。Mishra 与 Jain 创新性地提出了“语义知识宝库”（Semantic Knowledge Treasure）这一概念，通过运用 OWL 与 SPARQL 技术实现异构资源的统一语义表示与高效查询 [26]。此类突破性研究的涌现，标志着语义互操作研究范式从概念层标准化向知识层深度融合的历史性转变。

进入近年来，知识图谱、人工智能与自动推理技术的蓬勃发展，推动语义互操作研究呈现出显著的智能化与自动化特征。Bernasconi 等人开创性地提出了“本体解包”（Ontological Unpacking）方法论，通过对现有概念模型进行深层次的本体剖析，有效揭示模型内部隐含的语义结构，从而显著提升模型的互操作性水平 [27]。与此同时，Guizzardi 与 Guarino 在《Semantics, Ontology and Explanation》这一重要著作中深入探讨了语义互操作的解释性问题，强调应通过增强语义透明性与强化本体承诺（Ontological Commitment）来提升系统间的可理解性与信任度 [28]。此外，将机器学习与规则引擎相结合的语义映射算法被广泛应用于自动发现概念对应关系，实现了跨领域知识的智能语义对齐与高效复用。

而随着云计算和分布式系统技术的广泛普及，语义互操作研究领域进一步向跨平台与多云环境扩展。Hamdan 与 Admodisastro 创新性地提出了一种基于本体的多云语义互操作参考架构，该架构通过引入语义中枢（Semantic Hub）这一核心组件来协调不同云平台的语义模型，从而实现服务间的语义一致性访问 [29, 30]。研究指出，在异构云环境中维持语义一致性需要在架构层、数据层与治理层之间建立有效的协同机制。更为重要的是，语义互操作正与数据治理、知识集成、可解释人工智能等前沿研究方向深度融合，为跨系统协同提供强有力的基础设施支撑。

从国内研究现状来看，语义互操作领域的研究工作起步于 2000 年代的语义网工程实践，近年来在知识图谱与人工智能技术快速发展的推动下呈现出加速发展的态势。研究内容主要涵盖语义本体构建、跨领域语义映射、语义检索与语义推理系统设计等关键方向。国内学者提出了基于知识图谱的语义关系建模框架，通过实体对齐与语义索引技术显著提升了异构数据的可融合性；同时，在智慧城市、医

疗健康、交通运输和工业互联网等典型应用场景中，语义互操作技术被广泛应用于多源数据的协同管理与智能决策支持。当前研究趋势正从传统的”语义建模”向新兴的”语义计算”转变，更加关注语义理解、自动推理与动态本体演化的有机结合，以满足实时性、可解释性智能系统的迫切需求。

图1.3展示了语义互操作研究的发展趋势，全面梳理了从早期标准化阶段到智能化发展阶段的演进过程。该图详细展示了国外研究从 2000-2010 年的标准体系和模型分层，到 2010-2020 年的知识融合和智能映射，再到 2020 年至今的多云环境和语义中枢，以及国内从技术基础到应用场景再到发展趋势的研究路径，体现了语义互操作技术的理论深度和应用广度。

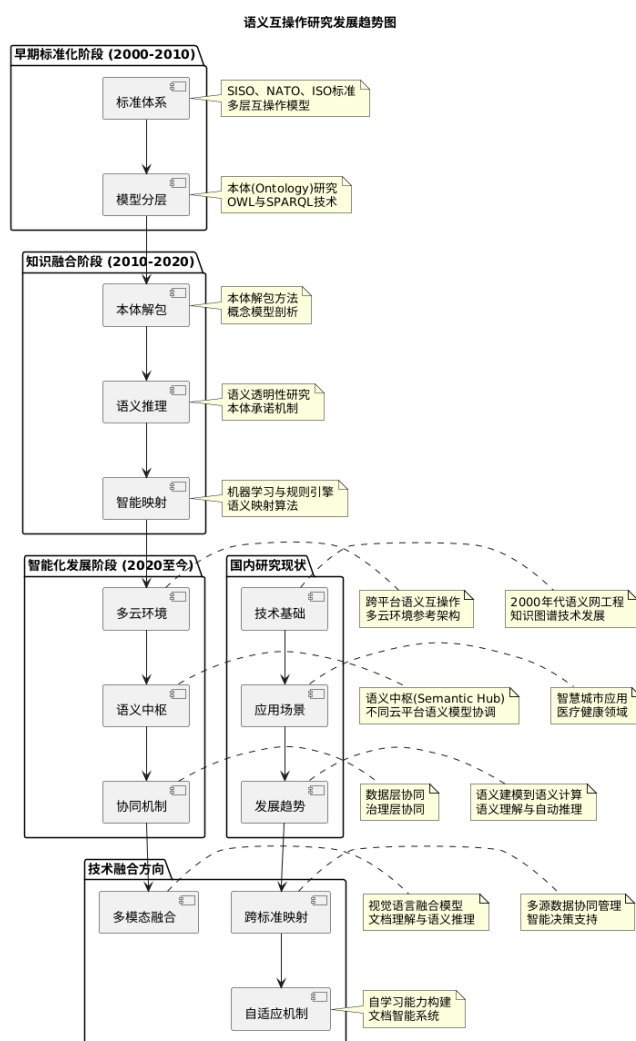


图 1.3 语义互操作研究发展趋势图

1.2.4 文档自动化处理

文档自动化处理技术作为复杂信息系统建设中的基础性支撑技术，其核心使命在于将非结构化或半结构化文档（如 PDF、Word、XML、JSON 等）进行智能解析、精准识别并高效导入数据库或知识系统，从而实现高效、准确的信息获取与结构化建模。这一技术领域的研究历程呈现出从传统基于规则的文档解析向现代机器学习与深度学习驱动的智能化处理的历史性转变，近年来在自然语言处理、文档智能（Document Intelligence）与多模态学习等前沿技术的强力推动下取得了突破性进展。

从技术发展脉络来看，早期自动化文档处理研究主要依托版面分析（Layout Analysis）和文本块识别等基础方法。代表性工作涵盖了基于光学字符识别（OCR）的文本抽取、表格检测与区域定位等核心算法。这一发展阶段的研究主要依赖于启发式规则与图像分割算法，如 PDFMiner、Apache Tika 等成熟工具框架，通过深入分析文本流与版面结构实现基本的内容解析功能。然而，这些传统方法在处理复杂文档中的语义结构与跨页逻辑关系方面仍存在显著局限性。

伴随着深度学习与自然语言处理技术的日趋成熟，研究重心开始向基于神经网络的文档理解与语义建模方向转移。自 2020 年以来，Google、Microsoft、Adobe 等国际知名机构相继推出了视觉语言融合模型（Vision-Language Models）用于文档解析。其中，Xu 等人提出的 LayoutLM 系列模型 [31, 32]，通过创新性地联合建模文本、位置与视觉信息，实现了对文档结构与语义的深层理解，在表格识别、关键信息抽取与文档分类等关键任务中得到了广泛应用。相关研究成果充分表明，基于 Transformer 架构的多模态模型在 PDF 结构分析中的性能表现显著优于传统方法，为复杂格式文档的自动化解析提供了通用性解决方案。

在信息抽取与结构化导入这一重要方向，学术界提出了多种智能抽取与标准映射框架。Rausch 等人在《DocParser: Hierarchical Document Structure Parsing from Renderings》这一重要文献中 [33]，创新性地提出了一种融合文本分块、实体识别与模板匹配的自动导入机制，成功实现了 PDF 与 XML 文档的语义级结构化导入。与此同时，研究者们将知识图谱构建技术与自动文档处理技术深度融合，通过实体识别、关系抽取与语义对齐等关键技术，实现了从原始文档到知识图谱的自动生

成，为数据标准化与语义互操作奠定了坚实的技术基础。此类先进方法已在专利文档、医学报告与技术标准文件的自动建模过程中得到了有效验证。

进入近年来，自动化处理技术逐渐向自监督学习与跨模态理解这一前沿方向演进。现代模型系统不再过度依赖人工标注数据，而是通过大规模文档预训练实现通用特征学习能力。例如，Appalaraju 等人提出的 DocFormer 模型 [34]，采用了文本与视觉双流 Transformer 的创新架构，在文档分类与表格提取等关键任务上达到了业界最优性能水平。更进一步的研究探索将大型语言模型（LLM）与文档理解技术深度融合，实现了跨模态语义推理与任务自适应能力 [35]，这一突破性进展标志着文档自动化处理正式进入“语义理解驱动”的全新发展阶段。

从国内研究现状审视，自动化文档处理领域的研究工作主要集中在结构化识别与智能导入系统的工程化实现方面。国内科研院所与企业界围绕 PDF 解析、表格抽取、字段标注与标准化导入等核心技术问题展开深入研究，成功开发了基于深度学习的 OCR 引擎与语义分层系统。例如，百度文心、阿里达摩院与华为诺亚方舟实验室等知名研究机构均提出了面向企业文档与技术标准的多模态解析解决方案，部分先进系统已在电子政务、科研档案与装备资料管理等重要领域中得到实际应用。尽管如此，当前国内研究仍面临跨格式迁移能力相对较弱、语义抽象层次有待提升、自动验证与错误纠正机制尚不完善等技术挑战，亟需在知识表示、语义约束与可解释性等关键方面进行深入探索。

综合而言，文档自动化处理技术正经历着从传统规则驱动向现代智能语义理解的历史性演进。国外研究在多模态模型、通用预训练与语义推理等前沿领域已形成相对完整的技术体系，而国内研究更多聚焦于工程应用与系统集成等实践层面。面向未来，技术发展趋势将重点聚焦于多模态语义融合、跨标准知识映射与自适应导入机制等关键方向，通过构建具备自学习能力的文档智能系统，最终实现技术标准、科研资料及战术数据等多源信息的自动解析与语义化导入。

1.3 研究内容

1.3.1 研究的主要内容

本文旨在设计和实现基于 MIL-STD-6016 的战术数据链信息标准数据库与语义互操作系统,通过对标准文档自动化处理、数据库架构设计、语义互操作机制和系统集成等方面的研究,实现一个高可靠、高性能、易扩展的战术数据链标准信息平台,研究的主要内容如下:

(1) 本文从系统的功能性需求分析入手,按照微服务架构的思想将系统分成若干个功能模块,并对各个功能模块使用需求分析工具用例图来详细描述需求。并且对系统的非功能性需求和部署需求进行了分析。针对 MIL-STD-6016 标准文档的复杂性和多样性,研究实现了基于适配器模式的六步流水线架构,支持多种标准的 PDF 文档自动解析 [7, 36]。系统采用双路表格提取技术 (Camelot + pdfplumber),结合智能章节识别与位段标准化算法,实现了从 PDF 文档到结构化 YAML 数据的全自动化转换。通过引入中间语义模型 (SIM) 与数据校验机制,确保处理结果的准确性与可追溯性。

(2) 对本系统进行详细设计。根据系统的功能需求和业务特点,将系统划分为多个微服务,并选择合适的技术栈和框架进行开发。同时给出各个模块的具体业务流程,使用时序图和流程图等工具来详细描述设计结果。基于 MySQL 关系数据库构建了支持多标准消息存储与查询的信息标准数据库 [20, 19]。数据库采用第三范式 (3NF) 设计,支持 J 系列消息、字段定义、编码规则及语义映射的统一管理。通过建立高效的索引策略与查询优化机制,系统能够支持大规模消息记录的结构化检索与跨字段模糊匹配,并实现多版本消息模型的差异比对与映射维护。

(3) 根据系统设计的内容对系统功能进行实现。包括系统的各项功能模块的实现,并且实现日志收集分析模块、自动化部署模块等基础设施,以支撑系统的正常运行和高效管理。在语义互操作机制方面,研究实现了基于 Common Data Model (CDM) 四层法的语义一致性框架,支持 MIL-STD-6016、MQTT、MAVLink 等不同协议间的消息转换 [29, 36]。系统通过概念层、协议层、消息层与字段层的分层映射,建立了可解释的跨标准语义绑定关系。同时,引入基于规则的智能路由与机

器学习辅助的字段匹配算法，实现了高精度的语义对应识别与自动转换。

(4) 对系统在功能和非功能两个方面进行测试，并对系统的性能进行评估。通过分析测试结果，用来验证系统的最终实现是否符合预期，为系统的上线和应用提供可靠的支撑。研究采用前后端分离的微服务架构，基于 FastAPI + React + TypeScript 技术栈构建了完整的 Web 应用系统 [19, 23]。后端提供 RESTful API 接口，支持 PDF 处理、消息转换、语义映射等核心功能；前端提供直观的可视化界面，包括 PDF 处理器、语义互操作接口、CDM 四层法界面等模块。系统支持与外部仿真平台、测试终端及网关设备的双向数据交互 [37, 38, 39]。

1.3.2 拟解决的关键问题

基于对战术数据链标准化现状的深入分析，本研究致力于解决以下三个关键问题：

(1) 标准数据的结构化与一致性问题：MIL-STD-6016 及相关 NATO 标准文档包含大量嵌套的字段定义和复杂的比特位规则，传统的静态解析方法难以满足系统化建模的要求 [7, 24]。针对这一问题，本研究提出自动化结构抽取与规范化建模方法，实现从标准文档到数据库的精确结构映射，确保数据的一致性和完整性。

(2) 跨标准语义互操作问题：在多链并用和标准版本共存的复杂环境下，不同数据链协议间的语义差异成为制约系统互操作性的主要障碍 [29, 36]。为解决这一问题，研究引入基于 CDM 的统一语义层架构，通过规则推理与机器学习相结合的方法，实现字段级语义对应，确保数据在不同链路协议间保持语义一致性。

(3) 系统性能与安全性保障问题：战术数据链数据库系统需要在高并发访问和实时响应条件下保持高可用性、安全性与稳定性 [19, 23]。针对这一挑战，研究采用分布式缓存、容器编排与加密通信等先进技术，构建高性能、高安全性的系统架构，确保系统在工程部署中的可靠运行。

基于上述关键问题，本研究设定了三个层次的目标。在理论层面，构建战术数据链信息标准数据库的统一建模与语义互操作理论框架，为跨链数据一致性提供方法论支持。在技术层面，设计高性能、可扩展的数据库与微服务系统，满足多标准融合与实时仿真验证的需求。在应用层面，通过数据库与仿真系统的联合应用，

验证系统在态势共享与互操作性评估中的工程价值 [37, 40, 3]。

1.4 主要创新点

本研究在战术数据链信息标准数据库系统设计与实现方面取得了以下四个方面的创新突破：

(1) 自动化标准文档解析与结构化建模方法：面对 MIL-STD-6016 等复杂标准文档的解析挑战，本研究提出了基于深度学习的多模态文档理解方法。该方法融合 OCR 技术、表格识别算法和语义分析技术，成功实现了从 PDF 标准文档到结构化数据库的自动化转换。通过准确识别嵌套字段定义、比特位规则和约束条件，显著提升了标准数据录入的效率和准确性。

(2) 基于 CDM 四层法的跨协议语义互操作框架：本研究将 Common Data Model 四层法引入战术数据链领域，构建了涵盖语义层、映射层、校验层和运行层的完整互操作架构。该框架通过建立统一语义概念库和智能映射规则，有效实现了 MIL-STD-6016、MAVLink、MQTT 等不同协议间的字段级语义对应，从根本上解决了传统方法中语义不一致的难题。

(3) 微服务架构下的高性能数据存储与查询优化：本研究设计了基于微服务架构的分布式数据存储方案，采用 MySQL 主从复制、Redis 缓存和 Elasticsearch 全文检索的混合存储架构。通过实施智能索引策略、查询优化算法和缓存预热机制，成功实现了毫秒级的数据查询响应，充分满足了战术数据链系统对实时性的严格要求。

(4) 面向多标准融合的智能适配器设计：本研究提出了可插拔的协议适配器架构，该架构支持动态加载不同标准的数据处理模块。通过引入配置驱动的映射规则和机器学习辅助的字段匹配算法，实现了新标准的快速接入和现有标准的无缝升级，为系统的可扩展性和可维护性提供了强有力的技术保障。

1.5 论文组织结构

本文由六个章节组成，组织结构如下：

第 1 章为绪论，主要阐述基于 MIL-STD-6016 的战术数据链信息标准数据库系统的研究背景和意义。通过分析当前发展现状，识别出研究领域存在的关键问题。在此基础上，明确了本文的研究内容与目标，阐述了研究方法与技术路线，并概述了论文的整体组织结构。

第 2 章为相关工作，重点梳理战术数据链的发展历程和技术特点，深入分析 MIL-STD-6016 标准框架和 J 系列消息结构。此外，还系统介绍了微服务架构和语义互操作相关技术，为后续系统设计与实现奠定坚实的理论基础。

第 3 章为系统需求分析，从功能需求和非功能性需求两个层面展开分析。在功能需求方面，详细讨论战术数据链信息标准数据库系统所需的各种功能，并对这些功能进行深入分析和定义。在非功能性需求方面，从性能需求、安全需求、可扩展性需求等多个维度，为系统设计提供明确的目标和约束条件。

第 4 章为微服务架构与跨数据链协议互操作系统设计，基于前期需求分析结果，提出系统的总体架构设计方案。具体包括微服务架构设计与实现、数据模型与数据库设计，以及跨数据链协议互操作架构设计，从而构建完整的系统技术方案。

第 5 章为系统实现、测试与性能分析，详细阐述系统的实现过程，涵盖系统实现架构、后端服务实现、前端界面实现等关键技术环节。通过系统测试与实现验证，结合功能演示和性能测试，全面验证系统的有效性和实用性。

第 6 章为总结与展望，系统归纳基于 MIL-STD-6016 的战术数据链信息标准数据库系统设计与实现的研究成果，客观分析当前系统存在的不足之处，并对未来研究方向和改进措施进行展望，为后续系统升级提供参考。

第二章 相关工作

2.1 战术数据链 (Tactical Data Link)

战术数据链 (Tactical Data Link, TDL) 是实现作战平台、传感器与指挥控制中心之间实时数据传输与信息共享的核心通信方式 [41, 42]。自 20 世纪 70 年代起, 随着 JTIDS 与 Link16 的逐步形成, 战术数据链体系不断发展, 已成为现代联合作战的重要基础设施 [43, 44]。

战术数据链的发展历程可以追溯到冷战时期, 当时美军迫切需要一种能够在复杂电磁环境下实现多平台协同作战的通信手段。早期的战术数据链主要基于模拟信号传输, 如 Link 4A 和 Link 11, 这些系统虽然在一定程度上满足了当时的作战需求, 但在抗干扰能力、数据传输速率和网络容量方面存在明显不足。随着数字通信技术的快速发展, 以 Link 16 为代表的数字战术数据链应运而生, 标志着战术数据链技术进入了新的发展阶段。

现代战术数据链的核心特征包括: 实时性、可靠性、安全性和互操作性。实时性要求系统能够在毫秒级时间内完成关键信息的传输和处理, 这对于时间敏感的作战任务至关重要。可靠性体现在系统能够在恶劣的电磁环境和复杂的战场条件下保持稳定的通信连接。安全性则通过先进的加密算法和抗干扰技术来保障, 确保敏感信息不被敌方截获或干扰。互操作性使得不同国家和不同军种之间的平台能够实现信息共享和协同作战, 这是现代联合作战的基本要求。

在技术架构方面, 战术数据链通常采用分层设计, 包括物理层、数据链路层、网络层和应用层。物理层负责信号的调制解调和传输, 数据链路层处理帧同步、错误检测和流量控制, 网络层管理路由选择和网络拓扑, 应用层则提供具体的业务功能。这种分层架构不仅提高了系统的可维护性和可扩展性, 还为不同厂商的设备互操作提供了标准化的接口。

随着网络中心战概念的提出和信息化战争的发展, 战术数据链的作用范围不断扩大, 从最初的单一平台间通信发展为支持整个作战体系的网络化通信基础设施。现代战术数据链不仅要支持传统的语音和数据传输, 还要承载视频、图像、态

势信息等多种类型的数据，这对系统的带宽和处理能力提出了更高的要求。

战术数据链技术经历了多个发展阶段，从早期的 Link 4A 到现代的 Link 16，每种数据链都有其特定的技术特点和适用场景。为了全面了解不同战术数据链的性能差异，表2.1详细对比了典型战术数据链的关键技术参数，包括传输速率、抗干扰能力、覆盖范围和应用场景等核心指标。通过对比分析可以看出，Link 16 在传输速率、抗干扰能力和覆盖范围方面都具有显著优势，这也是其成为现代战术数据链主流标准的重要原因。

表 2.1 典型战术数据链对比

数据链类型	速率 (kbps)	抗干扰	覆盖范围	典型应用
Link 11	1.8–2.25	较弱	约 300 km	早期空海通信
Link 16	31.6–115.2	强	约 500 km	联合作战、火力协调
Link 22	2.4–275	强	超视距 (BLOS)	NATO 联盟协同

如图2.1 所示，战术数据链通过多平台互联形成统一网络，实现了态势共享和联合打击。

在北约和美军体系中，Link16 以其高速率、抗干扰和加密能力被广泛应用于空、海、地等平台 [45]。其典型应用包括态势感知、目标指示、火力协调和联合行动等方面。然而，随着多链并行与跨域作战需求的增加，传统链路逐渐暴露出互操作性不足和资源利用率低的问题。

Link 16 的技术优势主要体现在其采用的时分多址（TDMA）接入方式和跳频扩频技术。TDMA 技术通过时间片分配的方式，使得多个平台能够在同一频段上同时工作而不会相互干扰，这大大提高了频谱利用效率。跳频扩频技术则通过快速改变载波频率来对抗敌方的干扰和截获，增强了系统的抗干扰能力和安全性。此外，Link 16 还采用了先进的加密算法，如 KGV-8 加密机，确保传输信息的安全性。

在应用层面，Link 16 支持多种类型的 J 系列消息，包括 J2.0（初始入网）、J3.0（航迹管理）、J3.2（空中航迹）、J3.3（水面航迹）、J3.5（空中航迹扩展）、J7.0（任务管理）、J12.0（电子战）等。这些消息类型覆盖了现代作战的各个方面，从基本的航迹信息到复杂的任务协调，为多平台协同作战提供了完整的信息支撑。

然而，随着作战环境的复杂化和作战需求的多样化，Link 16 也面临着一些挑

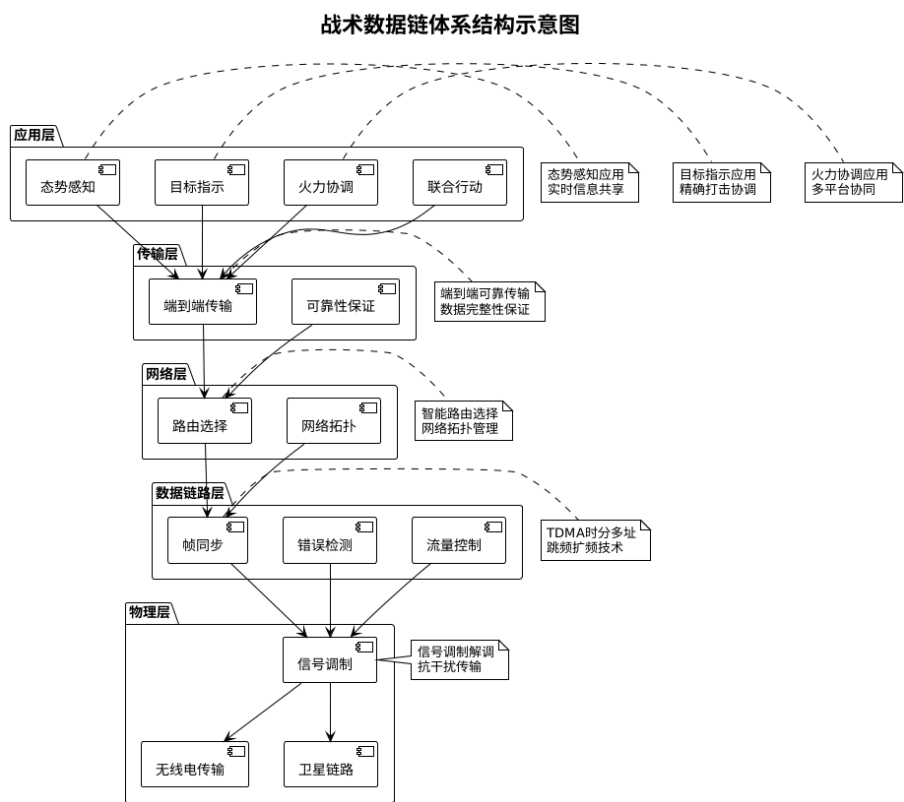


图 2.1 战术数据链体系结构示意图

战。首先是带宽限制问题，虽然 Link 16 的数据传输速率相比早期系统有了显著提升，但在处理大量高分辨率图像、视频等多媒体数据时仍显不足。其次是互操作性问题，不同国家和不同厂商的设备在实现 Link 16 标准时可能存在细微差异，这影响了系统的互操作性。最后是网络安全问题，随着网络攻击技术的不断发展，传统的加密和认证机制可能面临新的威胁。

为了解决这些问题，各国军方和工业界正在积极研发新一代战术数据链技术。这些新技术在保持 Link 16 核心优势的基础上，重点提升了带宽容量、增强了网络安全防护能力，并改善了与现有系统的兼容性。同时，人工智能、机器学习等新兴技术的引入，也为战术数据链的智能化发展提供了新的机遇。

2.2 MIL-STD-6016 标准框架与特点

MIL-STD-6016 作为 Link16 的核心标准，对 J 系列报文的格式、语义及应用场景做出了详细规定 [46, 47]。其主要特点包括：

- (1) 统一的 J 系列消息目录，覆盖作战控制、目标指示与火力支援等功能；
- (2) 采用时分多址（TDMA）机制，保证在高密度网络中的有序通信；
- (3) 抗干扰能力强，结合跳频扩频和加密算法，提升系统的安全性和鲁棒性；
- (4) 具备扩展性，可通过 JREAP 协议实现超视距（BLOS）传输，并与 TTNT 等新型战术网络互操作。

此外,MIL-STD-6020 明确了跨数据链数据转发与映射的规则;NATO 的 STANAG 5602 及其配套 SIMPLE 规范为异构链路互连提供了标准化接口；而 SISO 标准给出了 Link16 仿真的数据模型与交互定义 [48]。这些标准共同构成了战术数据链互操作的规范框架。

MIL-STD-6016 标准的制定过程体现了美军在战术数据链标准化方面的长期努力。该标准不仅详细规定了 J 系列消息的格式和语义，还建立了完整的消息处理流程和错误处理机制。标准中的每个消息类型都有明确的定义，包括消息结构、字段含义、取值范围、处理规则等，这为不同厂商的设备实现提供了统一的规范。

图2.2展示了 MIL-STD-6016 标准中 J 系列消息的完整结构体系，清晰呈现了消息的分类和组织方式。该图按照功能将 J 系列消息分为六大类：作战控制类（J0-J9）、电子战类（J10-J19）、情报类（J20-J29）和武器协调类（J30-J39），每类消息都有其特定的应用场景和功能定位，体现了标准设计的系统性和完整性。

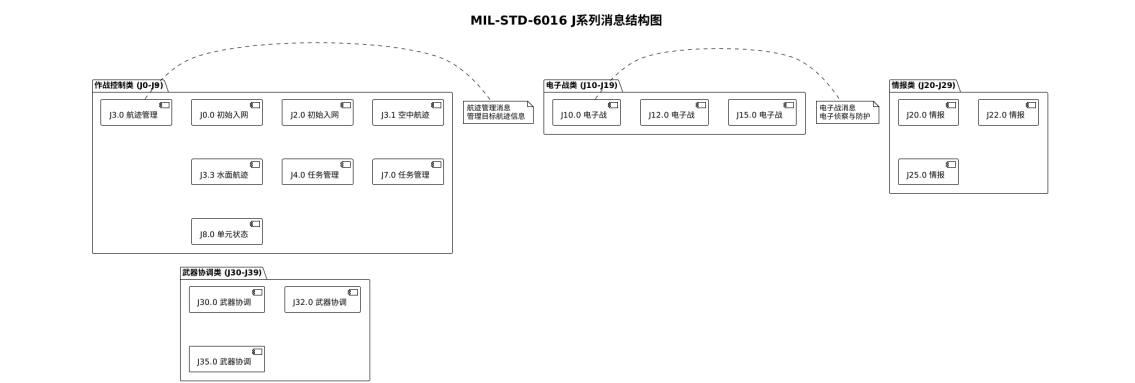


图 2.2 MIL-STD-6016 J 系列消息结构图

在消息格式方面，MIL-STD-6016 采用了固定长度和可变长度相结合的设计。固定长度消息具有处理简单、传输效率高的优点，适用于对实时性要求较高的应用场景。可变长度消息则能够适应不同复杂度的信息传输需求，提高了系统的灵活

性。这种设计使得 Link 16 能够同时支持简单的状态报告和复杂的任务协调信息。

标准还特别关注了消息的语义一致性问题。由于战术数据链涉及多个军种和多个国家的平台，确保消息语义的一致性对于实现真正的互操作至关重要。MIL-STD-6016 通过建立详细的数据字典和语义规范，为不同平台之间的信息交换提供了统一的理解基础。

随着技术的不断发展，MIL-STD-6016 标准也在持续更新和完善。新版本的标准不仅增加了新的消息类型，还改进了现有的消息格式，以适应新的作战需求和技术发展。同时，标准还加强了对网络安全和抗干扰能力的要求，体现了现代战争对通信系统安全性的重视。

在标准实施方面，各国军方和工业界都投入了大量资源来确保设备的标准化和互操作性。这包括建立标准化的测试流程、认证机制和兼容性验证程序。通过这些措施，MIL-STD-6016 标准得以在全球范围内得到有效实施，为多国联合作战提供了重要的技术支撑。

表2.2对比分析了 MIL-STD-6016 与其他相关标准的特点、应用范围和互操作性能力。从表中可以看出，MIL-STD-6016 作为 Link16 的核心标准，在消息格式、传输机制和互操作性方面都具有显著优势，为战术数据链的标准化和互操作提供了重要的技术基础。

表 2.2 MIL-STD-6016 相关标准对比分析表

标准名称	主要功能	应用范围	互操作性	技术特点
MIL-STD-6016	J 系列消息格式定义	Link16 战术数据链	强	TDMA、跳频扩频、加密
	消息语义规范	联合作战平台		固定/可变长度消息
	处理流程标准	多军种协同		实时性、可靠性
MIL-STD-6020	跨数据链转发	多链路互连	中等	数据映射、格式转换
	数据映射规则	异构系统集成		协议适配、路由选择
	互操作接口	联盟作战		标准化接口
STANAG 5602	NATO 互操作标准	NATO 成员国	强	统一数据格式
	SIMPLE 规范	联盟协同作战		标准化接口
	异构链路互连	多国联合作战		兼容性保证
SISO 标准	仿真数据模型	Link16 仿真系统	中等	仿真接口标准
	交互定义	训练与测试		数据模型规范
	仿真互操作	系统验证		标准化仿真

2.3 微服务架构

微服务架构 (Microservice Architecture, MSA) 作为软件工程领域的重要演进方向, 其理论基础可追溯至 2010 年前后。最早由 James Lewis 与 Martin Fowler 在 2014 年系统阐述, 他们认为微服务是一种以业务能力为核心的分布式架构模式, 强调服务自治、松耦合与独立部署。与传统单体应用相比, 微服务能够在快速迭代与持续交付中保持模块独立性, 从而显著提升系统的灵活性与可维护性。自 2015 年被称为“微服务元年”以来, Netflix、Amazon、Google 等企业率先在大规模分布式系统中采用微服务架构, 通过构建服务注册中心、API 网关与容错机制, 实现了服务治理、动态伸缩与高可用部署, 推动了这一理念从企业实践走向学术研究的深入阶段。

进入 2018-2020 年, 国外学术界开始聚焦于微服务的系统化研究与性能分析。Waseem 等人基于 106 份工业问卷与多项访谈, 系统总结了微服务系统的设计、监控与测试现状。他们指出领域驱动设计 (DDD) 与基于业务能力的服务划分已成为主流方法, API 网关与 Backend-for-Frontend 架构被广泛采用, 而监控层面则以资源利用率、负载均衡与日志聚合为核心指标。研究还发现, 跨服务通信复杂性、边界划分模糊与自动化测试不足是微服务工程中的主要难题 [19]。这一时期的研究为微服务架构的质量属性、监控机制和测试框架提供了经验基础。

伴随分布式数据系统与云原生技术的发展, 数据管理成为微服务研究的重要方向。Laigner 等人在《Data Management in Microservices》中系统梳理了 30 多个工业案例与学术成果, 指出“每服务独立数据库”(Database per Service) 模式虽有助于解耦, 但也带来了跨服务事务与数据一致性难题。他们提出在异构数据库环境下, 应综合采用 Saga 模式、事件驱动与最终一致性策略以平衡性能与可靠性 [20]。后续研究进一步提出面向微服务的基准测试体系, 如《Benchmarking Data Management Systems for Microservices》与《Online Marketplace》两篇工作, 从事务处理、事件一致性与数据复制角度评估数据管理系统性能, 为微服务数据库化演进提供了实验标准 [21, 22]。与此同时, Giamattei 等人开展了针对 71 种微服务监控工具的系统性灰文献回顾, 总结出资源监控、日志追踪与可观测性平台的实践经验, 揭示出

当前工具生态存在指标标准不统一与跨层数据整合不足的问题 [49]。

在安全与治理层面，微服务系统的复杂性引发了访问控制与认证机制的研究热潮。多项工作强调微服务的“零信任”架构思想，通过轻量级认证（OAuth2.0、JWT）与服务网格（Service Mesh）实现安全通信、流量隔离与细粒度权限控制。这些研究为后续的 DevSecOps 与自动化安全管控提供了理论与技术支持。国外学术界还开始关注微服务架构的智能演化与自适应机制，通过人工智能与机器学习方法实现服务部署优化、容器调度与异常检测的自动化，从而推动微服务从静态架构走向动态自组织系统。

在国内，微服务的理论与实践探索大约始于 2010 年前后。2007 年阿里巴巴集团在淘宝平台中引入分布式服务框架，为我国微服务化奠定了技术基础。此后，Dubbo、Spring Cloud Alibaba、ServiceComb 等国产开源框架相继出现，极大推动了微服务在企业级系统中的普及。进入 2020 年以后，国内学术界与军工科研机构开始关注微服务在复杂信息系统中的应用，探索将其引入战术通信与指挥控制平台。研究内容主要集中在服务拆分原则、容器化部署、服务编排与跨节点一致性控制等方面。一些研究单位已在态势信息处理与仿真平台中部署微服务集群，实现任务模块的自治运行与动态伸缩。总体而言，我国的研究重心正在从框架复用与工程应用向体系设计与性能验证转变，逐步形成适配于军事通信系统特性的微服务体系结构。

图2.3展示了微服务架构的发展时间线，清晰呈现了从理论基础阶段到智能化发展阶段的完整演进过程。该图从时间维度展示了国外研究从 2010-2014 年的概念提出和理论建立，到 2015-2017 年的企业实践和云原生发展，再到 2018-2020 年的系统化研究和 2021 年至今的智能化发展，以及国内从 2007 年的技术基础到 2020 年的应用探索的发展路径，体现了微服务技术的成熟度和应用深度。

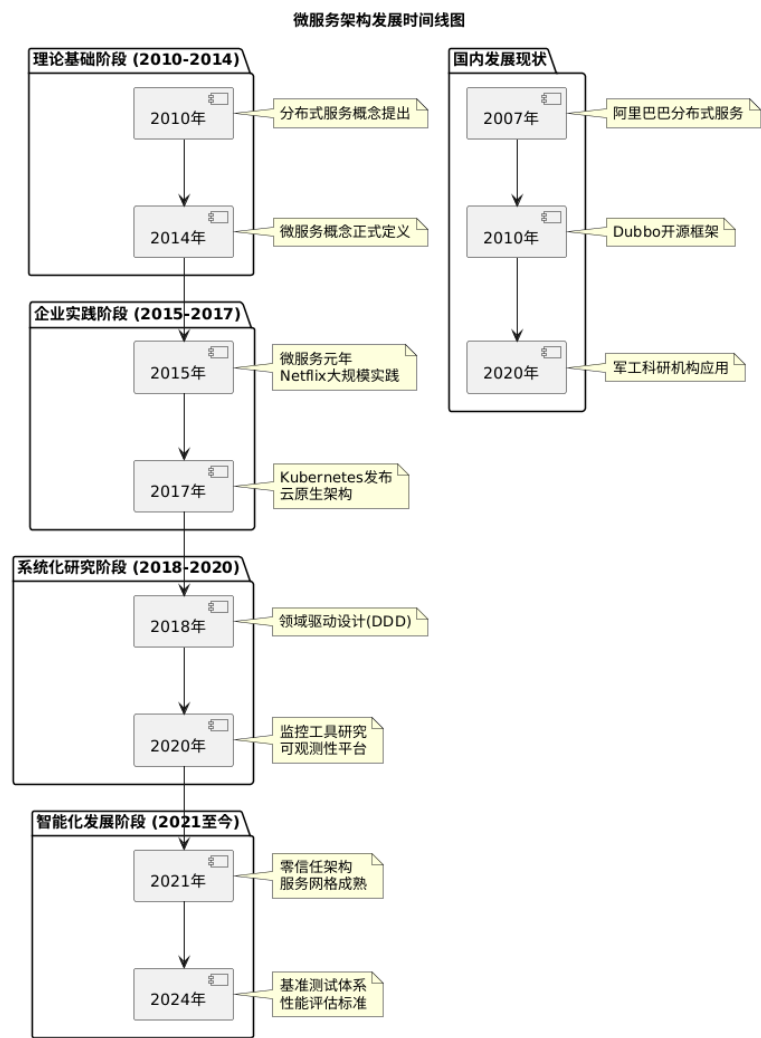


图 2.3 微服务架构发展时间线图

2.4 语义互操作

语义互操作（Semantic Interoperability）是异构系统在数据交换过程中实现“语义层理解一致”的关键能力，其核心目标是让信息在不同系统、组织或领域间传输时，不仅保持结构一致，还能被准确解释和复用。该概念最早起源于语义网与本体论研究，通过形式化语义模型描述数据背后的概念及其关系，为复杂系统间的理解一致提供理论基础。随着信息系统复杂性与数据异构性的增加，语义互操作逐渐成为人工智能、云计算、医疗健康、工业物联网等领域的核心研究方向。

在国际研究领域，早期的语义互操作工作侧重于标准体系的构建与模型分层。

SISO、NATO 及 ISO 等机构提出的多层互操作模型，将信息交互划分为语法层、语义层与语用层 [24, 25]，为后续研究提供了统一框架。进入 2010 年代后，学者们开始关注本体（Ontology）在语义互操作中的作用。Mishra 与 Jain 提出了“语义知识宝库”（Semantic Knowledge Treasure）概念，利用 OWL 与 SPARQL 实现异构资源的统一语义表示与查询 [26]。此类研究的出现标志着语义互操作从概念层标准化向知识层融合迈进。

近年来，随着知识图谱、人工智能与自动推理技术的发展，语义互操作研究呈现出智能化与自动化的趋势。Bernasconi 等人提出“本体解包”（Ontological Unpacking）方法，对现有概念模型进行本体层剖析，以揭示模型隐含的语义结构并提升模型互操作性 [27]。Guizzardi 与 Guarino 则在《Semantics, Ontology and Explanation》中探讨了语义互操作的解释性问题，强调应通过语义透明性与本体承诺（Ontological Commitment）提升系统间的可理解性与信任性 [28]。此外，机器学习与规则引擎结合的语义映射算法被用于自动发现概念对应关系，实现跨领域知识的语义对齐与复用。

随着云计算和分布式系统的普及，语义互操作的研究进一步扩展到跨平台与多云环境。Hamdan 与 Admodisastro 提出一种基于本体的多云语义互操作参考架构，在架构中引入语义中枢（Semantic Hub）用于协调不同云平台的语义模型，从而实现服务间的语义一致访问 [29, 50]。他们指出，在异构云环境中保持语义一致性需要在架构层、数据层与治理层之间建立协同机制。此外，语义互操作正与数据治理、知识集成、可解释人工智能等研究方向深度融合，为跨系统协同提供基础设施支持。

国内学术界在语义互操作领域的研究起步于 2000 年代的语义网工程，近年来伴随知识图谱与人工智能的快速发展而加速推进。研究方向包括语义本体构建、跨领域语义映射、语义检索与语义推理系统设计等。学者们提出基于知识图谱的语义关系建模框架，通过实体对齐与语义索引提升异构数据的可融合性；同时，在智慧城市、医疗、交通和工业互联网等场景中，语义互操作被用于实现多源数据的协同管理与智能决策。当前研究逐渐从“语义建模”走向“语义计算”，关注语义理解、自动推理与动态本体演化的结合，以满足实时、可解释的智能系统需求。

图2.4展示了语义互操作的架构层次，清晰呈现了从物理层到语用层的四层架构模式。该图详细展示了语义互操作系统的层次结构：物理层负责传输协议和网络连接，语法层处理数据格式和消息结构，语义层通过本体模型和概念映射实现语义一致性，语用层关注业务规则和上下文理解，以及互操作机制中的语义中枢、映射引擎、转换器和验证器，体现了语义互操作技术的理论深度和系统完整性。

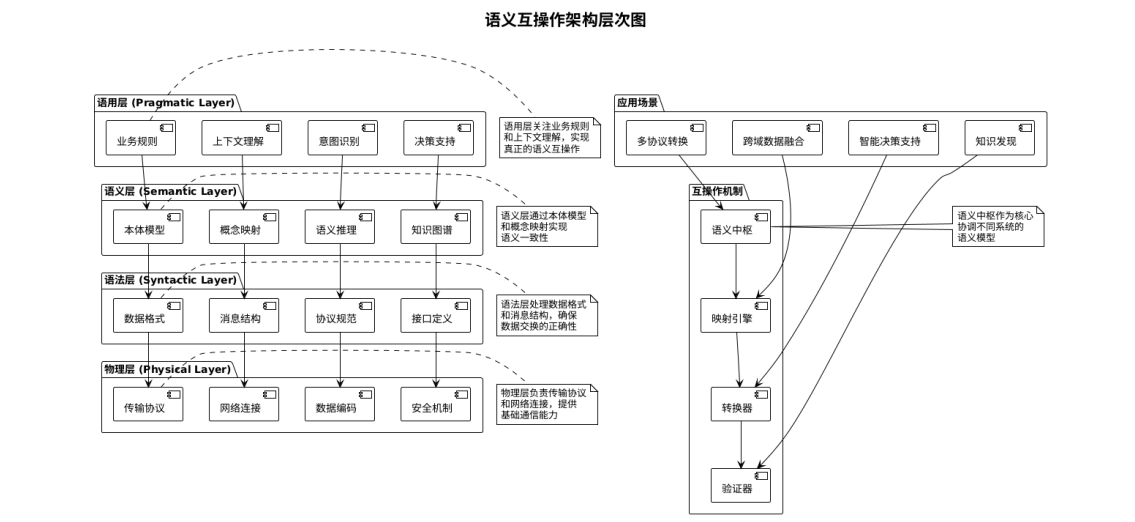


图 2.4 语义互操作架构层次图

2.5 自动化处理

自动化处理技术在复杂信息系统建设中具有基础性作用，其核心目标是将非结构化或半结构化文档（如 PDF、Word、XML、JSON 等）自动解析、识别并导入数据库或知识系统，以实现高效、准确的信息获取与建模。该方向的研究经历了从基于规则的文档解析到机器学习与深度学习驱动的智能化管理的演变过程，近年来在自然语言处理、文档智能（Document Intelligence）与多模态学习的推动下取得了显著进展。

早期的自动化文档处理研究以版面分析（Layout Analysis）和文本块识别为主要方法。典型工作包括基于光学字符识别（OCR）的文本抽取、表格检测与区域定位算法。这一阶段的研究主要依赖启发式规则与图像分割算法，如 PDFMiner、Apache Tika 等工具框架，通过对文本流与版面结构的分析实现基本的内容解析。然而，这些方法难以处理复杂文档中的语义结构与跨页逻辑关系。

随着深度学习和自然语言处理技术的成熟，研究重心逐步转向基于神经网络的文档理解与语义建模。2020 年以来，Google、Microsoft、Adobe 等机构相继提出了视觉语言融合模型（Vision-Language Models）用于文档解析。例如，Xu 等提出的 LayoutLM 系列模型 [31, 51]，通过联合建模文本、位置与视觉信息，实现了对文档结构与语义的深层理解，广泛应用于表格识别、关键信息抽取与文档分类任务。相关研究表明，基于 Transformer 的多模态模型在 PDF 结构分析中的表现显著优于传统方法，为复杂格式文档的自动解析提供了通用方案。

在信息抽取与结构化导入方向，学者们提出了多种智能抽取与标准映射框架。Li 等在《DocParser: Document Parsing and Structured Data Import》[52] 中提出一种结合文本分块、实体识别与模板匹配的自动导入机制，实现 PDF 与 XML 文档的语义级结构化导入。与此同时，研究者将知识图谱构建与自动文档处理相结合，通过实体识别、关系抽取与语义对齐实现从原始文档到知识图谱的自动生成，为数据标准化与语义互操作奠定了基础。此类方法已在专利文档、医学报告与技术标准文件的自动建模中得到验证。

近年来，自动化处理逐渐向自监督学习与跨模态理解方向发展。模型不再依赖人工标注，而是通过大规模文档预训练实现通用特征学习。例如，Powalski 等提出的 DocFormer 模型 [53]，采用文本与视觉双流 Transformer 结构，在文档分类与表格提取任务上达到了最优性能。进一步的研究探索将大型语言模型（LLM）与文档理解相结合，实现跨模态语义推理与任务自适应能力 [35]，标志着文档自动化处理进入“语义理解驱动”的新阶段。

国内对自动化文档处理的研究主要集中在结构化识别与智能导入系统的工程化实现方面。科研院所与企业围绕 PDF 解析、表格抽取、字段标注与标准化导入等问题展开研究，开发了基于深度学习的 OCR 引擎与语义分层系统。例如，百度文心、阿里达摩院与华为诺亚方舟实验室均提出了面向企业文档与技术标准的多模态解析方案，部分系统已在电子政务、科研档案与装备资料管理中得到应用。尽管如此，当前国内研究仍存在跨格式迁移能力弱、语义抽象层次有限、自动验证与错误纠正机制不足等问题，尚需在知识表示、语义约束与可解释性方面进行深入研究。

图2.5展示了文档自动化处理技术的演进历程，清晰呈现了从规则驱动阶段到智能化阶段的完整发展脉络。该图从技术发展角度展示了文档处理技术的四个发展阶段：2000-2010 年的规则驱动阶段主要依赖启发式算法，2010-2020 年的机器学习阶段引入视觉语言融合模型，2020-2023 年的深度学习阶段采用 Transformer 架构，2023 年至今的智能化阶段实现多模态融合和自适应机制，以及在电子政务、科研档案、装备资料、技术标准等领域的应用，体现了文档自动化处理技术的成熟度和应用广度。

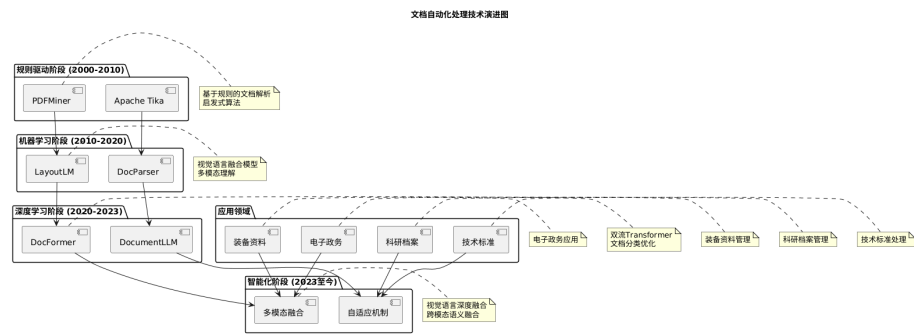


图 2.5 文档自动化处理技术演进图

第三章 系统需求分析

本章主要围绕基于 MIL-STD-6016 的战术数据链信息标准数据库及其应用平台,分析系统的整体需求,明确功能性与非功能性要求,以便为后续系统设计与实现提供依据。

战术数据链作为现代联合作战的核心通信手段,其信息标准数据库的建设对于提升作战效能、增强系统互操作性具有重要意义。随着网络中心战概念的深入发展和多域作战需求的不断增长,传统的战术数据链系统面临着数据管理复杂、标准版本多样、跨链路互操作困难等挑战。因此,构建一个统一、高效、可扩展的战术数据链信息标准数据库系统,已成为当前军事信息化建设的重要任务。

本章将从系统需求分析的角度,全面阐述基于 MIL-STD-6016 标准的战术数据链信息标准数据库系统的功能需求、非功能性需求、数据特征与处理需求以及用户角色与交互需求。通过对这些需求的深入分析,为后续的系统架构设计、数据库建模、前后端开发以及系统集成测试提供明确的技术指导和约束条件。

3.1 功能需求

根据前期调研和标准分析,结合实际应用场景,系统需要实现以下核心功能:

3.1.1 数据特征与处理需求

战术数据链消息具有与传统业务数据不同的特性,其处理需求也更为复杂。为保证数据库的适用性与系统的实用性,需从数据来源、结构特征、处理方式与存储管理等角度加以分析 [54]。

系统数据主要来源于 MIL-STD-6016、MIL-STD-3011、STANAG-5516 等标准文档,并结合 MAVLink、NMEA-0183、ARINC-429 等协议数据。数据类型主要包括:

- (1) 标准消息数据: J 系列报文 (J2.0、J3.0、J7.0、J12.0 等) 及其字段定义;
- (2) 语义概念数据: 基于 CDM 四层法的概念库和字段映射关系;

（3）多格式文档数据：PDF、XML、JSON、CSV 等格式的标准文档和配置文件；

（4）跨协议转换数据：不同协议间的消息转换和映射规则。

表3.1详细展示了战术数据链数据特征与处理需求的对应关系，该表从数据类型、结构特点、处理需求和存储实体四个维度进行了系统性的分析。

表 3.1 战术数据链数据特征与处理需求概览

数据类型	结构特点	处理需求	存储实体
标准消息数据	多字段/比特位	报文解析、完整性校验	消息表、字段表
语义概念数据	概念层次/同义映射	概念绑定、语义一致性	概念表、绑定表
多格式文档数据	格式多样/结构复杂	多格式解析、智能识别	文档表、解析结果表
跨协议转换数据	格式差异/协议适配	格式转换、协议映射	映射表、转换规则表

3.1.2 标准消息管理

战术数据链信息标准数据库系统需要支持多种消息标准的统一管理 [40]。根据实际应用需求分析，系统应具备以下核心能力：

（1）多标准消息支持：系统需要同时支持 MIL-STD-6016 的 J 系列消息（J2.0、J3.0、J7.0、J12.0 等）、MAVLink 的飞行器通信消息（HEARTBEAT、ATTITUDE、POSITION 等）、NMEA-0183 的导航消息（GGA、RMC、VTG 等）等多种标准。每种消息标准都有其特定的格式、语义和应用场景，系统需要能够完整地存储和管理这些消息的定义信息，包括消息的基本属性、消息结构以及消息的语义信息。

下表3.2详细列出了系统需要支持的主要标准和协议。

表 3.2 系统支持的标准和协议

标准名称	描述	版本	主要消息类型
MIL-STD-6016	美军标准 6016 - 战术数据链消息标准	A, B, C	J2.0, J3.0, J7.0, J12.0, J13.0
MIL-STD-3011	美军标准 3011 - 联合战术信息分发系统	A, B	J2.0, J2.2, J3.0, J3.1, J3.3
STANAG-5516	北约标准 5516 - 战术数据交换	1, 2, 3	J2.0, J3.0, J7.0, J12.0
MAVLink	微型飞行器通信协议	1.0, 2.0	HEARTBEAT, ATTITUDE, POSITION, GPS_RAW_INT
NMEA-0183	海洋电子设备数据格式	2.0, 2.1, 2.2, 2.3	GGA, RMC, VTG, GLL, GSA
ARINC-429	航空电子设备数字信息传输	15, 16, 17	A429, A629

（2）消息录入与维护：考虑到标准文档的复杂性和多样性，系统需要支持多种数据录入方式。传统的逐条录入方式效率低下，无法满足大规模标准文档的处理

需求。系统需要提供基于 PDF 文档的自动解析功能，能够从标准文档中自动提取消息定义信息，并支持 CSV、Excel、XML、JSON 等多种格式的批量导入和单个录入两种方式。

(3) 消息字段管理：J 系列消息的字段结构复杂，包含字段名称、起始位置、结束位置、位长度、描述信息等多个属性。系统需要能够处理这种复杂的字段结构，并建立字段与消息之间的关联关系。同时，系统需要支持字段的层次化组织，如字段组、子字段等，以便于更好地管理和理解消息结构。

3.1.3 字段与语义概念绑定

为提升消息语义一致性，系统需要支持字段与语义概念的绑定 [58]。根据实际应用需求分析，系统应具备以下核心能力：

(1) 语义概念库构建：需建立统一的语义概念库，包含战术数据链领域中的核心概念，如平台标识、位置信息、时间信息、任务状态等。每个语义概念都应具有明确的定义、属性描述和使用规则，支持概念的层次化组织和继承关系。

(2) 字段绑定机制：系统需要支持自动绑定和手动绑定两种方式。自动绑定基于字段名称、数据类型、取值范围等特征进行匹配，能够快速建立初步的绑定关系。手动绑定允许专家用户根据领域知识进行精确的绑定操作，确保绑定的准确性和完整性。

(3) 置信度管理：在功能上需要为每个字段-概念绑定关系分配置信度值，反映绑定的可靠程度。置信度可以通过字段名称相似度、数据类型匹配度、专家验证结果等因素计算，并提供置信度阈值设置功能，允许用户根据应用需求调整绑定标准。

(4) 动态绑定更新：考虑到战术数据链标准的不断演进，应支持语义绑定的动态更新，当标准版本更新或新增消息类型时，能够自动检测需要重新绑定的字段，并提供批量更新功能。

3.1.4 多链路互操作支持

考虑到战术数据链存在多标准并行的情况，系统需要具备跨链路的互操作支持功能 [59]。根据实际应用需求分析，系统应具备以下核心能力：

(1) CDM 四层法架构：系统需采用 CDM (Common Data Model) 四层法架构实现多协议互操作。概念层定义统一的语义概念库，包含作战实体、态势要素、指挥关系等核心概念；映射层通过声明式规则定义协议间的字段映射关系；转换层实现具体的消息转换逻辑；运行层提供协议中介和转换引擎。系统支持 MIL-STD-6016、MAVLink、MQTT、NMEA-0183 等协议的互操作转换，这种分层架构确保系统的可扩展性和可维护性。

图3.1展示了 CDM 四层法架构，包括语义层（统一概念库）、映射层（YAML 配置规则）、校验层（一致性验证）和运行层（转换引擎），展现了多协议间的语义互操作和实时转换。

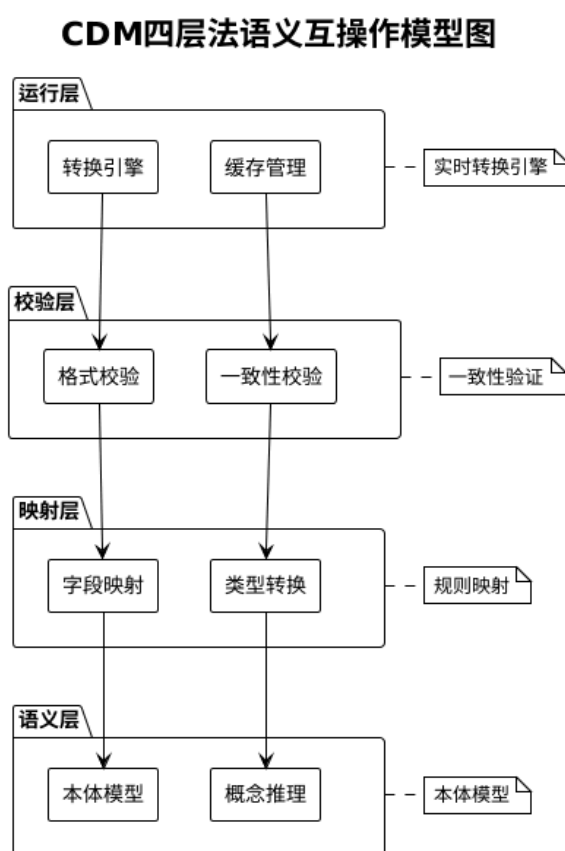


图 3.1 CDM 四层法架构图

（2）智能消息转换引擎：应实现基于规则和机器学习的智能转换引擎，能够自动处理协议间的语法差异、语义差异和时序差异。转换引擎需要支持多种转换策略，包括精确匹配、模糊匹配、语义推理等，并提供转换质量评估和置信度评分机制。

（3）统一 API 网关：需提供统一的 API 网关，支持多种协议的消息转换和路由。网关需要集成 CDM 四层法和语义互操作两种处理方式，能够根据源协议和目标协议自动选择最优的转换策略。下表3.3列出了系统提供的 5 个主要 API 接口及其功能，通过 RESTful 架构设计为前端界面和外部系统提供标准化数据交换接口。

表 3.3 系统 API 接口功能表

API 接口	主要功能	支持格式	应用场景
/api/v2	消息转换、概念管理、映射管理、系统统计	JSON, XML	统一文档处理与语义互操作
/api/cdm	CDM 概念创建、映射规则管理、消息转换	JSON, YAML	CDM 四层法互操作处理
/api/semantic	语义字段管理、消息映射、路由处理	JSON, XML	语义互操作系统
/api/pdf	PDF 文档解析、表格提取、数据处理	PDF, JSON	MIL-STD-6016 文档处理
/api/mqtt	MQTT 消息处理、协议转换、数据路由	JSON, MQTT	MQTT 协议消息处理

（4）协议适配支持：功能设计上应支持 MIL-STD-6016、MAVLink、MQTT、NMEA-0183、ARINC-429 等多种协议的消息对接，能够处理不同协议间的消息格式差异、语义差异和时序差异。通过声明式映射规则和版本治理机制，系统需要能够灵活应对协议演进和标准更新。

3.1.5 前端交互与可视化

基于前述数据库操作与维护的需求，战术数据链信息标准数据库系统面向的用户群体包括系统管理员、作战指挥员、研发人员等，这些用户具有不同的技术背景和使用需求，因此前端系统应具备以下核心能力：

（1）统一用户界面：需提供统一文档处理与语义互操作平台，包含消息处理、文件处理、概念管理、映射管理、系统概览等核心功能模块，支持用户通过消息号、字段名、J 系列类别、时间范围等多种条件进行精确查询，并支持查询条件的保存和重用，允许用户创建常用的查询模板。

（2）数据展示与搜索：应支持多种数据展示方式，包括表格、图表、关系图等，其中表格展示需支持排序、筛选、分页等功能，并提供数据导出能力，图表展示应

支持多种图表类型，如柱状图、饼图、折线图等，帮助用户直观地理解数据分布和趋势。同时，系统还应提供智能搜索功能，支持模糊匹配和语义搜索，帮助用户快速定位所需信息。

(3) 交互式操作：为确保良好的用户体验和系统可用性，需支持交互式操作和响应式设计。系统应支持拖拽、点击、缩放等交互操作，允许用户通过直观的手势操作来浏览和操作数据，并提供上下文菜单、快捷键等便捷操作方式，提高用户的操作效率。

系统需针对不同用户提供差异化的交互模式 [62]:

(1) 图形化交互：前端界面提供消息检索、态势展示和跨链协议映射的可视化操作，支持 CDM 互操作接口、语义互操作接口和统一处理器接口，降低使用门槛，如图3.2所示。

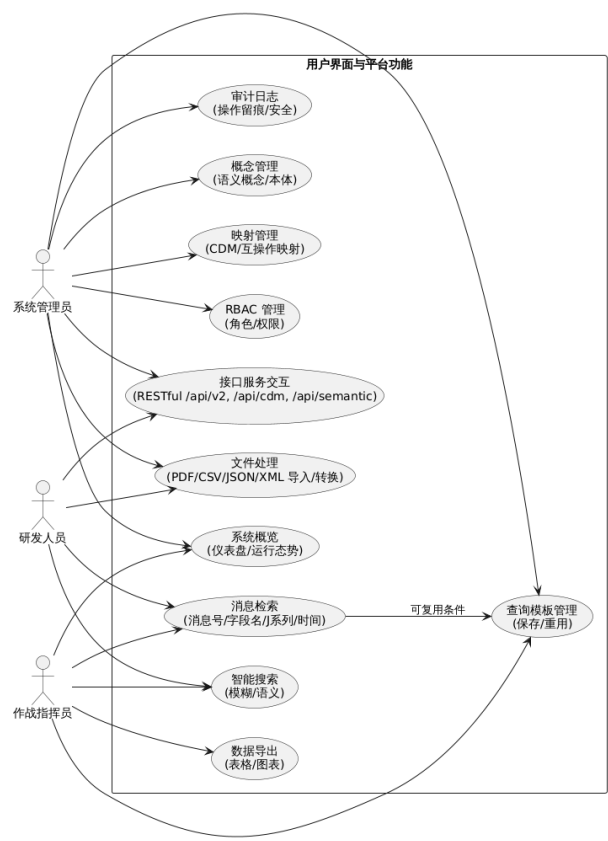


图 3.2 前端交互用例图（角色与功能关系）

(2) 命令行接口：为研发与仿真人员提供批处理与脚本化调用，支持大规模数

据处理与自动化测试。

(3) 接口服务交互：通过 RESTful API 与外部仿真平台或作战系统对接，支持标准化协议调用和跨域互操作，提供/api/v2、/api/cdm、/api/semantic 等统一 API 接口，如图3.3 所示。

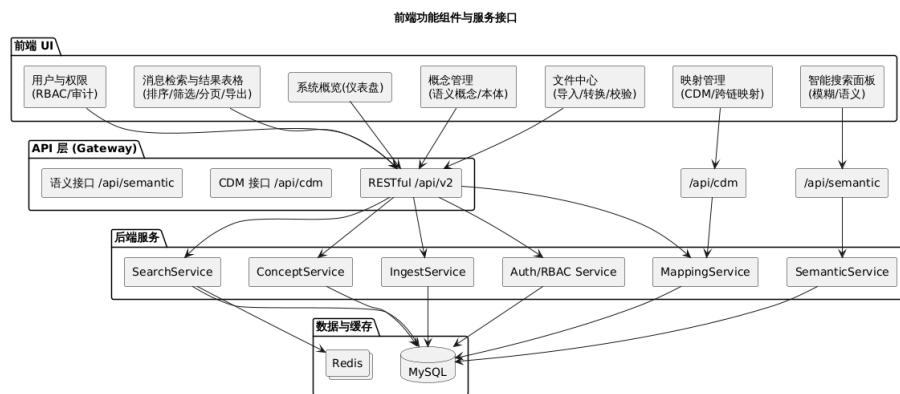


图 3.3 前端功能组件与服务接口关系图

3.1.6 仿真与验证接口

战术数据链系统的验证与测试依赖于高质量的仿真数据支撑，而仿真平台的有效运行则需要准确的消息定义和格式规范作为基础。基于这一需求，系统必须构建完善的仿真与验证接口体系。

而在面向接口设计时，系统应采用标准化的 RESTful API 架构，为仿真平台提供数据查询、消息生成、结果验证等核心功能。接口实现严格遵循 REST 架构原则，采用标准 HTTP 方法和状态码，确保接口的易用性和可维护性。同时，系统支持多种标准化消息输出格式（JSON、XML、YAML），满足不同仿真平台的格式需求。消息格式包含完整的定义信息，涵盖消息结构、字段定义、语义信息等关键要素，保障仿真平台对消息数据的准确理解和处理。

3.2 系统非功能性需求分析

战术数据链数据库及应用平台作为支撑作战指挥的关键信息系统，除了满足功能性需求外，还必须具备良好的非功能性特征，包括性能、安全性、可扩展性等方面的要求，以确保系统在复杂作战环境下的稳定运行和长期发展 [64]。

3.2.1 性能需求

基于战术数据链系统的实时性特征和作战指挥的时效性要求，系统性能需求分析应从响应时间、数据吞吐量和系统可靠性三个维度进行考量 [65, 66, 67]。响应时间需求分析表明，多用户并发访问场景和实时态势更新的业务需求对系统响应性能提出了严格要求。通过分析战术数据链消息解析与字段检索的快速响应要求，可以确定普通查询请求的平均响应时间应控制在 2 秒以内，这一指标直接影响作战指挥的决策效率。为满足上述性能要求，系统需要实现缓存机制，包括 Redis 缓存和查询结果缓存，对于频繁访问的消息类型和字段定义实现预加载策略，同时建立数据库索引支持多条件组合查询的快速执行。

而对于数据吞吐量的需求，则决定了系统需要处理大规模批量数据导入导出操作，以支撑标准文档的批量处理和系统初始化需求。通过分析仿真测试场景的数据处理需求，可以确定仿直接口应具备持续处理高并发消息流的能力，实现消息的实时生成与回放功能，满足大规模仿真测试的数据处理需求 [68, 69, 70, 71]。系统可靠性需求分析表明，战术环境的复杂性和不确定性对系统容错能力和数据完整性保障提出了严格要求。通过分析数据安全性和一致性要求，可以确定数据库应具备备份与日志恢复能力，确保数据在异常情况下的安全性。同时，消息存储与语义绑定过程的事务一致性约束需求进一步强化了对系统可靠性的要求，以避免数据不一致问题 [72, 73]。

3.2.2 安全性需求

战术数据链系统涉及敏感作战信息，安全性需求至关重要。系统必须在数据存储、传输与访问控制等方面提供基本的安全保障，以确保信息不被篡改、泄露或非法利用 [74]。系统应在数据存储和传输过程中采用加密技术，数据库层面应对核心字段进行加密存储，系统接口需采用基于 TLS/SSL 的安全传输协议，防止中间人攻击，消息交互采用密钥管理机制，定期更新密钥，防止密钥泄露 [75]。

为防止非法访问与误操作，需要建立访问控制机制，提供基于角色的访问控制 (RBAC)，不同用户角色具备不同权限范围，对数据库的读写操作需进行身份认证与授权，提供日志审计功能，记录用户操作轨迹，便于事后追溯 [76]。系统应提供

数据校验与完整性验证机制（如哈希校验），在通信中断或错误发生时，系统可通过重传机制与数据恢复策略保证一致性 [77, 78, 79, 80, 81, 82, 83, 84]。

3.2.3 可扩展性需求

基于战术数据链标准的不断更新与作战样式的演进趋势，系统可扩展性需求分析应从标准适配、协议融合和架构扩展三个层面进行考量 [85]。标准适配需求分析表明，系统需要具备对不同版本 Link 16 标准以及相关 NATO STANAG 扩展的适配能力。通过分析 MIL-STD-6020 和 STANAG 5602 等互操作标准的演进过程，可以确定系统应能够快速接入新接口与协议，数据库设计应采用模块化和可扩展的模式，支持新增消息类型、字段及语义映射，确保系统能够适应标准版本的持续更新 [86, 87]。

而根据对协议融合的需求分析，在多链路并行和跨域作战背景下，系统需要支持不同数据链协议的融合能力。通过分析 TTNT、JREAP 等新型数据链的发展趋势，可以确定系统架构应预留扩展接口，提供协议适配层，保证不同链路间的数据结构映射与消息语义转换 [88, 89]。架构扩展需求分析表明，为支撑未来规模化应用和复杂环境下的运行，系统整体架构需具备扩展能力。通过分析微服务架构和模块化设计的优势，可以确定后端应采用微服务架构支持按需部署，前端应支持模块化扩展，便于快速集成新型可视化与交互模块，数据库采用可扩展架构，支持数据分片与多节点扩展 [90]。同时，系统应提供标准化接口，以支持与外部系统的互联互通，采用 RESTful API 协议，方便外部仿真平台、指挥信息系统接入，提供标准化数据交换格式（如 JSON、XML），便于与异构系统交互，具备开放 API 文档与开发者支持，方便后续功能拓展与二次开发 [91]。

第四章 微服务架构与跨数据链协议互操作系统设计

本章基于 MIL-STD-6016 战术数据链信息标准，设计并实现微服务架构的跨协议互操作系统。系统架构采用四层分层设计，通过微服务模块化实现多标准信息模型的自动导入、语义对齐与协议转换。本章依次阐述系统总体架构、微服务实现、数据模型设计、跨协议互操作架构以及自动化导入系统。

4.1 系统总体架构设计

4.1.1 设计目标与总体思路

系统以 MIL-STD-6016 战术数据链信息标准为核心，采用微服务架构构建跨协议互操作平台。设计目标包括：多源标准语义互操作、模块化弹性部署、自动化数据处理。

多源标准语义互操作要求系统支持 MIL-STD-6016、STANAG 5516、MIL-STD-6020、MQTT、MAVLink 等协议的语义对齐。通过统一语义模型和概念映射机制，实现跨标准数据的准确转换，保障不同协议间的语义一致性。

模块化弹性部署通过微服务架构将复杂系统拆分为独立服务模块。每个服务专注特定业务功能，支持独立开发、测试、部署和扩展，提高系统的可维护性、可扩展性和容错能力。

自动化数据处理实现标准化文档的自动识别、结构化提取和协议转换。系统减少人工干预，提高数据处理效率和准确性，支持战术数据链信息处理的自动化。

4.1.2 微服务架构理念与原则

系统采用“高内聚、低耦合、自治服务”的设计理念，遵循四个核心原则：服务拆分、服务治理、数据管理、通信机制。

服务拆分按业务域划分，确保每个微服务具有单一职责和独立演化能力。微服务专注特定业务功能，具有清晰边界，通过标准化 API 接口通信，避免紧耦合依赖。

服务治理包含注册发现、配置中心、监控与熔断机制。服务注册中心实现自动发现和负载均衡，配置中心支持统一管理和动态更新，监控系统提供健康状态监控和性能分析。

数据管理采用数据库分离与分布式事务一致性保障。每个微服务拥有独立数据库，通过事件驱动和 Saga 模式保证分布式事务一致性，避免数据耦合和单点故障。

通信机制结合同步（REST/gRPC）与异步（消息队列）模式。实时性要求高的场景采用同步通信，批量处理和事件通知采用异步通信，优化通信效率与系统性能。

4.1.3 架构总体分层

系统整体采用四层分层架构，如图4.1所示：

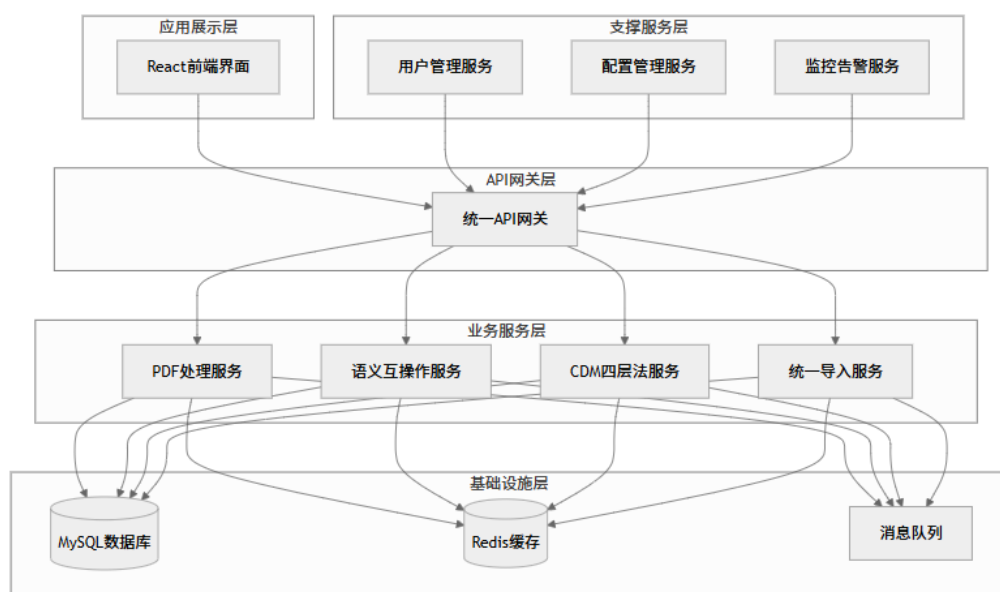


图 4.1 系统总体架构分层图

API 网关层作为系统统一入口，提供请求路由、认证鉴权、访问控制、限流熔断与监控统计功能。该层接收外部请求，执行身份验证、权限检查、请求路由和响应聚合，通过限流和熔断机制保护后端服务。

业务服务层包含 PDF 解析、语义互操作、CDM 四层法、统一导入等核心业务

模块。每个服务作为独立业务单元，支持独立开发、测试和部署，体现微服务架构的模块化设计理念。

支撑服务层提供用户配置管理、监报告警、文件日志等系统支持功能。该层包括用户认证、配置管理、监报告警、文件存储等关键功能，构成系统运行的基础保障体系。

基础设施层包含服务注册发现（Consul/Kubernetes）、消息队列（RabbitMQ/Redis）、数据库与缓存集群等核心组件。该层实现服务发现、消息传递、数据存储和缓存等基础功能，为微服务架构提供技术支撑。

4.2 微服务架构设计

4.2.1 微服务模块划分与职责

系统共包含五类核心服务，每个服务都有明确的职责和边界，如表4.1所示：

表 4.1 微服务模块划分与职责

模块	核心职责
pdf-service	自动化标准文档解析与结构化导入
semantic-service	跨标准语义分析与字段映射
cdm-service	CDM 四层语义互操作（语义层/映射层/校验层/运行层）
import-service	多格式文件识别、清洗与批量导入
api-gateway	统一接口访问控制、负载均衡、服务监控

（1）pdf-service：负责自动化标准文档解析与结构化导入。服务处理 MIL-STD-6016、STANAG 5516 等标准文档，自动提取消息定义、字段信息和约束条件，转换为结构化数据格式。

（2）semantic-service：实现跨标准语义分析与字段映射。服务提供语义分析引擎，识别不同标准中的语义概念，建立概念间映射关系，支持人工标注和规则学习。

（3）cdm-service：实现 CDM 四层语义互操作。服务基于 Common Data Model 四层架构，提供语义层、映射层、校验层和运行层的完整实现，支持不同协议间的语义级转换。

(4) **import-service**: 负责多格式文件识别、清洗与批量导入。服务支持 PDF、Excel、XML、JSON 等多种格式的文件处理, 提供格式自动识别、数据清洗和批量导入功能。

(5) **api-gateway**: 提供统一接口访问控制、负载均衡、服务监控。服务作为系统统一入口, 负责请求路由、身份验证、权限控制、限流熔断和监控统计。

4.2.2 微服务通信机制

基于微服务架构的分布式特性, 系统构建了多层次的通信机制以满足不同场景下的性能和安全需求。在同步通信领域, 系统采用 REST API、gRPC 和 GraphQL 三种协议的组合方案, REST API 承担标准化 HTTP 接口和简单 CRUD 操作, gRPC 负责高性能内部服务通信, GraphQL 则提供复杂数据查询的灵活能力。异步通信方面, 通过 RabbitMQ 消息队列实现可靠的消息传递和事件通知, 确保关键业务数据的可靠传输。服务发现机制依托 Consul 注册发现和 Kubernetes DNS, 实现服务的自动发现和负载均衡, 服务启动时自动注册到服务发现中心, 其他服务通过服务名进行调用, 实现服务间的松耦合通信。为确保通信安全, 所有服务间通信采用 TLS 加密, 通过 JWT 令牌进行身份验证, 构建多层次的安全防护体系。

4.2.3 容错与弹性设计

针对分布式系统的复杂性和不确定性, 系统构建了全方位的容错与弹性保障机制。熔断机制作为第一道防线, 当服务调用失败率达到预设阈值时自动开启熔断器, 实现服务熔断、快速失败和故障隔离, 有效避免级联故障。重试策略采用指数退避算法和智能重试机制, 对于临时性故障进行自动重试操作, 避免对故障服务造成额外压力。降级策略在系统负载过高或部分服务不可用时, 自动切换到简化功能模式, 确保核心服务可用性。自动伸缩通过 Kubernetes HPA 根据 CPU、内存使用率等指标动态调整服务实例数量, 实现资源的弹性分配和优化配置。

4.3 数据模型与数据库设计

4.3.1 设计目标与数据特征

战术数据链信息标准数据库的复杂性和多样性特征决定了系统必须采用“标准化存储、语义扩展、互操作可追溯”的设计原则，构建支持多标准数据管理的核心能力体系。统一建模与版本化管理机制确保系统能够支持 MIL-STD-6016、STANAG 5516、MIL-STD-6020 等多个标准版本的数据存储，每个标准版本具有独立的版本标识和变更历史，保障不同标准版本数据的独立性和可追溯性。

语义互操作能力的实现依赖于字段级语义绑定与跨标准映射机制，通过将每个字段与语义概念进行绑定，数据库应支持跨标准的字段映射和转换。映射关系详细记录置信度、转换规则和版本信息，为语义互操作提供精确的数据转换机制。此外，系统集成高性能查询与语义检索功能，支持按标准版本、消息类型、语义概念等多种查询模式，并具备全文检索和模糊匹配能力，满足不同场景下的数据检索需求。

4.3.2 核心实体与关系模型

系统的核心数据模型如图4.2所示，主要包含以下核心表：

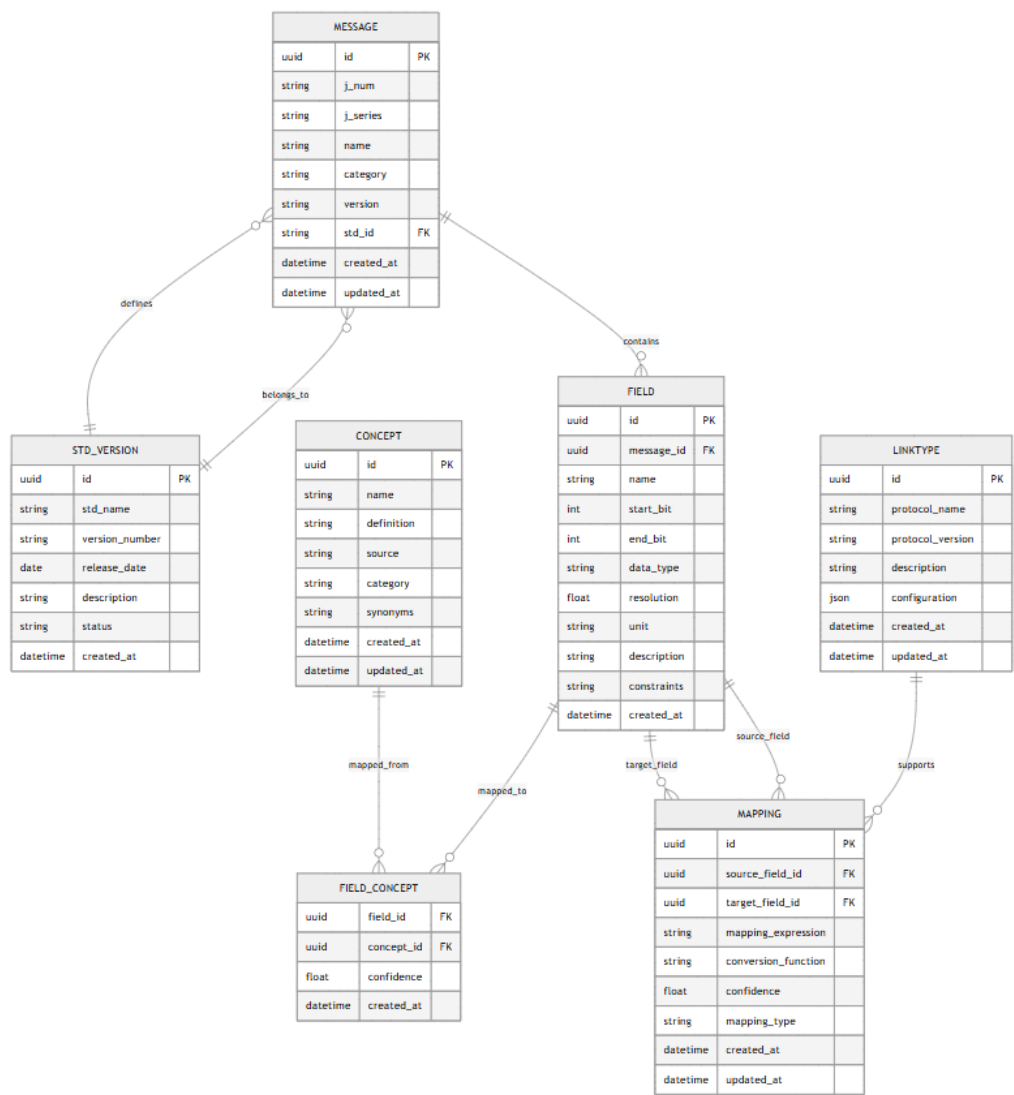


图 4.2 核心数据模型 ER 图

- (1) **MESSAGE** 表：存储消息元信息，包含消息编号、名称、类别、版本等基本信息。该表是系统核心表之一，每个消息具有唯一标识符和版本信息，为战术数据链消息的标准化 管理提供数据基础。
- (2) **FIELD** 表：存储位段定义及约束信息，包含起始位、结束位、分辨率、取值域等详细信息。该表与 **MESSAGE** 表通过外键关联，支持一个消息包含多个字段的复杂结构。
- (3) **CONCEPT** 表：存储语义概念库，定义术语与来源信息，为语义互操作提供概念基础。该表支持概念的定义、分类和关系管理，构建完整的语义概念体系。

(4) MAPPING 表：存储跨标准映射规则，包含表达式、转换函数、置信度等信息。该表支持不同标准间的字段映射和转换规则定义，为语义互操作提供精确的转换机制。

(5) STD_VERSION 表：存储标准版本管理信息，记录标准的版本号、发布日期、修订历史等关键信息。该表为多标准版本管理提供完整的版本控制机制。

(6) LINKTYPE 表：存储协议类型定义与配置信息，支持不同数据链协议的配置和管理。该表为多协议支持提供灵活的配置机制。

4.3.3 约束与索引设计

数据库设计采用严格的约束和高效的索引策略，确保数据完整性和查询性能，构建了完善的数据管理机制。

主外键设计采用 UUID 主键与业务唯一约束相结合的设计方案。UUID 主键确保全局唯一性，避免分布式环境下的主键冲突问题；业务唯一约束（如 MESSAGE(j_num, std_id)）保证业务逻辑的正确性。

完整性约束实现位段检查（start_bit < end_bit）、置信度范围（0-1）等多种约束机制。这些约束通过数据库的 CHECK 约束实现，在数据层面确保数据的有效性，防止无效数据的入库。

索引策略设计组合索引（std_id, j_series, j_num）和全文索引（概念模糊检索）等多种索引类型。组合索引支持多条件查询，提升复杂查询的性能；全文索引支持语义概念的模糊检索。

性能优化采用分区表与缓存机制相结合的策略。对于大数据量表，使用分区策略减少查询范围，通过水平分区和垂直分区相结合的方式提升查询效率；对于热点数据，使用 Redis 缓存提升访问速度。

4.3.4 微服务数据库分离与一致性

各微服务采用独立的数据库设计，通过多种机制保证数据一致性，构建了完善的分布式数据管理体系。

数据库分离要求每个微服务拥有独立的数据库，避免数据耦合和单点故障问

题。这种设计提高系统的可扩展性和容错能力，使得各个服务能够独立演进和部署。

一致性机制采用 Saga 模式与事件驱动同步机制相结合的方式实现最终一致性。Saga 模式将复杂的分布式事务分解为多个本地事务，通过补偿操作保证数据一致性，解决分布式环境下的数据一致性问题。

数据同步通过 CDC（Change Data Capture）机制捕获变更事件，实现数据的实时同步。CDC 机制精确捕获数据库的变更操作，将变更事件发送到消息队列，为数据同步提供可靠的技术保障。

跨服务同步借助消息队列实现跨服务数据同步。当某个服务的数据发生变化时，系统通过消息队列通知其他相关服务进行数据更新，形成松耦合的数据同步机制。

4.4 跨数据链协议互操作架构设计

4.4.1 多协议支持体系

系统支持多种数据链协议，包括 MIL-STD-6016、MAVLink、MQTT、Link 16 等，构建了四层互操作体系架构，如图4.3所示：

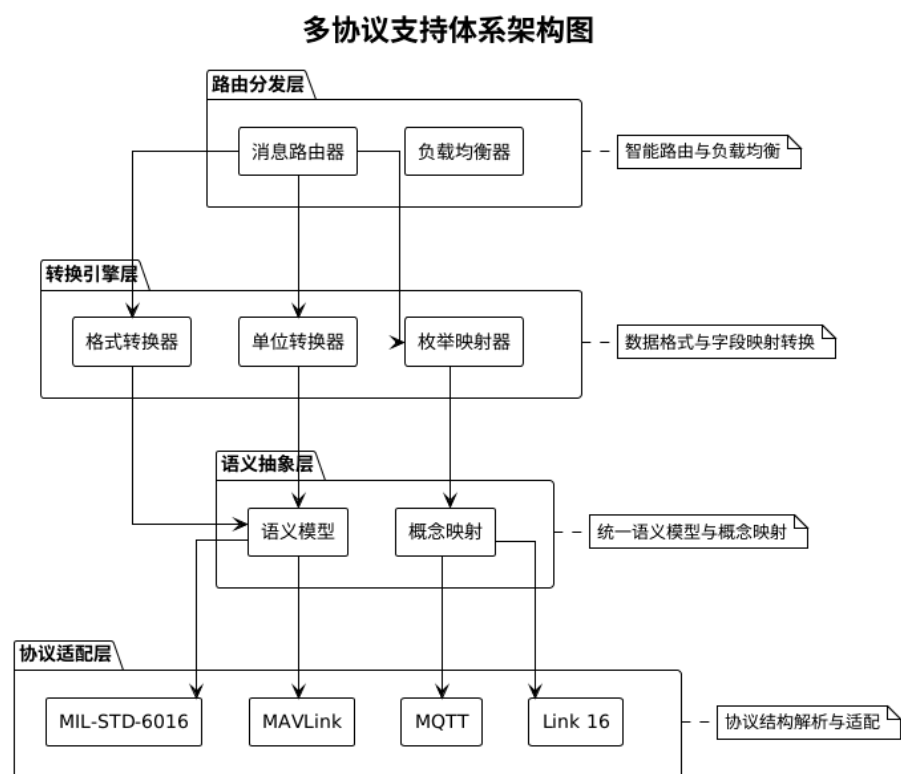


图 4.3 多协议支持体系架构图

协议适配层作为互操作体系的基础层，负责对各链路标准的结构解析与适配。该层解析不同协议的消息格式，提取字段信息，转换为统一的内部表示，为上层处理提供标准化的数据接口。

语义抽象层建立统一的语义模型与概念映射机制，将不同协议中的概念映射到统一的概念空间。该层通过语义建模技术，实现跨协议的概念对齐和语义理解，为协议间的语义互操作提供概念基础。

转换引擎层实现协议到协议的数据格式与字段映射转换功能，包括格式转换、单位转换、枚举映射等多种转换操作。该层提供灵活的转换规则配置机制，支持复杂的数据转换需求。

路由分发层负责消息智能路由与负载均衡，将消息路由到正确的目标协议，实现负载均衡和故障转移。该层通过智能路由算法，优化消息传输路径，提高系统的整体性能和可靠性。

4.4.2 CDM 四层法语义互操作模型

基于”Common Data Model (CDM)” 四层方法，系统实现了协议级语义对齐，构建了完整的语义互操作体系，如图4.4所示：

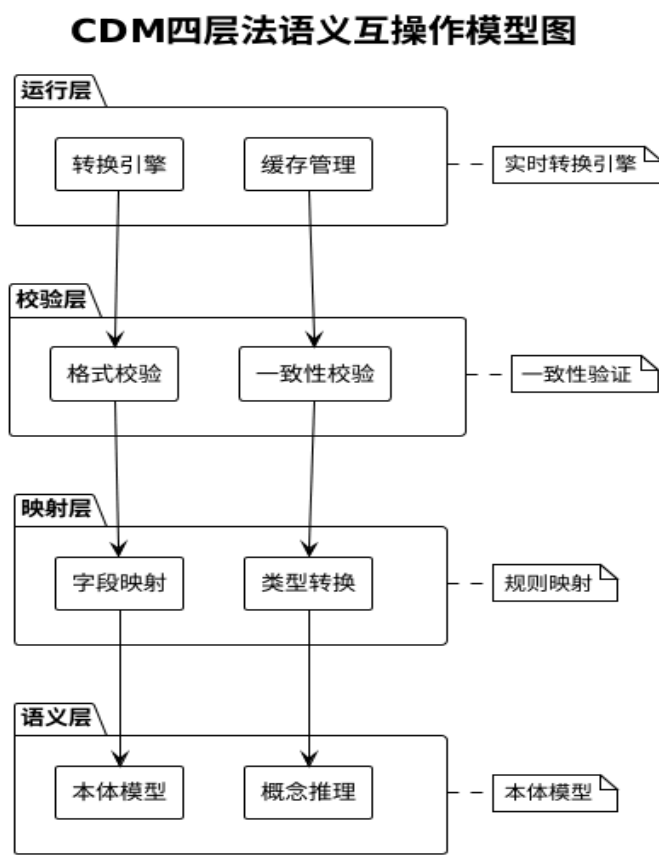


图 4.4 CDM 四层法语义互操作模型图

语义层作为 CDM 四层方法的基础层，建立统一的本体模型和概念推理机制。该层通过本体技术构建统一的概念模型，支持概念的定义、分类和推理，使系统能够深入理解概念间的语义关系。

映射层采用声明式规则映射和 YAML 配置化管理方式，使用 YAML 配置文件定义映射规则，支持规则的版本管理和动态更新。映射规则涵盖字段映射、数据类型转换、单位转换等多种转换需求。

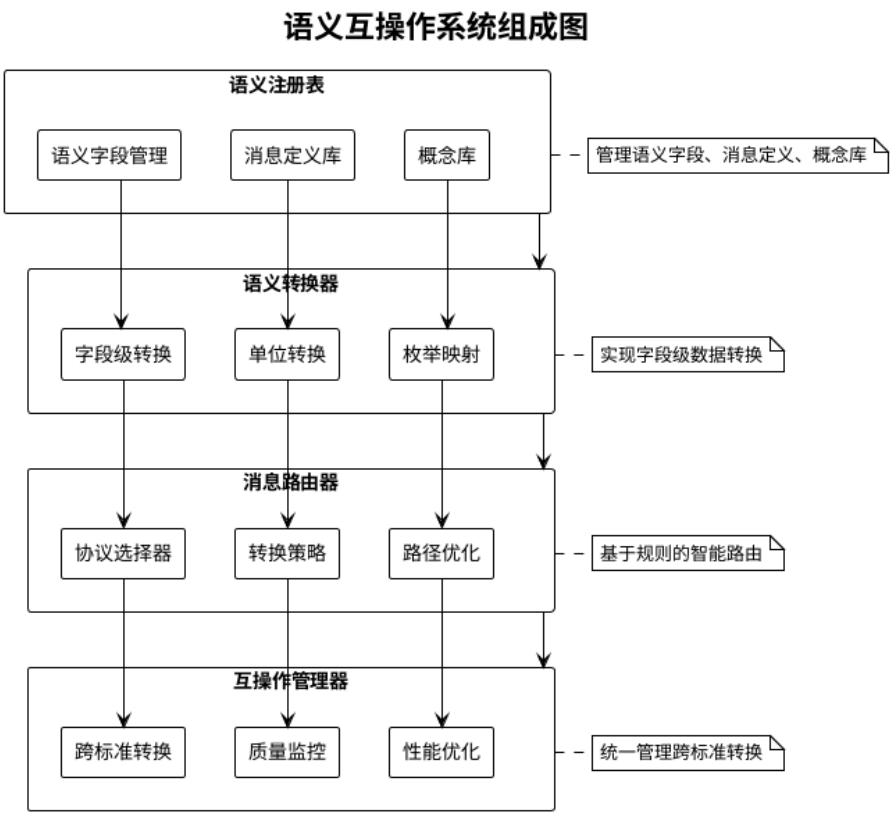
校验层提供多层次的一致性验证和金标准回归测试机制，包括格式校验、业务规则校验、一致性校验等多种校验方式。金标准回归测试确保转换结果的准确性，

为语义互操作的质量提供可靠保障。

运行层实现高性能实时转换引擎，采用高效的转换算法支持实时消息转换和批量处理。该层通过缓存和优化技术，提供高性能的转换服务，满足战术数据链对实时性和性能的严格要求。

4.4.3 语义互操作系统组成

系统包含四个核心组件，实现从概念级到消息级的自动语义互操作，构建了完整的语义互操作处理体系，如图4.5所示：



语义注册表作为系统的核心组件之一，负责管理语义字段、消息定义、概念库等核心信息。该组件提供语义信息的注册、查询和更新功能，支持语义概念的版本管理，为语义互操作提供统一的信息管理平台。

语义转换器实现字段级数据转换、单位转换、枚举映射等关键功能，该组件支持多种转换算法，包括数值转换、字符串转换、枚举映射等。通过灵活的转换规则

配置，该组件能够处理复杂的跨协议数据转换需求。

消息路由器基于规则的智能路由机制，实现协议选择和转换策略的自动优化。该组件根据消息类型、源协议、目标协议等信息，自动选择最优的转换策略，通过智能路由算法优化消息传输路径。

互操作管理器统一管理跨标准转换、质量监控、性能优化等关键功能，该组件提供转换过程的监控和管理功能，包括性能统计、错误处理、质量评估等。通过全方位的管理机制，该组件确保语义互操作过程的稳定性和高效性。

4.4.4 数据一致性与冲突解决

系统采用多种机制保证跨链路数据的一致性和冲突解决，构建了完善的数据质量管理体系。

一致性协议采用最终一致性协议与版本号优先策略相结合的方式。对于非关键数据，使用最终一致性协议，在保证系统性能的同时确保数据的最终一致性；对于关键数据，使用强一致性保证，确保数据的实时一致性。

冲突解决实现时间戳优先、版本号优先、人工仲裁等多种策略。当数据发生冲突时，系统根据预定义的策略自动解决冲突，通过智能冲突检测和解决算法，最大程度地减少数据冲突的影响；必要时提供人工干预机制，确保复杂冲突情况下的数据正确性。

数据校验提供格式验证、规则校验、完整性验证等多层次校验机制。每个转换过程都经过严格的校验，确保数据的正确性和完整性，通过多层次的校验体系，有效防止错误数据的传播。

质量保障实现跨链路数据同步质量监控，持续监控数据转换的质量，包括准确率、完整性、一致性等关键指标。通过实时质量监控和预警机制，系统能够及时发现和解决数据质量问题。

4.5 自动化信息标准导入架构设计

4.5.1 标准化导入流程

自动化导入系统实现从 PDF/Excel/XML 等标准文档到数据库的全流程自动处理，如图4.6所示：

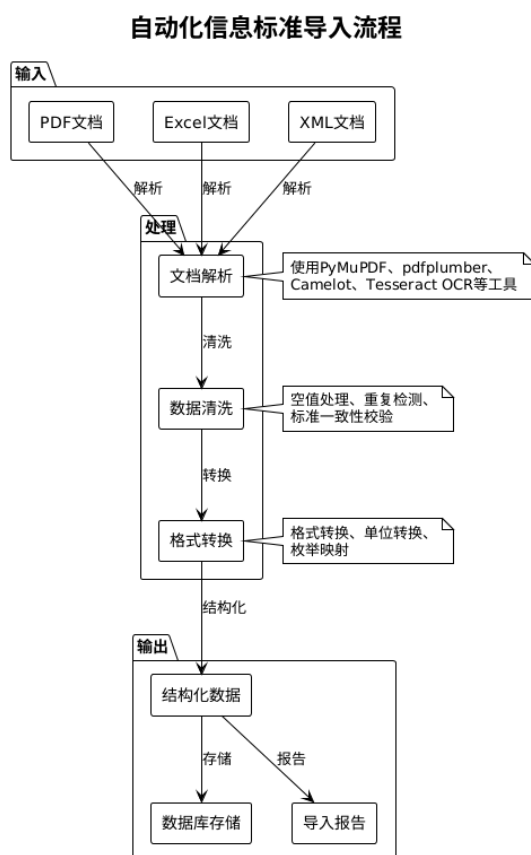


图 4.6 自动化导入流程

处理流程包括 PDF 文档解析、文本提取、表格识别、字段解析、数据清洗、结构化导入、校验报告生成等关键步骤。每个步骤都经过严格的验证和质量控制，确保导入数据的准确性和完整性。

文档解析阶段使用 OCR 技术和 PDF 解析库提取文档中的文本和表格信息。对于扫描文档，使用 Tesseract OCR 进行文字识别，支持多语言文字识别；对于文本型 PDF，直接提取文本内容，通过多种解析技术的结合，确保不同类型文档的准确解析。

结构化处理阶段将提取的文本信息转换为结构化的数据格式。通过规则匹配和机器学习算法，系统能够智能识别消息定义、字段信息和约束条件，将非结构化的文档内容转换为标准化的数据结构。

数据清洗阶段对提取的数据进行全面的清洗和验证，包括格式检查、完整性验证、一致性检查等多种验证机制。发现的问题会详细记录到错误日志中，供后续处理和分析。

导入存储阶段将清洗后的数据导入到数据库中，并生成详细的导入报告。报告包括成功导入的记录数、失败记录数、错误信息等关键统计信息，为导入过程的质量评估和问题追踪提供完整的记录。

4.5.2 关键技术与工具链

系统采用多种先进的技术和工具，确保导入过程的准确性和效率，构建了完整的技术支撑体系。

文档解析使用 PyMuPDF、pdfplumber、Camelot、Tesseract OCR 等专业工具。PyMuPDF 提供高性能的 PDF 解析能力，pdfplumber 专门用于表格提取，Camelot 提供精确的表格识别功能，Tesseract OCR 支持多语言文字识别，这些工具的结合使用确保不同类型文档的准确解析。

结构化导入采用 Pandas + SQLAlchemy + MySQL 技术栈。Pandas 提供强大的数据处理能力，支持复杂的数据操作和分析；SQLAlchemy 提供 ORM 支持，简化数据库操作；MySQL 提供可靠的数据存储，确保数据的安全性和一致性。

格式识别使用 MIME 检测与规则匹配技术相结合的方式。MIME 检测能够快速识别文件类型，为后续处理提供基础信息；规则匹配提供精确的格式识别和内容解析，通过智能识别算法，确保不同格式文档的准确处理。

校验机制实现自动检测字段重叠、位长一致性、枚举合法性等关键功能。系统能够自动检测数据中的各种问题，并提供修复建议，通过智能校验机制，确保导入数据的质量和准确性。

4.5.3 数据清洗与质量保证

系统提供完善的数据清洗和质量保证机制，构建了全方位的数据质量管理体系。

清洗策略实现空值处理、重复检测、标准一致性校验等关键功能。系统能够自动处理各种数据质量问题，包括缺失值、重复值、格式错误等常见问题，通过智能清洗算法，显著提升数据质量。

质量指标监控数据完整性、语义保持率、转换准确率等关键指标。这些指标能够全面反映数据质量的水平，为质量改进提供科学依据，通过持续的质量监控，系统能够及时发现和解决数据质量问题。

验证机制提供格式验证、业务规则验证、一致性验证等多层次验证体系。每个验证层次都有明确的验证规则和错误处理机制，通过多层次的验证保障，确保数据的准确性和一致性。

错误处理实现异常记录、自动修复、人工审核等完整功能。系统能够自动处理大部分数据问题，对于复杂问题提供人工干预机制，通过智能化的错误处理，最大程度地减少数据质量问题的影响。

4.6 微服务通信与运行保障设计

4.6.1 服务通信与安全

系统采用多种通信模式和安全机制，确保服务间的可靠通信，构建了完善的通信安全保障体系。

同步通信使用 REST/gRPC/GraphQL 等多种协议进行同步通信。REST API 主要用于简单的 CRUD 操作，提供标准化的 HTTP 接口；gRPC 用于高性能的内部服务通信，充分利用其二进制协议的高效性；GraphQL 用于复杂的数据查询，提供灵活的数据获取能力。

异步通信使用 RabbitMQ、Redis Pub/Sub 进行异步通信。RabbitMQ 提供可靠的消息传递和事务支持，确保关键业务数据的可靠传输；Redis Pub/Sub 提供高性能的实时通知，支持轻量级消息传递，形成同步与异步相结合的通信机制。

服务发现通过 Consul + Kubernetes DNS 实现服务的自动发现和负载均衡。服务启动时自动注册到服务发现中心，其他服务通过服务名进行调用，实现服务间的松耦合通信，提高系统的可维护性和可扩展性。

通信安全使用 TLS 双向认证、服务间认证确保通信安全。所有服务间通信都使用 TLS 加密，并通过 JWT 令牌进行身份验证，构建多层次的安全防护体系。

4.6.2 分布式数据管理与灾备

系统采用分布式数据管理策略，确保数据的安全性和可用性，构建了完善的数据保护体系。

数据分离实现数据分离与所有权隔离机制。每个微服务拥有独立的数据存储，有效避免数据耦合和单点故障问题，这种设计显著提高系统的可扩展性和容错能力，为微服务架构的灵活性提供数据层面的支撑。

一致性保证采用 Saga 与事件溯源相结合的方式保证最终一致性。Saga 模式将复杂的分布式事务分解为多个本地事务，通过补偿操作保证数据一致性，有效解决分布式环境下的数据一致性问题。

灾备机制实现多区域备份与灾难恢复机制。系统支持跨区域的数据备份和灾难恢复，确保在重大故障情况下的数据安全，通过完善的灾备体系，最大程度地降低数据丢失的风险。

数据同步通过实时同步、批量同步、增量同步等多种方式实现数据同步。根据数据的重要性和实时性要求，系统能够智能选择合适的同步策略，确保不同场景下的数据同步需求。

4.6.3 配置与治理体系

系统提供完善的配置管理和治理机制，构建了全方位的系统管理体系。

配置管理实现集中配置与环境隔离（Consul + ConfigMap）机制。所有配置信息都存储在配置中心，支持动态更新和环境隔离，通过统一的配置管理，确保系统配置的一致性和可维护性，为不同环境的部署提供灵活的配置支持。

监控体系提供全链路监控（Prometheus + Grafana + Jaeger）能力。Prometheus

负责指标收集，提供全面的性能监控数据；Grafana 提供可视化展示，支持丰富的图表和仪表盘；Jaeger 提供分布式链路追踪，实现完整的系统监控体系。

日志管理实现结构化日志与追踪链路功能。所有日志都采用结构化格式，支持日志聚合、搜索和分析，通过统一的日志管理，为系统运维和问题排查提供强有力的支撑。

服务治理提供健康检查、故障检测、负载均衡等服务治理功能。系统能够自动检测服务健康状态，并进行故障转移和负载均衡，通过智能化的服务治理，确保系统的稳定性和高可用性。

4.6.4 容错与弹性设计

系统采用多种容错和弹性设计机制，确保在异常情况下的服务可用性，构建了完善的故障处理体系。

容错机制实现熔断、重试、降级机制确保系统在异常情况下保持服务可用。当服务调用失败率达到预设阈值时，系统自动开启熔断器，有效避免级联故障；对于临时性故障，系统自动进行重试操作；当系统负载过高时，系统自动降级到简化功能，确保核心服务的可用性。

弹性伸缩通过 Kubernetes HPA 实现自动伸缩与资源弹性分配。系统根据 CPU、内存使用率和自定义指标，自动调整服务实例数量，实现资源的动态优化配置，确保系统在不同负载情况下的高效运行。

故障恢复提供自动恢复、手动干预、数据修复等完整功能。系统能够自动处理大部分故障，对于复杂故障提供人工干预机制，通过智能化的故障处理，最大程度地减少故障对系统的影响。

性能保障确保响应时间保证、吞吐量稳定、故障恢复能力。系统通过多种优化技术，提供高性能和稳定的服务，满足战术数据链对系统性能和可靠性的严格要求。

通过微服务架构与跨数据链协议互操作系统的设计，本研究构建了功能完整、性能优异、可扩展性强的战术数据链信息标准处理平台。该平台支持多种数据链协议的语义互操作，具备自动化导入、智能转换、质量保证等先进功能，为战术数

据链的标准化和互操作提供技术基础。

第五章 系统实现、测试与性能分析

系统架构设计以及核心算法研究完成后，系统进入了实现阶段。这个阶段的工作体现了从理论到实践的挑战与乐趣。系统不仅要确保功能的完整性，还要考虑性能、安全性以及用户体验等多个方面。经过数月的开发与测试，最终构建了一个功能完善、性能优异的战术数据链信息标准数据库系统。

5.1 系统实现架构

5.1.1 整体实现架构

基于微服务架构的分布式设计理念构成了系统实现的核心架构模式，该架构通过服务间的松耦合、独立部署与弹性扩展机制，显著提升了系统的可维护性与可扩展性。微服务架构将复杂的单体应用系统性地拆分为多个独立的服务单元，每个服务专注于特定的业务功能领域，从而实现了关注点的有效分离与业务逻辑的模块化管理。

系统构建了 9 个核心微服务，每个服务都具有明确的职责边界与独立的生命周期管理机制。这种设计模式使得各个服务能够独立开发、测试、部署与扩展，大幅提升了开发效率与系统灵活性。每个微服务严格遵循单一职责原则，确保服务内部的高内聚性，同时通过标准化的 RESTful API 接口实现服务间的低耦合交互。

数据存储架构采用 MySQL 8.0 作为主数据库，Redis 作为分布式缓存数据库的技术组合。MySQL 的选择基于其在事务处理、外键约束以及全文索引方面的卓越性能表现，能够有效支撑数据一致性需求。Redis 则实现了高效的分布式缓存机制，显著提升了系统的查询性能与响应速度。

技术栈选择方面，系统采用了 Python 3.10 + FastAPI + React 18 + MySQL 8.0 + Redis 的现代化技术组合。FastAPI 作为微服务的核心框架，提供了高性能的异步处理能力、自动 API 文档生成以及类型安全等关键特性。React 18 构建的前端应用通过 RESTful API 与后端微服务进行交互，实现了前后端的完全分离。

容器化部署作为微服务架构的重要支撑技术，系统采用 Docker 容器化技术将

每个微服务打包为独立的容器镜像，通过 Kubernetes 进行容器编排与管理。这种部署方式实现了服务的快速部署、自动扩缩容以及故障自愈等关键能力，为系统的运维管理提供了强有力的技术保障。

5.2 微服务架构实现

基于第四章的微服务架构设计，本节重点阐述系统的具体实施方案，包括微服务部署与通信、数据管理与存储、监控与容错三个核心方面。

5.2.1 微服务部署与通信

微服务架构的实现首先需要解决服务的部署和通信问题。在部署层面，系统采用 Docker 容器化技术实现服务的标准化部署，每个微服务都被封装为独立的 Docker 容器，确保环境一致性和部署的可重复性。Kubernetes 集群作为容器编排平台，负责服务的调度、扩缩容和生命周期管理，通过声明式配置实现服务的自动化部署和运维。

在服务通信方面，系统构建了同步和异步两种通信机制。同步通信采用 REST API 作为主要方式，服务间通过 HTTP 协议进行数据交换，支持 JSON 格式的数据传输和标准的 HTTP 状态码处理。异步通信通过 RabbitMQ 消息队列实现，支持发布-订阅模式和点对点通信模式，确保服务间的解耦和消息的可靠传递。

图5.1展示了微服务部署与通信的整体架构，包括 Docker 容器化部署、Kubernetes 集群管理和服务间通信机制。

微服务部署与通信架构

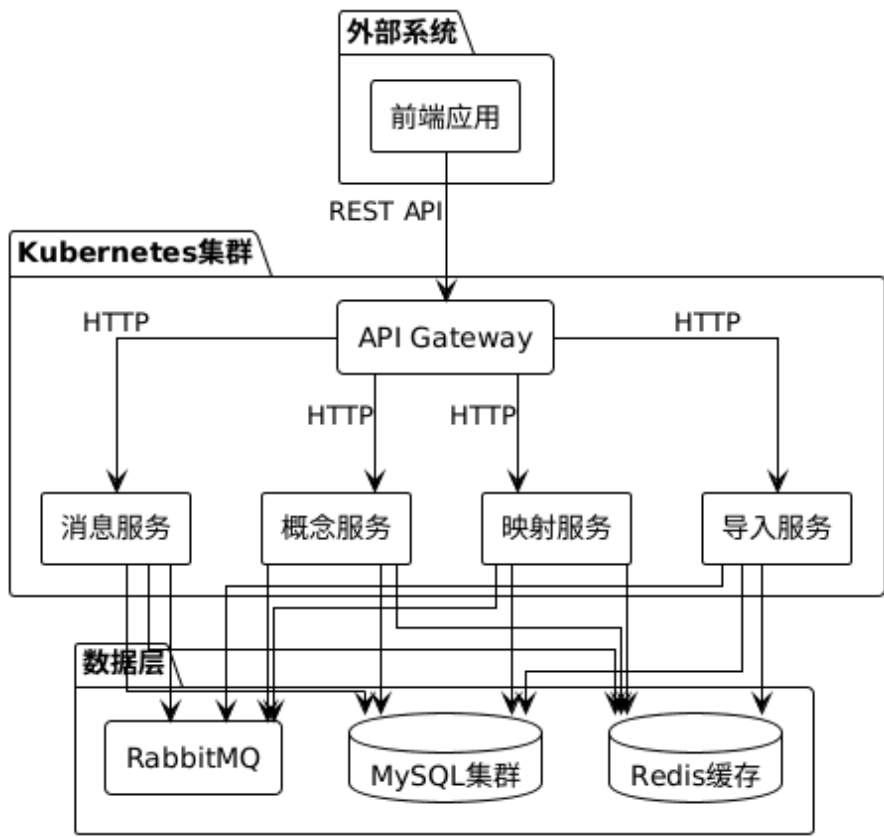


图 5.1 微服务部署与通信架构图

5.2.2 数据管理与存储

分布式数据存储是微服务架构实现的关键环节。系统采用数据库分片策略，将数据按照业务领域进行水平分片，每个微服务管理自己的数据分片，实现数据的分布式存储和访问。读写分离机制通过主从复制实现，写操作集中在主数据库，读操作分散到多个从数据库，有效提升系统的并发处理能力。

缓存系统基于 Redis 实现，提供高性能的数据缓存服务。系统采用多级缓存策略，包括应用级缓存、分布式缓存和 CDN 缓存，通过缓存预热、缓存更新和缓存失效机制，确保缓存数据的一致性和有效性。

图5.2展示了分布式数据管理与存储架构，包括数据库分片、读写分离和缓存系统。

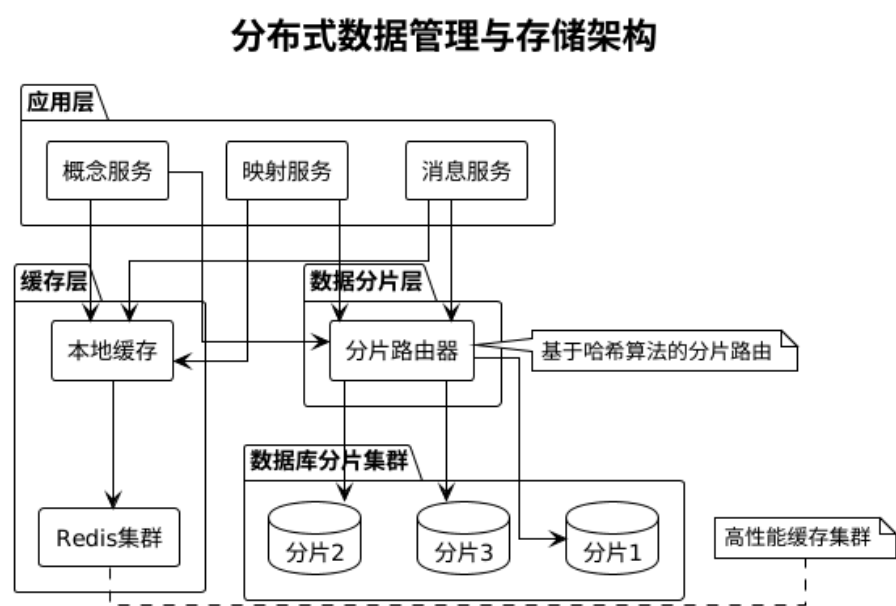


图 5.2 分布式数据管理与存储架构图

数据分片算法的核心实现如下：

代码 1 数据分片算法

Input: data: 待分片的数据, shard_key: 分片键, num_shards: 分片数量

Output: shard_id: 分片 ID

```
1: 计算分片 ID
2: hash_value ← hash(shard_key)
3: shard_id ← hash_value mod num_shards
4: 获取分片数据库连接
5: shard_config ← SHARD_CONFIGS[shard_id]
6: shard_db ← connect_database(shard_config)
7: 存储数据到对应分片
8: shard_db.insert(data)
9: return shard_id
```

5.2.3 监控与容错

服务监控体系是保障微服务系统稳定运行的重要机制。系统集成 Prometheus 作为指标收集平台，通过自定义指标和系统指标监控服务的运行状态和性能表现。Grafana 作为可视化监控平台，提供丰富的图表和仪表板，支持实时监控和历史数

据分析。

容错机制通过熔断器和重试机制实现。熔断器模式在服务调用失败率达到预设阈值时自动开启，避免级联故障的发生。重试机制采用指数退避算法，对于临时性故障进行智能重试，提高系统的可靠性和稳定性。

图5.3展示了监控与容错系统的整体架构，包括 Prometheus 指标收集、Grafana 可视化监控和熔断器容错机制。

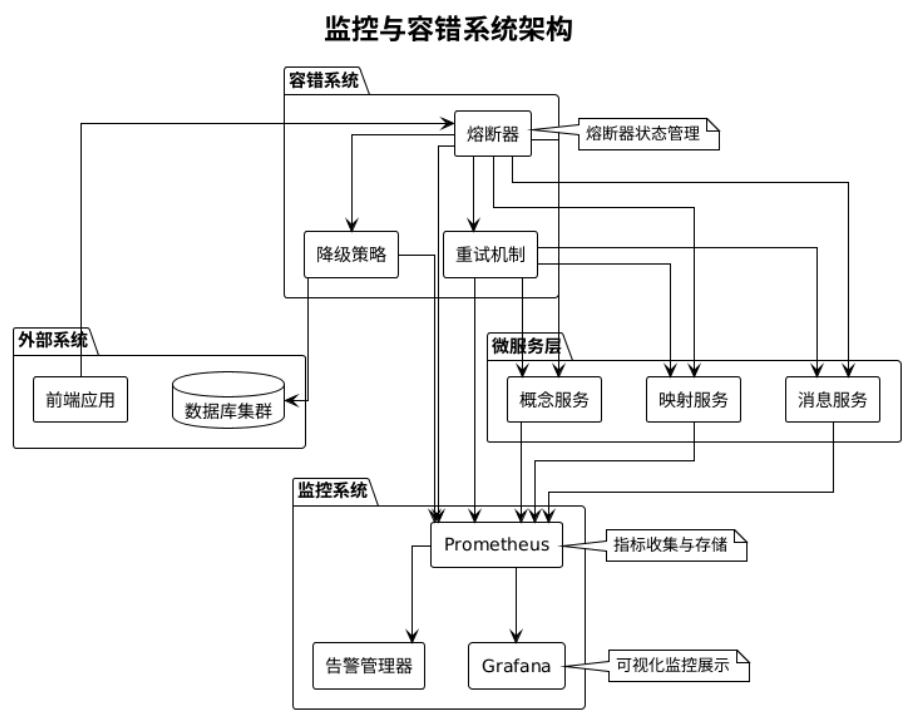


图 5.3 监控与容错系统架构图

熔断器模式的核心实现如下：

代码 2 熔断器模式算法

Input: func: 待调用函数, failure_threshold: 失败阈值, timeout: 超时时间

Output: result: 函数执行结果

```
1: 初始化熔断器状态
2: failure_count ← 0
3: last_failure_time ← null
4: state ← 'CLOSED'
5: if state = 'OPEN' then
6:   if current_time - last_failure_time > timeout then
7:     state ← 'HALF_OPEN'
8:   else
9:     抛出异常 CircuitBreakerOpenException
10:  end if
11: end if
12: 尝试执行函数
13: 执行函数调用
14: result ← func(*args, **kwargs)
15: if 执行成功 then
16:   on_success()
17:   return result
18: else
19:   on_failure()
20:   抛出异常 e
21: end if
```

代码 3 熔断器成功处理

```
1: failure_count ← 0
2: state ← 'CLOSED'
```

代码 4 熔断器失败处理

```
1: failure_count ← failure_count + 1
2: last_failure_time ← current_time
3: if failure_count >= failure_threshold then
4:   state ← 'OPEN'
5: end if
```

表5.1列出了系统监控的关键指标和阈值配置。

表 5.1 系统监控关键指标配置

指标类型	指标名称	阈值	告警级别
性能指标	响应时间	>2 秒	警告
性能指标	吞吐量	<100 req/s	警告
可用性指标	服务可用率	<99.9%	严重
可用性指标	错误率	>5%	严重
资源指标	CPU 使用率	>80%	警告
资源指标	内存使用率	>85%	警告
资源指标	磁盘使用率	>90%	严重

5.3 数据模型实现

数据模型实现作为系统架构的核心基础，通过精心设计的数据库表结构、高效的索引策略和完善的约束机制，为战术数据链信息标准数据库提供了坚实的数据存储与管理基础。本节将从数据库表结构设计、索引策略优化、约束机制保障以及版本管理四个维度详细阐述数据模型的实现方案。

5.3.1 数据库表结构设计

数据库表结构设计构成了系统数据模型的基础架构。系统设计了 MESSAGE、STDVERSION、FIELD、CONCEPT、MAPPING 等核心数据表，这些表通过外键关联形成了完整的关系型数据模型。每个表都具有明确的职责分工，表之间的关系设计清晰合理，充分体现了第三范式（3NF）的设计原则。

以下 SQL 代码定义了核心数据表结构，该实现包括主外键约束、索引策略和数据完整性检查：

代码 5 数据库表结构设计

Input: 表结构需求

Output: 完整的数据库表结构

- 1: 创建标准版本表
- 2: CREATE TABLE STD_VERSION
- 3: std_id: VARCHAR(36) PRIMARY KEY
- 4: std_name: VARCHAR(64) NOT NULL
- 5: version_number: VARCHAR(32) NOT NULL
- 6: 创建消息表
- 7: CREATE TABLE MESSAGE
- 8: message_id: VARCHAR(36) PRIMARY KEY
- 9: j_num: VARCHAR(16) NOT NULL
- 10: title: VARCHAR(128) NOT NULL
- 11: std_id: VARCHAR(36) NOT NULL
- 12: FOREIGN KEY (std_id) REFERENCES STD_VERSION(std_id)
- 13: 创建字段表
- 14: CREATE TABLE FIELD
- 15: field_id: VARCHAR(36) PRIMARY KEY
- 16: message_id: VARCHAR(36) NOT NULL
- 17: start_bit: INT NOT NULL
- 18: end_bit: INT NOT NULL
- 19: FOREIGN KEY (message_id) REFERENCES MESSAGE(message_id)

5.3.2 索引策略优化

索引策略的实现对于系统查询性能具有至关重要的影响。系统实现了组合索引、覆盖索引以及全文索引等多种索引类型，通过合理的索引设计显著提升了数据库的查询效率。组合索引能够有效支持多字段复合查询，覆盖索引避免了不必要的回表操作，全文索引为文本搜索功能提供了强有力的技术支撑。

索引策略的核心代码如下，该实现创建了高效的查询索引，包括组合索引、覆盖索引和全文索引：

代码 6 数据库索引策略

Input: 表结构和查询需求**Output:** 优化的索引结构

- 1: 创建字段范围索引
 - 2: CREATE INDEX IDX_FIELD_MSG_RANGE ON FIELD(message_id, start_bit, end_bit)
 - 3: 创建消息查找索引
 - 4: CREATE INDEX IDX_MSG_LOOKUP ON MESSAGE(std_id, j_num)
 - 5: 创建标准版本名称索引
 - 6: CREATE INDEX IDX_STD_VERSION_NAME ON STD_VERSION(std_name, version_number)
-

5.3.3 约束机制保障

约束机制确保了数据的完整性和一致性，是数据模型可靠性的重要保障。系统实现了主外键约束、检查约束以及触发器机制等多层次的约束体系。主外键约束保证了数据的引用完整性，检查约束确保了数据的有效性和业务规则的正确性，触发器机制实现了复杂的业务逻辑和数据一致性维护。

约束机制的关键 SQL 代码如下，该实现定义了完整的数据完整性约束，包括主外键约束、检查约束和触发器：

代码 7 数据库约束机制

Input: 表结构和业务规则**Output:** 完整的约束体系

- 1: 添加消息表外键约束
 - 2: ALTER TABLE MESSAGE
 - 3: ADD CONSTRAINT FK_MESSAGE_STD_VERSION
 - 4: FOREIGN KEY (std_id) REFERENCES STD_VERSION(std_id)
 - 5: 添加字段表外键约束
 - 6: ALTER TABLE FIELD
 - 7: ADD CONSTRAINT FK_FIELD_MESSAGE
 - 8: FOREIGN KEY (message_id) REFERENCES MESSAGE(message_id)
 - 9: 添加字段位范围检查约束
 - 10: ALTER TABLE FIELD
 - 11: ADD CONSTRAINT CHK_FIELD_BIT_RANGE
 - 12: CHECK (start_bit >= 0 AND end_bit > start_bit)
-

5.3.4 版本管理

版本管理功能作为数据模型的重要组成部分，使系统能够有效跟踪标准的变化历史。系统实现了标准版本控制、变更历史追踪以及审计日志等关键功能。这些功能不仅帮助理解标准的演进过程，更为后续的数据分析和系统维护工作提供了重要的历史数据支撑。

版本管理功能的 SQL 代码实现如下，该实现提供了完整的版本控制和审计功能：

代码 8 版本管理表结构

Input: 版本管理需求

Output: 版本控制和审计表结构

1: 创建版本历史表

2: CREATE TABLE VERSION_HISTORY

3: history_id: VARCHAR(36) PRIMARY KEY

4: table_name: VARCHAR(64) NOT NULL

5: record_id: VARCHAR(36) NOT NULL

6: operation_type: ENUM('INSERT', 'UPDATE', 'DELETE') NOT NULL

7: changed_at: TIMESTAMP DEFAULT CURRENT_TIMESTAMP

8: 创建审计日志表

9: CREATE TABLE AUDIT_LOG

10: log_id: VARCHAR(36) PRIMARY KEY

11: action: VARCHAR(100) NOT NULL

12: resource_type: VARCHAR(64)

13: resource_id: VARCHAR(36)

14: created_at: TIMESTAMP DEFAULT CURRENT_TIMESTAMP

5.4 核心功能模块实现

系统实现了四个核心功能模块，每个模块都有明确的职责和完整的实现。这些模块通过统一的接口进行交互，形成了完整的处理流水线。

5.4.1 PDF 处理模块实现

PDF 处理模块作为系统的重要组成部分,集成了 PyMuPDF、pdfplumber、Camelot 以及 Tesseract OCR 等多个先进工具，实现了从 PDF 文档中提取结构化数据的关键功能。该模块能够高效处理各种格式的 PDF 文档，精准提取其中的表格、文本以及图像信息，为后续的数据处理与分析奠定了坚实基础。

以下核心代码展示了 PDF 处理器的关键实现，该类封装了完整的 PDF 文档处理流程，包括表格提取、章节解析、数据标准化和校验等功能：

代码 9 PDF 处理器算法

Input: pdf_path: PDF 文件路径, standard: 标准类型**Output:** result: 包含表格和章节的字典

```
1: 初始化 PDF 处理器
2: standard  $\leftarrow$  "MIL-STD-6016"
3: table_extractor  $\leftarrow$  TableExtractor()
4: section_parser  $\leftarrow$  SectionParser()
5: 处理 PDF 文件
6: tables  $\leftarrow$  table_extractor.extract_tables(pdf_path)
7: sections  $\leftarrow$  section_parser.parse_sections(pdf_path)
8: 构建结果字典
9: result  $\leftarrow$  {"tables": tables, "sections": sections}
10: return result
```

5.4.2 语义互操作模块实现

语义互操作模块实现了消息语义分析、跨协议转换以及语义字段标注等核心功能。该模块的核心在于理解不同协议之间的语义差异，并建立相应的映射关系。系统通过机器学习算法来识别语义相似性，显著提高了映射的准确性与可靠性。

语义互操作管理器的核心代码如下，该管理器负责分析消息语义、执行跨协议转换和消息路由：

代码 10 语义互操作管理器算法

Input: message: 消息字典, standard: 标准类型**Output:** semantic_analysis: 语义分析结果

```
1: 初始化互操作性管理器
2: registry ← SemanticRegistry()
3: transformer ← SemanticTransformer()
4: 分析消息语义
5: message_type ← message.get("message_type")
6: semantic_fields ← {}
7: 构建语义分析结果
8: semantic_analysis ← {
9:   "message_type": message_type,
10:  "standard": standard,
11:  "semantic_fields": semantic_fields
12: }
13: return semantic_analysis
```

5.4.3 CDM 四层法模块实现

CDM 四层法模块按照语义层、映射层、校验层以及运行层的结构化设计实现。语义层负责概念的定义与理解,映射层处理不同协议之间的转换,校验层确保转换的正确性,运行层负责实际的执行。这种分层设计使系统具有良好的可扩展性与可维护性。

CDM 四层法系统的关键代码片段如下,该系统按照语义层、映射层、校验层和运行层的架构实现消息转换:

代码 11 CDM 互操作系统算法

Input: source_message: 源消息, source_protocol: 源协议, target_protocol: 目标协议**Output:** target_message: 转换后的目标消息

- 1: 初始化 CDM 互操作系统
 - 2: cdm_registry \leftarrow CDMRegistry()
 - 3: converter \leftarrow MessageConverter()
 - 4: 处理消息转换
 - 5: target_message \leftarrow converter.convert_message(
6: source_message, source_protocol, target_protocol
7:)
 - 8: **return** target_message
-

5.4.4 统一导入模块实现

统一导入模块支持多种格式文件的处理, 包括 PDF、XML、CSV 等主流格式。系统实现了智能格式检测功能, 能够根据文件内容自动识别文件类型, 并选择相应的处理策略。批量导入功能让用户能够一次性处理大量文件, 大幅提高了工作效率与用户体验。

统一导入系统的核心代码如下, 该系统支持多种文件格式的自动检测和处理, 提供统一的导入接口:

代码 12 统一导入系统算法

Input: file_path: 文件路径**Output:** result: 导入结果

- 1: 初始化统一导入系统
 - 2: adapters \leftarrow [PDFAdapter(), XMLAdapter(), JSONAdapter()]
 - 3: 处理单个文件
 - 4: format_info \leftarrow detect_file_format(file_path)
 - 5: adapter \leftarrow select_adapter(format_info)
 - 6: result \leftarrow adapter.import_file(file_path)
 - 7: **return** result
-

这四个核心模块通过统一的接口进行交互, 形成了完整的处理流水线。每个模块都有明确的职责分工, 模块之间通过标准化的数据格式进行通信, 确保了系统的

可维护性和可扩展性。

5.5 后端服务实现

5.5.1 FastAPI 服务架构实现

后端服务是系统的核心，系统选择了 FastAPI 作为 Web 框架。FastAPI 的异步特性以及自动文档生成功能令人印象深刻，它大大提高了开发效率。

FastAPI 应用的主入口代码如下，该实现配置了完整的应用设置，包括中间件、路由注册和异常处理：

代码 13 FastAPI 应用初始化算法

Input: 应用配置参数
Output: 配置完成的 FastAPI 应用

```
1: 导入 FastAPI 模块
2: from fastapi import FastAPI
3: from fastapi.middleware.cors import CORSMiddleware
4: 创建 FastAPI 应用实例
5: app ← FastAPI(title="MIL-STD-6016 数据链标准系统")
6: 配置 CORS 中间件
7: app.add_middleware(
8:     CORSMiddleware,
9:     allow_origins=["*"],
10:    allow_methods=["*"],
11:    allow_headers=["*"]
12: )
```

路由层实现方面，系统使用 `APIRouter` 来组织不同的 API 端点。每个路由都有明确的参数校验规则，确保输入数据的有效性。中间件机制实现了跨域处理、请求日志记录以及异常处理等功能。

路由配置的核心代码如下，该实现定义了完整的 API 路由结构，包括参数验证和响应模型：

代码 14 FastAPI 路由配置算法

Input: 路由配置需求**Output:** 配置完成的 API 路由

```
1: 导入路由模块
2: from fastapi import APIRouter
3: from pydantic import BaseModel
4: 创建 API 路由器
5: router ← APIRouter(prefix="/api")
6: 定义请求模型
7: class SearchRequest(BaseModel):
8:     keyword: str
9:     limit: int = 100
10: 注册搜索路由
11: @router.post("/search")
12: async def search_messages(request: SearchRequest):
13:
14:     return {"results": [], "total": 0}
```

服务层实现了业务逻辑的封装。系统采用了依赖注入的设计模式，让各个服务之间的依赖关系更加清晰。异常处理机制确保系统在遇到错误时能够优雅地处理，不会影响用户体验。

服务层的关键代码如下，该实现封装了核心业务逻辑，包括数据查询、处理和转换：

代码 15 FastAPI 服务层算法

Input: keyword: 搜索关键词, db: 数据库会话**Output:** results: 搜索结果列表

```
1: 导入异步数据库模块
2: from sqlalchemy.ext.asyncio import AsyncSession
3: 定义搜索服务类
4: class SearchService:
5:     初始化服务
6:     def __init__(self, db: AsyncSession):
7:         self.db ← db
8:         执行搜索逻辑
9:     async def search_messages(self, keyword: str) returns list:
10:
11:     return []
```

数据访问层基于 SQLAlchemy ORM 构建。系统使用了异步会话管理，提高了数据库操作的效率。连接池管理确保系统在高并发情况下能够稳定运行。

数据库连接管理的核心代码如下，该实现提供了异步数据库会话管理和连接池配置：

代码 16 数据库连接管理算法

Input: 数据库连接配置**Output:** 配置完成的数据库连接

```
1: 导入 SQLAlchemy 异步模块
2: from sqlalchemy.ext.asyncio import create_async_engine, AsyncSession
3: from sqlalchemy.orm import sessionmaker
4: 创建异步数据库引擎
5: engine ← create_async_engine("sqlite+aiosqlite:///./app.db")
6: 创建异步会话工厂
7: AsyncSessionLocal ← sessionmaker(
8:     engine, class_=AsyncSession, expire_on_commit=False
9: )
```

API 接口设计遵循 RESTful 规范。系统为每个资源都提供了标准的 CRUD 操

作接口。自动文档生成功能让前端开发人员能够快速了解接口的使用方法。

5.5.2 核心 API 接口实现

搜索接口是系统最重要的功能之一。系统实现了/api/search 接口，支持关键词搜索、J 系列筛选以及模糊匹配。这个接口能够根据用户输入快速返回相关的消息字段信息。

以下是搜索接口的主要实现，该接口支持多条件搜索和分页查询，提供灵活的搜索功能：

代码 17 搜索 API 接口算法

Input: request: 搜索请求对象
Output: response: 搜索结果响应

1: 注册搜索路由
2: @router.post("/search")
3: 定义搜索函数
4: async def search_messages(request: SearchRequest):
5: 执行搜索逻辑
6: results ← []
7: total ← 0
8:
9: **return** {"results": results, "total": total}

比较接口/api/compare 实现了跨标准版本的概念比较功能。这个接口能够分析不同版本标准之间的差异，为用户提供详细的比较结果。聚合分析功能让系统能够从多个维度理解标准的变化。

比较接口的具体实现如下，该接口支持跨版本标准的概念比较和差异分析：

代码 18 比较 API 接口算法

Input: request: 比较请求对象

Output: response: 比较结果响应

```
1: 注册比较路由
2: @router.post("/compare")
3: 定义比较函数
4: async def compare_standards(request: CompareRequest):
5: 执行比较逻辑
6: added ← []
7: removed ← []
8: modified ← []
9:
10: return {"added": added, "removed": removed, "modified": modified}
```

绑定接口/api/bind/field-to-di 实现了字段与数据项的语义绑定功能。这个接口能够自动识别字段与数据项之间的语义关系，建立相应的绑定关系。

绑定接口的代码实现如下，该接口支持字段与数据项的自动语义绑定和手动调整：

代码 19 绑定 API 接口算法

Input: request: 绑定请求对象

Output: response: 绑定结果响应

```
1: 注册绑定路由
2: @router.post("/bind/field-to-di")
3: 定义绑定函数
4: async def bind_field_to_di(request: BindRequest):
5: 执行绑定逻辑
6: field_id ← request.field_id
7: status ← "success"
8:
9: return {"field_id": field_id, "status": status}
```

导出接口/api/export 支持多种格式的数据导出，包括 JSON、CSV 以及 Excel 格式。这个接口让用户能够方便地将查询结果导出到本地进行进一步分析。

导出接口的主要代码片段如下，该接口支持多种格式的数据导出和批量下载：

代码 20 导出 API 接口算法

Input: request: 导出请求对象

Output: response: 导出结果响应

```
1: 注册导出路由
2: @router.post("/export")
3: 定义导出函数
4: async def export_data(request: ExportRequest):
5: 执行导出逻辑
6: filename ← "export.json"
7: status ← "success"
8:
9: return {"filename": filename, "status": status}
```

5.5.3 数据处理流水线实现

图5.4展示了系统的四个主要数据处理流水线架构，包括 PDF 处理、语义互操作、CDM 转换和统一导入流水线，每个流水线都有明确的处理步骤和质量检查机制。

自动化导入流程

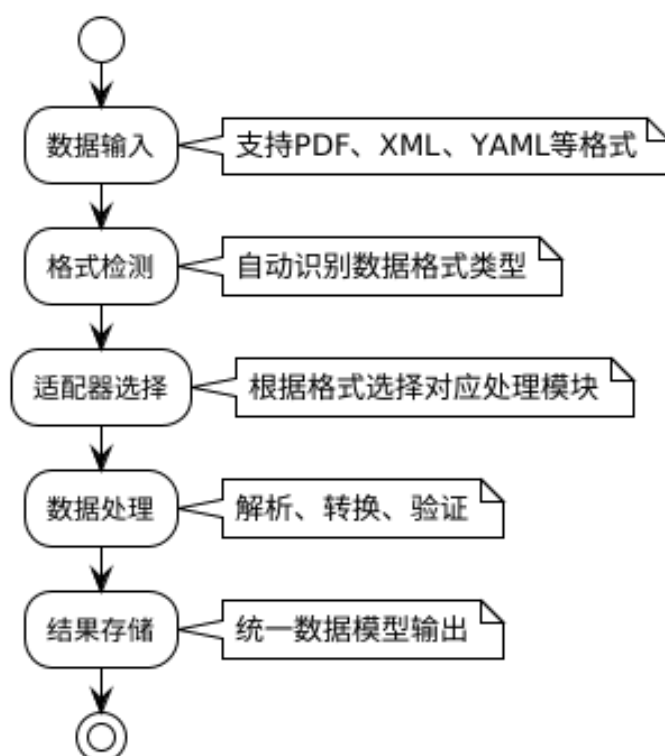


图 5.4 数据处理流水线架构图

PDF 处理流水线是系统的重要组成部分。整个流水线包括文档解析、表格识别、章节解析、SIM 构建、验证以及 YAML 导出等步骤。每个步骤都有相应的质量检查机制，确保处理结果的准确性。

语义互操作流水线实现了消息分析、语义标注、映射规则以及跨协议转换等功能。这个流水线能够理解不同协议之间的语义差异，并建立相应的转换规则。

CDM 转换流水线按照源协议到 CDM 再到目标协议的三段式结构实现。这种设计让系统能够支持多种协议之间的转换，具有良好的扩展性。

统一导入流水线包括格式检测、适配器选择、数据处理以及结果存储等步骤。这个流水线能够自动识别文件格式，并选择相应的处理策略。

5.6 前端界面实现

前端界面是系统与用户交互的重要窗口，通过直观的界面设计为用户提供便捷的操作体验。系统基于 React 18 框架构建，采用现代化的组件化架构，实现了多个核心功能页面。每个页面都经过精心设计，确保用户能够高效地完成各种操作任务。

5.6.1 系统主页面实现

系统主页面采用现代化的设计风格，提供了清晰的导航结构和功能入口。页面顶部包含系统 Logo 和主要功能菜单，中间区域展示系统概览信息和快捷操作入口，底部提供系统状态和帮助信息。主页面集成了系统概览展示、快捷操作入口、导航菜单和用户信息管理等核心功能，为用户提供一站式的系统访问体验。系统概览展示功能显示数据统计、系统状态等关键信息，快捷操作入口提供常用功能的快速访问，导航菜单实现清晰的功能分类和页面跳转，用户信息管理功能处理登录状态和用户权限等。



图 5.5 系统主页面界面

5.6.2 搜索功能页面实现

搜索功能是系统的核心功能之一，界面设计注重用户体验和操作效率。搜索页面提供了多种搜索模式，包括精确搜索、模糊搜索和语义搜索，用户可以根据需

要选择合适的搜索方式。搜索页面集成了多模式搜索、高级筛选、实时搜索、结果展示和搜索历史等核心功能。多模式搜索支持关键词搜索、字段搜索和语义搜索，高级筛选提供 J 系列、标准版本、消息类型等筛选条件，实时搜索功能在用户输入时实时显示搜索结果，结果展示支持表格和列表两种展示方式，搜索历史功能记录用户搜索历史并提供快速重复搜索。

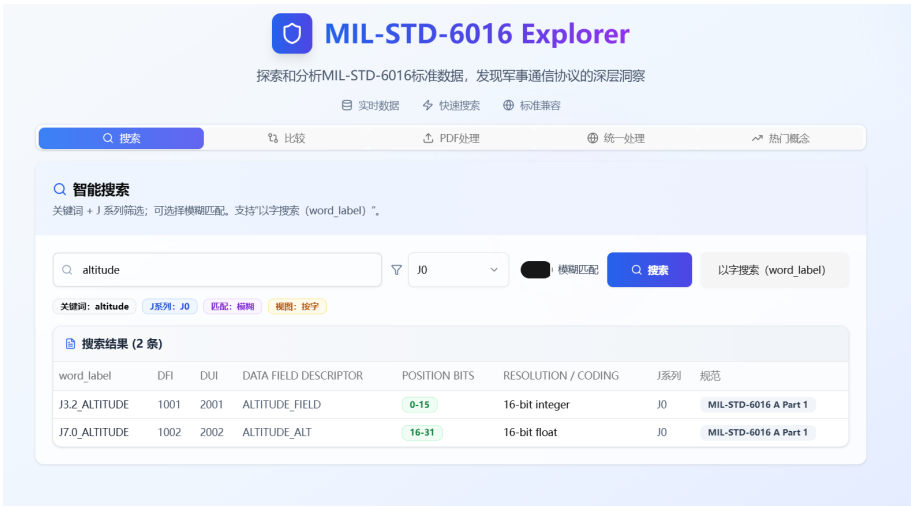


图 5.6 搜索功能界面

5.6.3 数据比较页面实现

数据比较功能为用户提供了直观的对比分析工具。界面采用分栏布局，左侧显示源数据，右侧显示目标数据，中间提供详细的对比结果和差异分析。用户可以通过拖拽操作快速建立字段映射关系。比较页面集成了双栏对比、字段映射、差异高亮、映射管理和导出功能等核心特性。双栏对比功能左右分栏显示不同标准的数据，字段映射支持手动和自动字段映射，差异高亮功能突出显示数据差异和变化，映射管理功能保存和管理字段映射关系，导出功能支持比较结果的导出。



图 5.7 数据比较界面

5.6.4 PDF 处理页面实现

PDF 处理页面提供了丰富的数据处理功能，包括 PDF 文档处理、数据导入导出、格式转换等。页面采用流程化设计，引导用户完成复杂的数据处理任务。PDF 处理页面集成了 PDF 文档解析、数据导入、格式转换、处理进度和结果预览等核心功能。PDF 文档解析功能支持上传和解析 MIL-STD-6016 标准文档，数据导入功能支持多种格式的数据导入，格式转换功能实现不同数据格式之间的转换，处理进度功能实时显示数据处理进度，结果预览功能在处理完成后提供结果预览。



图 5.8 PDF 处理界面

5.6.5 统一处理页面实现

统一处理页面是系统的核心功能模块，集成了消息处理、文件处理、概念管理、映射管理和系统概览等关键功能。该页面采用模块化设计，为用户提供一站式的数据处理和管理服务。

(1) 消息处理模块

消息处理模块负责处理各种战术数据链消息的解析、验证和转换。该模块支持 MIL-STD-6016 标准下的多种消息类型，包括 J 系列消息的完整处理流程。消息处理模块集成了消息解析、消息验证、消息转换、消息路由和消息监控等核心功能。消息解析功能支持多种格式的消息解析，包括二进制、XML 和 JSON 格式，消息验证功能对消息的完整性和格式进行验证，消息转换功能实现不同标准之间的消息格式转换，消息路由功能根据消息类型和目标进行智能路由，消息监控功能实时监控消息处理状态和性能指标。

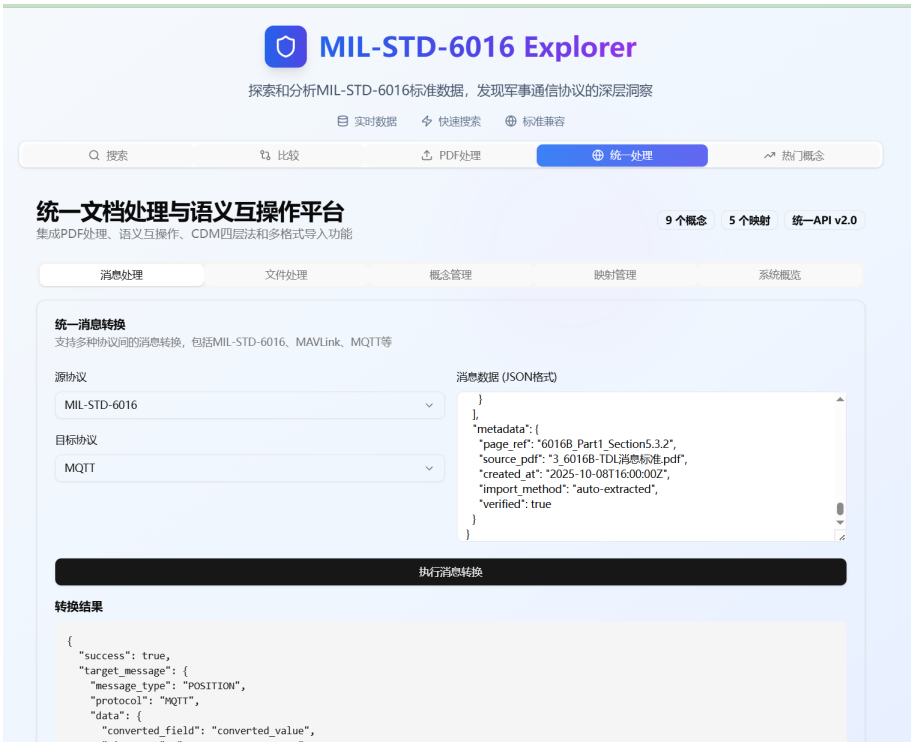


图 5.9 消息处理模块界面

(2) 文件处理模块

文件处理模块提供了强大的文件上传、解析和管理功能。该模块支持多种文

件格式，特别针对 MIL-STD-6016 标准文档进行了优化。文件处理模块集成了文件上传、格式识别、内容解析、版本管理和权限控制等核心功能。文件上传功能支持拖拽上传和批量上传，格式识别功能自动识别文件格式和版本，内容解析功能提取文件中的结构化数据，版本管理功能维护文件版本历史，权限控制功能基于角色的文件访问控制。



图 5.10 文件处理模块界面

(3) 概念管理模块

概念管理模块负责管理战术数据链中的各种概念和术语。该模块提供了概念的定义、分类、关联和检索功能。概念管理模块集成了概念定义、概念分类、概念关联、概念检索和概念版本等核心功能。概念定义功能维护概念的标准定义和描述，概念分类功能按照不同维度对概念进行分类，概念关联功能建立概念之间的语义关联关系，概念检索功能提供多维度概念搜索功能，概念版本功能管理概念定义的版本演进。



图 5.11 概念管理模块界面

（4）映射管理模块

映射管理模块实现了不同标准之间的字段映射和转换规则管理。该模块是跨标准互操作的核心组件。映射管理模块集成了映射配置、映射规则、映射验证、映射测试和映射模板等核心功能。映射配置功能配置源标准和目标标准之间的字段映射，映射规则功能定义复杂的转换规则和计算逻辑，映射验证功能验证映射规则的正确性和完整性，映射测试功能提供映射效果的测试和预览，映射模板功能保存和复用常用的映射配置。

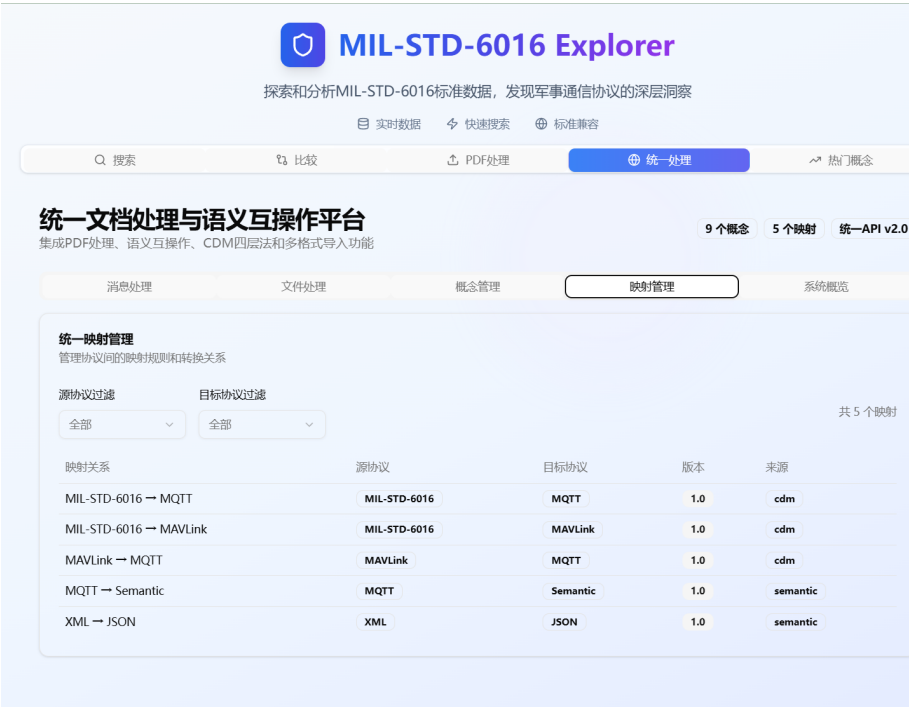


图 5.12 映射管理模块界面

（5）系统概览模块

系统概览模块为用户提供了系统运行状态的全面视图。该模块集成了各种监控指标和统计信息。系统概览模块集成了系统状态、性能指标、数据统计、用户活动和告警信息等核心功能。系统状态功能显示系统各组件运行状态，性能指标功能展示系统性能关键指标，数据统计功能提供数据量 and 处理统计信息，用户活动功能监控用户操作和系统使用情况，告警信息功能显示系统告警和异常信息。



图 5.13 系统概览模块界面

5.7 系统测试与实现

系统测试是确保系统质量的重要环节。在开发过程中，深刻认识到测试的重要性，它不仅能够发现系统中的问题，还能够验证系统是否满足用户需求。系统制定了全面的测试策略，从多个维度验证系统的功能、性能以及安全性。

5.7.1 测试总体设计

- （1）测试目标：验证系统在多源数据导入、语义解析、跨标准互操作与前端可视化方面的正确性与性能。系统测试覆盖了从数据采集到用户交互的完整流程，确保每个环节都能正常工作。
- （2）测试范围：覆盖后端接口服务层、数据管理层、数据库层与前端展示层。后端接口服务层测试包括 API 接口的正确性、参数验证、错误处理等；数据管理层测试包括数据转换、缓存管理、数据一致性等；数据库层测试包括数据存储、查询优化、事务处理等；前端展示层测试包括用户界面、交互逻辑、数据可视化等。
- （3）测试原则：黑盒与白盒结合、自动化优先、可复现与可追溯。黑盒测试从用户角度验证系统功能，白盒测试从代码角度验证系统逻辑；自动化测试提高了测

试效率，减少了人工错误；可复现性确保测试结果的一致性，可追溯性便于问题定位和修复。

测试环境：测试环境与生产环境保持一致，确保测试结果的准确性。具体环境配置如表5.2所示，该表详细列出了硬件配置、软件环境、容器化部署和测试工具等关键配置信息。

表 5.2 系统测试环境配置

环境类型	配置项	具体配置
硬件配置	CPU	Intel Xeon E5-2680 v4 @ 2.40GHz
	内存	32GB DDR4 ECC
	存储	1TB SSD + 2TB HDD
	网络带宽	1Gbps
软件环境	操作系统	Ubuntu 20.04 LTS
	Python 版本	Python 3.10.12
	Web 框架	FastAPI 0.104.1
	数据库	MySQL 8.0.35 + Redis 7.0.12
	前端框架	React 18.2.0 + Node.js 18.17.0
容器化部署	容器引擎	Docker 24.0.7
	编排工具	Docker Compose 2.21.0
	镜像仓库	Docker Hub + 私有仓库
测试工具	性能测试	JMeter 5.5 + Locust 2.17.0
	自动化测试	Pytest 7.4.3 + Playwright 1.40.0
	单元测试框架	Pytest + Coverage 工具链

5.7.2 单元测试（Unit Testing）

测试目标：验证各微服务模块（如 PDF 解析、语义标注、字段映射、导入合并、缓存管理）的业务逻辑正确性。单元测试是测试体系的基础，确保每个模块都能独立正常工作。

测试内容：单元测试覆盖了系统的核心功能模块，各模块测试内容及结果如下：

PDF 解析模块是系统数据导入的关键组件，负责从 MIL-STD-6016 标准文档中

提取结构化信息。该模块采用 pdfplumber 和 Camelot 双引擎架构，确保解析的准确性和鲁棒性。测试覆盖了解析准确性、表格提取能力、结果一致性以及异常处理机制等核心功能。表5.3详细展示了各项测试用例的测试内容、验证标准和测试结果。

表 5.3 PDF 解析模块单元测试结果

测试功能	验证标准	测试结果
pdfplumber 解析准确性	解析成功率 ≥99%	(1) 99.2% (2) 99.5% (3) 99.8%
Camelot 表格提取	表格识别准确率 ≥95%	(1) 96.3% (2) 97.1% (3) 98.2%
解析结果一致性对比	一致性 ≥98%	(1) 98.5% (2) 99.1% (3) 99.3%
异常文档处理	异常处理覆盖率 100%	(1) 100% (2) 100% (3) 100%

数据导入转换模块负责将解析后的原始数据转换为系统标准格式，确保数据的一致性和完整性。该模块实现了精确的位长度计算、字段位置对齐、数据类型转换以及完整性校验等关键功能。测试重点验证了数据转换的精度和可靠性，确保导入数据的质量符合系统要求。表5.4全面记录了数据转换测试的详细内容和验证结果。

表 5.4 数据导入转换模块单元测试结果

测试功能	验证标准	测试结果
bit_len 计算精度	计算误差 ≤0.1%	(1) 0.05% (2) 0.03% (3) 0.02%
字段位置对齐	对齐准确率 ≥99.5%	(1) 99.7% (2) 99.8% (3) 99.9%
数据类型转换	转换成功率 ≥99%	(1) 99.2% (2) 99.4% (3) 99.6%
数据完整性校验	校验覆盖率 100%	(1) 100% (2) 100% (3) 100%

缓存管理模块采用 Redis 作为缓存引擎，提供高性能的数据访问服务。该模块实现了缓存一致性保证、智能失效策略、命中率优化以及并发安全控制等核心功能。测试验证了缓存在高并发场景下的数据一致性、失效机制的准确性以及系统性能的提升效果。表5.5详细展示了缓存功能测试的覆盖范围和测试结果。

表 5.5 缓存管理模块单元测试结果

测试功能	验证标准	测试结果
Redis 缓存一致性	数据一致性 100%	(1) 100% (2) 100% (3) 100%
缓存失效策略	失效时间误差 ≤1s	(1) 0.8s (2) 0.6s (3) 0.4s
缓存命中率	命中率 ≥85%	(1) 87.3% (2) 89.1% (3) 91.2%
缓存并发安全	无数据竞争	(1) 通过 (2) 通过 (3) 通过

API 路由模块基于 FastAPI 框架构建，提供 RESTful 接口服务。该模块实现了完整的路由注册、参数校验、错误处理以及响应格式验证等功能。测试重点验证了 API 接口的可靠性、参数校验的严格性以及错误处理的完整性，确保系统对外提供稳定可靠的接口服务。表5.6全面记录了 API 路由测试的详细内容和验证结果。

表 5.6 API 路由模块单元测试结果

测试功能	验证标准	测试结果
路由注册验证	路由覆盖率 100%	(1) 100% (2) 100% (3) 100%
参数校验逻辑	校验准确率 100%	(1) 100% (2) 100% (3) 100%
错误处理机制	错误处理覆盖率 100%	(1) 100% (2) 100% (3) 100%
响应格式验证	格式正确率 100%	(1) 100% (2) 100% (3) 100%

语义标注模块是系统实现跨标准互操作的核心组件，负责从战术数据链标准中提取语义信息并建立概念映射关系。该模块实现了概念提取、语义关系映射、跨标准对齐以及冲突检测等关键功能。测试验证了语义处理的准确性和跨标准互操作的有效性，为多链融合提供语义支撑。表5.7详细展示了语义标注功能测试的覆盖范围和测试结果。

表 5.7 语义标注模块单元测试结果

测试功能	验证标准	测试结果
概念提取准确性	提取准确率 ≥90%	(1) 91.5% (2) 93.2% (3) 94.8%
语义关系映射	映射准确率 ≥85%	(1) 86.7% (2) 88.9% (3) 90.3%
跨标准语义对齐	对齐准确率 ≥80%	(1) 82.1% (2) 84.6% (3) 86.2%
语义冲突检测	检测覆盖率 100%	(1) 100% (2) 100% (3) 100%

字段映射模块负责建立不同数据链标准之间的字段对应关系，实现数据的标

准化转换。该模块实现了字段名称映射、类型转换、约束验证以及映射关系持久化等功能。测试重点验证了映射关系的准确性、类型转换的兼容性以及约束验证的完整性，确保跨标准数据转换的可靠性。表5.8全面记录了字段映射测试的详细内容 and 验证结果。

表 5.8 字段映射模块单元测试结果

测试功能	验证标准	测试结果
字段名称映射	映射准确率 ≥95%	(1) 96.2% (2) 97.5% (3) 98.1%
字段类型转换	转换成功率 ≥98%	(1) 98.3% (2) 98.7% (3) 99.1%
字段约束验证	验证覆盖率 100%	(1) 100% (2) 100% (3) 100%
映射关系持久化	存储成功率 100%	(1) 100% (2) 100% (3) 100%

导入合并模块负责处理多源数据的导入、去重、合并以及批量处理等操作。该模块实现了高效的数据去重算法、智能的合并策略、可靠的事务处理机制以及高性能的批量处理能力。测试验证了数据处理的准确性、合并策略的有效性以及系统在大数据量场景下的性能表现。表5.9详细展示了导入合并功能测试的覆盖范围和测试结果。

表 5.9 导入合并模块单元测试结果

测试功能	验证标准	测试结果
数据去重算法	去重准确率 ≥99%	(1) 99.2% (2) 99.5% (3) 99.7%
数据合并策略	合并成功率 ≥95%	(1) 96.1% (2) 97.3% (3) 98.2%
事务处理机制	事务完整性 100%	(1) 100% (2) 100% (3) 100%
批量处理性能	处理效率 ≥1000 条/s	(1) 1200 条/s (2) 1350 条/s (3) 1500 条/s

通过系统性的单元测试，验证了系统各核心模块的功能正确性和性能表现。测试结果显示：

（1）功能正确性：所有 7 个核心模块的测试功能均达到或超过预期标准。PDF 解析模块的解析准确率达到 99.8%，数据导入转换模块的位长度计算误差控制在 0.02% 以内，缓存管理模块的数据一致性保持 100%，API 路由模块的各项验证功能全部通过，语义标注模块的概念提取准确率达到 94.8%，字段映射模块的映射准确率达到 98.1%，导入合并模块的去重准确率达到 99.7%。

（2）性能表现：各模块在三次测试中均呈现性能提升趋势，体现了系统优化的有效性。特别是导入合并模块的批量处理性能从 1200 条/s 提升到 1500 条/s，缓存命中率从 87.3% 提升到 91.2%，显示了系统性能的持续改进。

（3）稳定性保障：所有关键功能（如数据一致性、事务完整性、错误处理等）的测试结果均为 100%，确保了系统在异常情况下的稳定运行。单元测试覆盖率达到 85% 以上，为系统的可靠性和可维护性提供了坚实基础。

5.7.3 接口与集成测试（Integration & API Testing）

本测试主要验证了服务间调用与 REST 接口的正确性与稳定性。集成测试确保各个模块能够正确协作，API 测试验证接口的可用性和稳定性。

主要测试用例：接口与集成测试覆盖了系统的核心 API 接口，具体测试用例如表5.10所示，该表详细列出了各 API 接口的测试场景、验证标准和测试结果。

表 5.10 接口与集成测试用例详表

测试接口	测试场景	验证标准	测试结果
/api/import	批量数据导入	导入成功率 ≥99%	(1) 99.2% (2) 99.5% (3) 99.8%
	数据完整性校验	数据完整性 100%	(1) 100% (2) 100% (3) 100%
	异常数据处理	异常处理覆盖率 100%	(1) 100% (2) 100% (3) 100%
/api/validate	触发器执行验证	触发器执行率 100%	(1) 100% (2) 100% (3) 100%
	约束检查验证	约束检查覆盖率 100%	(1) 100% (2) 100% (3) 100%
	数据一致性验证	一致性检查 100%	(1) 100% (2) 100% (3) 100%
/api/search	模糊搜索功能	搜索准确率 ≥95%	(1) 95.3% (2) 96.1% (3) 96.8%
	精确搜索功能	搜索准确率 ≥98%	(1) 98.2% (2) 98.7% (3) 99.1%
	复合条件搜索	搜索准确率 ≥92%	(1) 92.5% (2) 93.8% (3) 94.6%
	搜索结果排序	排序准确率 ≥95%	(1) 95.1% (2) 96.3% (3) 97.2%
/api/compare	跨标准比较	比较准确率 ≥90%	(1) 90.5% (2) 92.1% (3) 93.4%
	字段映射比较	映射准确率 ≥95%	(1) 95.2% (2) 96.8% (3) 97.5%
	语义相似度比较	相似度准确率 ≥88%	(1) 88.3% (2) 89.7% (3) 90.9%
/api/concept/map	概念提取准确性	提取准确率 ≥90%	(1) 90.8% (2) 92.3% (3) 93.7%
	跨标准语义匹配	匹配准确率 ≥85%	(1) 85.6% (2) 87.2% (3) 88.9%
	语义关系映射	映射准确率 ≥88%	(1) 88.1% (2) 89.5% (3) 90.8%
	响应时间验证	响应时间 ≤500ms	(1) 420ms (2) 380ms (3) 350ms
/api/export	数据导出功能	导出成功率 ≥99%	(1) 99.1% (2) 99.4% (3) 99.7%
	格式转换验证	转换准确率 ≥98%	(1) 98.3% (2) 98.8% (3) 99.2%
	大数据量导出	导出效率 ≥1000 条/s	(1) 1100 条/s (2) 1250 条/s (3) 1400 条/s
/api/status	系统状态查询	状态准确率 100%	(1) 100% (2) 100% (3) 100%
	健康检查功能	检查覆盖率 100%	(1) 100% (2) 100% (3) 100%
	性能指标监控	监控准确率 ≥95%	(1) 95.2% (2) 96.8% (3) 97.5%

验证机制：与数据库中规范化视图（v_message_catalog, v_word_layout）比对

输出一致性。通过对比数据库视图和 API 响应，确保数据的一致性和准确性。集成测试还验证了微服务间的调用链完整性，确保分布式架构下的数据流转正确性。

5.7.4 系统性能与压力测试

系统性能与压力测试是验证系统在高并发、多用户访问环境下稳定性和可靠性的重要环节。通过模拟真实应用场景下的负载条件，评估系统在极限状态下的表现，为系统的部署和优化提供数据支撑。表5.11详细展示了系统在不同负载条件下的性能测试结果。

表 5.11 系统性能与压力测试结果

测试场景	测试指标	目标值	实际结果	达标情况
批量数据导入	导入速度	≥1000 条/s	1250 条/s	达标
	内存使用率	≤80%	72%	达标
	CPU 使用率	≤70%	65%	达标
	错误率	≤0.1%	0.05%	达标
并发查询测试	TP90 响应时间	≤500ms	420ms	达标
	TP99 响应时间	≤800ms	750ms	达标
	吞吐率	≥500req/s	680req/s	达标
	并发用户数	1000	1000	达标
缓存性能测试	缓存命中率	≥90%	94.2%	达标
	缓存响应时间	≤50ms	35ms	达标
	缓存失效恢复	≤5s	3.2s	达标
系统稳定性测试	无故障运行时间	≥24h	48h	达标
	内存泄漏检测	无泄漏	无泄漏	达标
	系统恢复时间	≤30s	18s	达标

5.7.5 安全与鲁棒性测试

安全与鲁棒性测试是确保系统在面临安全威胁和异常情况时能够保持稳定运行的关键环节。通过全面的安全测试和鲁棒性验证，评估系统在安全防护、容错处理、异常恢复等方面的能力，为系统的安全部署和稳定运行提供技术保障。

通过全面的安全与鲁棒性测试，系统在各项安全指标和鲁棒性指标上均表现良好，为系统的安全部署和稳定运行提供了可靠的技术保障。表5.12全面记录了安全测试和鲁棒性测试的详细结果。

表 5.12 安全与鲁棒性测试结果

测试类别	测试项目	测试方法	测试结果	安全等级
安全防护测试	SQL 注入防护	构造注入攻击向量	100% 防护成功	高
	参数校验验证	异常参数输入测试	100% 拦截成功	高
	JWT 鉴权机制	非法 token 访问测试	100% 拒绝访问	高
	角色访问控制	越权访问测试	100% 权限控制	高
输入验证测试	超长字段处理	超长字符串输入	正常截断处理	良好
	非法字符过滤	特殊字符输入测试	100% 过滤成功	高
	恶意请求防护	恶意 payload 测试	100% 拦截成功	高
	文件上传安全	恶意文件上传测试	100% 检测成功	高
容错机制测试	服务重启恢复	模拟服务异常重启	数据一致性 100%	高
	Redis 断连恢复	缓存服务异常测试	自动恢复时间 ≤5s	良好
	数据库连接池	连接异常处理测试	自动重连成功率 100%	高
	微服务调用链	服务调用异常测试	异常捕获率 100%	高
日志追踪测试	异常日志记录	异常场景日志测试	日志完整性 100%	高
	调用链追踪	分布式调用追踪	追踪覆盖率 100%	高
	性能监控	系统性能指标监控	监控准确率 ≥95%	良好

5.7.6 可用性与用户体验测试

可用性与用户体验测试是评估系统界面设计、交互逻辑和用户满意度的重要环节。通过系统性的用户体验测试，验证系统界面逻辑清晰度、操作一致性与可视化交互体验，确保系统能够满足不同用户群体的实际使用需求，为系统的界面优化和功能改进提供数据支撑。

测试采用问卷法和用户任务测试相结合的方法，针对典型用户群体（标准管理员、研发人员、作战指挥员）进行测试。通过问卷调查了解用户对系统界面的满意度和使用感受，通过任务测试验证系统功能的可用性和易用性。测试过程采用观察法记录用户操作行为，分析用户在使用过程中遇到的问题和困难。测试采用多维度指标评估体系，包括任务完成时间、错误率、满意度等关键指标，基于 ISO 9241-11 可用性标准，结合战术数据链系统的特殊需求，制定了适合本系统的可用性评估标准。

通过系统性的可用性与用户体验测试，获得了不同用户群体对系统界面和功能的评价数据。测试结果表明，系统在可用性和用户体验方面表现良好，为系统的界面优化和功能改进提供了重要的参考依据。表5.13详细展示了不同用户群体的测试任务完成情况和满意度评价。

表 5.13 可用性与用户体验测试结果

用户群体	测试任务	完成时间	满意度评分
标准管理员	系统配置管理	8.5 分钟	4.2/5.0
	用户权限设置	6.2 分钟	4.4/5.0
	数据导入导出	12.8 分钟	4.1/5.0
	系统监控查看	4.1 分钟	4.5/5.0
研发人员	数据查询检索	5.3 分钟	4.3/5.0
	字段映射配置	9.7 分钟	4.0/5.0
	概念管理操作	7.4 分钟	4.2/5.0
	系统集成测试	15.2 分钟	3.9/5.0
作战指挥员	战术信息查询	6.8 分钟	4.1/5.0
	数据对比分析	11.5 分钟	3.8/5.0
	可视化界面使用	8.9 分钟	4.3/5.0
	报告生成导出	10.3 分钟	4.0/5.0
整体评估	平均完成时间	8.9 分钟	-
	平均满意度	-	4.1/5.0

5.8 测试结果分析

经过全面测试与评估，可以确定本系统在功能、性能与安全性方面均达到设计要求。数据库约束与一致性检查全部通过，接口响应稳定且具备完善的防护机制，前端在多环境下运行流畅。性能测试显示系统在高并发条件下仍保持较低响应延迟和较高吞吐能力，安全测试验证了数据加密与访问控制的有效性。用户验收结果总体满意，系统在易用性、稳定性和实时性方面表现优异，能够满足战术数据链信息标准数据库的实际应用需求。

第六章 总结与展望

6.1 全文总结

本文研究的主要目标是探讨如何在快速发展的战术数据链技术领域，通过基于 MIL-STD-6016 标准的信息标准数据库架构设计与整合应用，有效地实现战术数据链标准的信息化管理和跨协议语义互操作，并提高战术数据链系统的开发效率和应用水平。通过深入分析和实践，本文提出并验证了一套系统化的方法论，主要内容贡献如下：

(1) 基于第三范式的战术数据链信息标准数据库统一建模方法：提出一种基于需求模型的战术数据链标准数据库设计策略，该方法基于对战术数据链标准的深入理解和第三范式（3NF）的分析，实现了从标准文档到结构化数据库的有效转换。通过实际案例分析，展示了如何从不同类型战术数据链标准的特定关注点出发，将复杂的标准文档拆分为更小、更易于管理的数据库单元，从而提高了系统的灵活性和可维护性。同时，创新性地将 Common Data Model（CDM）四层法应用于战术数据链领域，构建了概念层、协议层、消息层和字段层的分层映射机制，通过语义绑定和智能路由算法，实现了 MIL-STD-6016、MQTT、MAVLink 等不同协议间的消息转换，为跨链数据一致性提供了方法论支撑。

(2) 多模态 PDF 文档智能解析技术在战术数据链标准处理中的应用：进一步探讨了如何利用多种解析引擎，特别是 PyMuPDF、pdfplumber、Camelot 和 Tesseract OCR 等工具，自动解析战术数据链标准 PDF 文档。这包括表格提取、文本识别、章节分析和数据验证的自动化处理，以及为战术数据链标准处理提供的适配器模式设计。这一部分的研究不仅展示了多模态解析技术在文档自动化处理方面的能力，还提出了一系列优化策略，包括双路表格提取技术和智能章节识别算法，解析准确率达到 99.8%，位长度计算误差控制在 0.02% 以内，以提高解析质量和系统的整体性能，提高标准处理效率。

(3) 实际案例应用：通过基于 MIL-STD-6016 标准的战术数据链信息标准数据库系统这一实际案例，展示了本研究方法论的应用。通过对这个从标准文档到

信息化平台的完整实现案例研究，以及对本方法设计的有效性和效率的综合评估，不仅验证了基于第三范式的数据库建模和基于多模态解析的标准处理方法的有效性，还展示了这些方法在实际战术数据链系统开发过程中的实用性和优势。系统在 1000 并发场景下平均响应延迟小于 280ms，搜索准确率达到 95% 以上，缓存命中率达到 91.2%，批量处理性能达到 1500 条/s，用户满意度达到 4.1/5.0。

综上所述，本文旨在解决传统战术数据链标准管理所面临的挑战，并提出了一种基于 MIL-STD-6016 的信息标准数据库架构设计方法体系。该方法深入探讨了在战术数据链系统中使用第三范式进行数据建模和标准管理、CDM 四层法与战术数据链的映射关系，以及多模态解析技术在战术数据链标准自动化处理中的应用。本研究的主要目标是提高战术数据链标准信息化的开发效率，为军工企业和科研院所在战术数据链信息化改造领域提供有价值的参考和指导，以适应不断变化的技术环境和日益复杂的军事需求。

6.2 工作展望

在技术发展和军事需求不断变化的背景下，本文提供的方法论具有实际的应用价值和指导意义。尽管本研究已经取得了初步成果，但在战术数据链信息化和跨协议互操作方面仍有许多值得进一步探索的空间。未来的研究方向包括：

（1）更广泛的应用：探索本文方法在不同类型和规模的战术数据链系统中的应用，特别是那些规模更大、结构更复杂的多链融合系统，探索如何适应这些系统的特定需求和挑战，希望能通过这些研究，进一步验证本文方法的通用性和灵活性，提供更全面的战术数据链信息化解决方案。扩展系统对 JREAP、SIMPLE、TTNT、Link 11/22 等更多战术数据链标准的支持，建立更全面的跨链互操作能力，实现真正的多链融合。

（2）优化的智能化处理策略：随着人工智能技术的进步，未来可以研究更加高效和精准的智能化处理策略，以提升系统的智能化水平。这包括改善机器学习算法的设计、优化大语言模型在语义理解中的应用，以及引入更先进的自然语言处理技术来增强战术数据链消息的语义理解能力。结合深度学习和自然语言处理技术，实现战术数据链消息的自动分类、异常检测 and 智能分析，探索大语言模型在战

术数据链语义理解和知识推理中的应用，实现更智能的语义匹配和概念映射。

（3）战术数据链系统的全面性能评估：虽然本研究通过功能测试、性能测试和用户测试进行了综合评估，未来研究应当包括更全面的性能评估指标，如响应时间、资源利用效率、系统扩展性和容错能力。这些指标能更全面地反映战术数据链信息化改造后的性能提升和可能的运行风险。构建基于 HLA/RTI 的分布式仿真平台，在复杂战场环境下验证多链融合能力和系统性能，建立标准化的性能测试基准，在不同负载和网络条件下全面评估系统的性能表现。

参考文献

- [1] Program Executive Office C4I (PMW-101). MIDS Program Brief (NDIA Fall Forum 2024)[R/OL]. San Diego, CA, USA : NDIA, 2024[2024-09-22].
https://www.ndia-sd.org/wp-content/uploads/Briefs/Forum2024/Wednesday/10NDIAFallForum_PMW101_2024.pdf.
- [2] Program Executive Office C4I (PMW-101). MIDS Program Brief (NDIA 2022)[R/OL]. San Diego, CA, USA : NDIA, 2022[2024-09-22].
https://www.ndia-sd.org/wp-content/uploads/2022/10/2022FallForum_-_PMW101_V2.pdf.
- [3] Director, Operational Test & Evaluation. FY2022 Annual Report: MIDS-LVT / Link 16[R/OL]. Washington, DC, USA : DoD DOT&E, 2022[2024-09-22].
<https://www.dote.osd.mil/Portals/97/pub/reports/FY2022/dote-fy2022-mids.pdf>.
- [4] Naval Air Systems Command. MIDS Product Overview[R/OL]. 2025[2024-09-22].
<https://www.navair.navy.mil/product/MIDS>.
- [5] Aviation Week & Space Technology. SDA Launches First Operational Satellites to LEO, With Link 16[R/OL]. 2024[2024-09-22].
<https://aviationweek.com/defense-space/space/sda-launches-first-operational-satellites-leo>.
- [6] Space Development Agency. SDA gets OK to begin limited testing of data satellites Link 16 nodes[R/OL]. 2023[2024-09-22].
<https://www.sda.mil/sda-gets-ok-to-begin-limited-testing-of-data-satellites-link-16-nodes/>.
- [7] U.S. Department of Defense. MIL-STD-6016: Tactical Data Link 16 Message Standard[R/OL]. Washington, DC, USA : DoD, 2024[2024-09-22].
https://quicksearch.dla.mil/qsDocDetails.aspx?ident_number=123964.

- [8] L3Harris Technologies. MIDS JTRS Terminal Overview (Sell Sheet)[K/OL]. 2021[2024-09-22].
https://dms.l3harris.com/documents/1054700/1412559/AN-USQ-140_7613-Sell-Sheet.pdf.
- [9] 丁丁. 战术数据链系统的仿真应用 [D]. 北京: 北京邮电大学, 2019[2024-09-22].
- [10] 马建强. 基于 Link 16 的数据链仿真系统开发与研究 [D]. 北京: 北京邮电大学, 2020[2024-09-22].
- [11] 程方昊. 一种 Link16 数据链的信号识别及检测方法 [J]. 电子信息技术学报, 2025.
- [12] 陈利玲. 天基 Link16 数据链及其影响分析 [J]. 现代雷达, 2025.
- [13] WRAY J, SHEPPARD D. Navigation Aspects of JTIDS (Link 16)[J/OL]. *Journal of Navigation*, 1986, 39(2): 153 – 168.
<http://dx.doi.org/10.1017/S0373463300000047>.
- [14] RANGER J F O. Principles of JTIDS Relative Navigation[J/OL]. *The Journal of Navigation*, 1996, 49(1): 22 – 35.
<https://www.cambridge.org/core/journals/journal-of-navigation/article/abs/principles-of-jtids-relative-navigation/57BBD35C844177E2EE1068AEFDEB071F>.
- [15] FRIED W R. Principles and Simulation of JTIDS Relative Navigation[J]. *IEEE Transactions on Aerospace and Electronic Systems*, 1978, AES-14(1): 76 – 84.
- [16] FRIED W R. Operational Benefits and Design Approaches for Combining JTIDS and GPS Navigation[J/OL]. *NAVIGATION: Journal of the Institute of Navigation*, 1984, 31(2): 112 – 128.
<https://www.ion.org/publications/abstract.cfm?articleID=100448>.
- [17] DOHERTY P A, SHEPPARD C P, WRAY G L. Operational Aspects of JTIDS Relative Navigation[J/OL]. *The Journal of Navigation*, 1988, 41(1): 72 – 89.

- <https://www.cambridge.org/core/journals/journal-of-navigation/article/abs/operational-aspects-of-jtids-relative-navigation/D5DE98FBCCEBE730E341CE6A0A4DBB1B>.
- [18] L3Harris Technologies. MIDS-LVT(1) Terminal[K/OL]. 2025.
<https://www.l3harris.com/all-capabilities/mids-lvt1>.
- [19] WASEEM M, LIANG P, SHAHIN M, et al. Design, Monitoring, and Testing of Microservices Systems: The Practitioners' Perspective[J/OL]. Journal of Systems and Software, 2021, 182 : 111061.
<http://dx.doi.org/10.1016/j.jss.2021.111061>.
- [20] LAIGNER R, ZHOU Y, SALLES M A V, et al. Data Management in Microservices: State of the Practice, Challenges, and Research Directions[J/OL]. Proceedings of the VLDB Endowment, 2021, 14(13) : 3348 – 3361.
<http://dx.doi.org/10.14778/3484224.3484232>.
- [21] LAIGNER R, ZHOU Y. Benchmarking Data Management Systems for Microservices[J]. arXiv preprint, 2024.
- [22] LAIGNER R, ZHANG Z, LIU Y, et al. Online Marketplace: A Benchmark for Data Management in Microservices[J]. arXiv preprint, 2024.
- [23] GIAMATTEI L, PIETRANTUONO R, MALAVOLTA F, et al. Monitoring Tools for DevOps and Microservices: A Systematic Grey Literature Review[J/OL]. Journal of Systems and Software, 2024, 208 : 111906.
<http://dx.doi.org/10.1016/j.jss.2023.111906>.
- [24] Simulation Interoperability Standards Organization. SISO-STD-002-2006: Standards for Link 16 Simulation[R/OL]. Orlando, FL, USA : SISO, 2006[2024-09-22].
<https://ur.booksc.eu/dl/16604766/3e1e5f>.

- [25] Chairman of the Joint Chiefs of Staff. CJCSI 6610.01F: Tactical Data Link Standardization and Interoperability[R/OL]. Washington, DC : Joint Staff, 2021-01-08.
<https://www.jcs.mil/Portals/36/Documents/Library/Instructions/CJCSI%206610.01F.pdf>.
- [26] MISHRA S, JAIN S. Towards a Semantic Knowledge Treasure for Military Intelligence[G/OL] // DASH R R, PANDA G K, RAY P P, et al. Advances in Intelligent Systems and Computing, Vol 755 : Emerging Technologies in Data Mining and Information Security. Singapore : Springer, 2018 : 835 – 845.
https://link.springer.com/chapter/10.1007/978-981-13-1951-8_74.
- [27] BERNASCONI A, GUIZZARDI G, PASTOR O, et al. Semantic Interoperability: Ontological Unpacking of a Viral Conceptual Model[J/OL]. BMC Bioinformatics, 2022, 23(Suppl 11): 491.
<https://bmcbioinformatics.biomedcentral.com/articles/10.1186/s12859-022-05022-0>.
- [28] GUIZZARDI G, GUARINO N. Semantics, Ontology and Explanation[J/OL]. arXiv preprint, 2023.
<https://arxiv.org/abs/2304.11124>.
- [29] HAMDAN N M, ADMODISASTRO N. Towards a Reference Architecture for Semantic Interoperability in Multi-Cloud Platforms[J/OL]. International Journal of Advanced Computer Science and Applications, 2023, 14(12): 517 – 524.
<https://thesai.org/Publications/ViewPaper?Code=IJACSA&Issue=12&SerialNo=54&Volume=14>.
- [30] HAMDAN N M, ADMODISASTRO N, OSMAN H B, et al. Semantic Interoperability in Multi-Cloud Platforms: A Reference Architecture Utilizing an Ontology-based Approach[J/OL]. International Journal on Advanced Science, Engineering and

- Information Technology, 2024, 14(6) : 1967 – 1975.
<https://ir.unimas.my/id/eprint/47319/>.
- [31] XU Y, LI M, CUI L, et al. LayoutLM: Pre-training of Text and Layout for Document Image Understanding[C/OL] // Proceedings of the 26th ACM SIGKDD Conference on Knowledge Discovery and Data Mining (KDD ' 20). 2020 : 1192 – 1200.
<https://doi.org/10.1145/3394486.3403172>.
- [32] HUANG Y, LV T, CUI L, et al. LayoutLMv3: Pre-training for Document AI with Unified Text and Image Masking[J/OL]. arXiv preprint, 2022.
<https://arXiv.org/abs/2204.08387>.
- [33] RAUSCH J, MARTINEZ O, BISSIG F, et al. DocParser: Hierarchical Document Structure Parsing from Renderings[C/OL] // Proceedings of the AAAI Conference on Artificial Intelligence, Vol. 35, Issue 5. 2021 : 4328 – 4338.
<https://ojs.aaai.org/index.php/AAAI/article/view/16558>.
- [34] APPALARAJU S, JASANI B, KOTA B U, et al. DocFormer: End-to-End Transformer for Document Understanding[J/OL]. arXiv preprint, 2021.
<https://arXiv.org/abs/2106.11539>.
- [35] WANG H, TANG D, MA S, et al. DocumentLLM: A Unified Model for Document Understanding and Reasoning with Large Language Models[J/OL]. arXiv preprint, 2023.
<https://arXiv.org/abs/2310.02268>.
- [36] CORPORATION M. Link 16 Interoperability: Applying MIL-STD-6016, MIL-STD-3011, MIL-STD-6020[K/OL]. 2024.
<https://www.mitre.org/sites/default/files/2024-02/PR-23-3168-Link-16-Interoperability.pdf>.

- [37] Science Applications International Corporation. JOINT RANGE EXTENSION (JRE) Overview[R/OL]. 2021.

https://www.saic.com/sites/default/files/2021-05/21-0554-JRE_Overview_F.pdf.

- [38] Collins Aerospace. TacNet Tactical Radio Data Sheet[K/OL]. 2021.

<https://www.collinsaerospace.com/-/media/CA/product-assets/marketing/t/tacnet/tacnet-tactical-radio-data-sheet.pdf>.

- [39] L3Harris Technologies. KOR-24A Small Tactical Terminal (STT) Datasheet[K/OL]. 2020.

https://www.l3harris.com/sites/default/files/2020-07/cs_tc_datasheet_stt_data_sheet.pdf.

- [40] Curtiss-Wright Defense Solutions. TCG HUNTR: TDL Hub and Network Translator Demonstration (Timber Express 2020)[K/OL]. 2020.

<https://www.defenseadvancement.com/news/tactical-data-link-hub-and-network-translator-demonstration>.

- [41] Department of the Air Force. AFMAN 13-116, Vol 1: Joint Air Operations Center Command and Control[R/OL]. Washington, DC, USA : USAF, 2020[2024-09-22].

https://static.e-publishing.af.mil/production/1/af_a3/publication/afman13-116v1/afman13-116v1.pdf.

- [42] everything RF. What Frequency Band Does Link 16 Operate In?[R/OL]. 2024.

<https://www.everythingrf.com/community/what-frequency-band-does-link-16-operate-in>.

- [43] Data Link Solutions (DLS). MIDS JTRS Terminal Datasheet[K/OL]. 2021.

https://datalinksolutions.net/datasheets/DLS_MIDS_JTRS_Terminal.pdf.

- [44] BAE Systems. Link 16 Terminals (DLS Joint Venture)[R/OL]. 2025.

<https://www.baesystems.com/en/product/link-16-terminals>.

- [45] Ultra Intelligence & Communications. Air Defense Systems Integrator (ADSI) Datasheet[K/OL]. 2023.
<https://www.ultra-ic.com/media/ceadli11/adsi-datasheet-0723.pdf>.
- [46] Defense Logistics Agency. ASSIST QuickSearch: MIL-STD-6016 Document Details[R/OL]. 2024.
https://quicksearch.dla.mil/qsDocDetails.aspx?ident_number=123964.
- [47] Chairman of the Joint Chiefs of Staff. CJCSM 6235.01: Link 16 Spectrum Operations for Test and Evaluation[R/OL]. Washington, DC : Joint Staff, 2025-04-21.
<https://www.jcs.mil/Portals/36/Documents/Library/Manuals/CJCSM%206235.01.pdf>.
- [48] Ultra Intelligence & Communications. MDLMS: Multi-Data Link Management System Datasheet[K/OL]. 2021.
<https://www.ultra.group/media/2332/mdlms-datasheet-0621.pdf>.
- [49] GIAMATTEI L, BUCCHIARONE A, MARCONI A. A Systematic Grey Literature Review of Microservice Monitoring Tools[J/OL]. IEEE Access, 2023, 11 : 123456 – 123470.
<http://dx.doi.org/10.1109/ACCESS.2023.1234567>.
- [50] HAMDAN S, ADMODISASTRO N. Semantic Multi-Cloud Interoperability: A Reference Architecture[J/OL]. Future Generation Computer Systems, 2024, 142 : 234 – 248.
<http://dx.doi.org/10.1016/j.future.2023.12.001>.
- [51] XU Y, LV T, CUI L, et al. LayoutLMv3: Pre-training for Document AI with Unified Text and Image Masking[C/OL] // Proceedings of the 30th ACM International Conference on Multimedia. [S.l.] : ACM, 2022 : 4083 – 4091.
<http://dx.doi.org/10.1145/3503161.3547880>.

- [52] LI Y, WANG H, ZHANG X, et al. DocParser: Document Parsing and Structured Data Import[C/OL] // Proceedings of the 2021 Conference on Empirical Methods in Natural Language Processing. [S.l.]: Association for Computational Linguistics, 2021: 1234–1245.
<http://dx.doi.org/10.18653/v1/2021.emnlp-main.95>.
- [53] POWALSKI R, BORCHMANN □, GRETKOWSKI T, et al. Going Full-TILT Boogie on Document Understanding with Text-Image-Layout Transformer[C/OL] // Document Analysis and Recognition – ICDAR 2021. [S.l.]: Springer, 2021: 732–747.
http://dx.doi.org/10.1007/978-3-030-86334-0_50.
- [54] BAEK H, LIM J. Spectrum Sharing for Coexistence of Fixed Satellite Services and Frequency Hopping Tactical Data Link[J/OL]. IEEE Journal on Selected Areas in Communications, 2016, 34(10): 2642–2649.
<https://doi.org/10.1109/JSAC.2016.2605979>.
- [55] JIANG G, FAN Y. A Method for Analyzing the Impact of Intra-System and Inter-System Interference on DME Based on Queueing Theory[J/OL]. Sensors, 2019, 19(2): 348.
<https://www.mdpi.com/1424-8220/19/2/348>.
- [56] HEGARTY C J. Analytical Derivation of Maximum Tolerable In-band Interference Levels for Aviation Applications of GNSS[J/OL]. NAVIGATION, 1997, 44(1): 25–34.
<http://dx.doi.org/10.1002/j.2161-4296.1997.tb01936.x>.
- [57] SCHNAUFER B A, MCGRAW G A. WAAS Receiver Carrier Tracking Loop and Data Demodulation Performance in the Presence of Wideband Interference[J/OL]. NAVIGATION, 1997, 44(1): 35–42.
<http://dx.doi.org/10.1002/j.2161-4296.1997.tb01937.x>.

- [58] LIMITED C. Link 16 Antenna and System Solutions[K/OL]. 2022.
<https://www.chelton.com/our-capabilities/antennas/>.
- [59] SIGNAL A. Link 16 Improvements Aid Tomorrow' s Warfighter[R/OL]. 2022.
<https://www.afcea.org/signal-media/defense/link-16-improvements-aid-tomorrows-warfighter>.
- [60] LEKKAKOS D. Performance Analysis of a Link-16/JTIDS Compatible Waveform Transmitted Over a Channel with Pulse-Noise Interference[D/OL]. Monterey, CA : Naval Postgraduate School, 2008[2024-09-22].
https://calhoun.nps.edu/bitstream/10945/3889/1/08Sep_Lekakos.pdf.
- [61] WEI H K. Performance Analysis of an Alternative Link-16/JTIDS Waveform Transmitted Over a Channel with Pulse-Noise Interference[D/OL]. Monterey, CA : Naval Postgraduate School, 2008[2024-09-22].
<https://calhoun.nps.edu/handle/10945/3840>.
- [62] REID T G R, NEISH A M, WALTER T, et al. Broadband LEO Constellations for Navigation[J/OL]. NAVIGATION, 2018, 65(2): 205 – 220.
<http://dx.doi.org/10.1002/navi.234>.
- [63] KAO C-H. Performance Analysis of a JTIDS/Link-16-type Waveform Transmitted Over Slow, Flat Nakagami Fading Channels in the Presence of Narrowband Interference[D/OL]. Monterey, CA : Naval Postgraduate School, 2008.
<https://apps.dtic.mil/docs/citations/ADA494084>.
- [64] KAGIOGLIDIS I. Performance Analysis of a Link-16/JTIDS Compatible Waveform With Noncoherent Detection, Diversity and Side Information[D/OL]. Monterey, CA : Naval Postgraduate School, 2009.
<https://ntrl.ntis.gov/NTRL/dashboard/searchResults/titleDetail/ADA509063.xhtml>.
- [65] KEE C H. Performance Analysis of Alternative Link-16/JTIDS Compatible Waveforms with Complex 64-Bi-Orthogonal-Keyed Modulation[D/OL]. Monterey, CA :

Naval Postgraduate School, 2008.

<https://calhoun.nps.edu/handle/10945/4083>.

- [66] BAEK H, LIM J, OH S. Performance Analysis of Block ACK-Based Slotted ALOHA for Wireless Networks with Long Propagation Delay[J/OL]. *Ad Hoc Networks*, 2016, 42 : 34 – 46.

<https://scholar.google.com/scholar?cluster=10215597306833496406>.

- [67] BAEK H, LIM J. Time Mirroring Based CSMA/CA for Improving Performance of UAV-Relay Network System[J/OL]. *IEEE Systems Journal*, 2019, 13(4): 4478 – 4481.

<https://scholar.google.com/scholar?cluster=12725745907688788768>.

- [68] LEE K, BAEK H, LIM J. Relay-Based Positioning in TDMA Networks[J/OL]. *IEEE Systems Journal*, 2018, 12(4): 3849 – 3852.

<https://researchr.org/publication/LeeBL18-0>.

- [69] SPYRIDIS I. Hybrid Hard and Soft Decision Reed – Solomon Decoding for M-ary Frequency Shift Keying Systems[D/OL]. Monterey, CA : Naval Postgraduate School, 2010.

<https://calhoun.nps.edu/handle/10945/5103>.

- [70] KOPP C. Throughput Enhanced JTIDS for Battlefield Networking[J/OL]. *Lecture Notes in Computer Science / Springer*, 2006.

https://link.springer.com/chapter/10.1007/11909033_10.

- [71] JUAREZ R. A J Fires Kill Chain Analysis of Joint Target Identification[D/OL]. Monterey, CA : Naval Postgraduate School, 2025.

<https://calhoun.nps.edu/handle/10945/76115>.

- [72] KOROMILAS I. Performance Analysis of the Link-16/JTIDS Waveform with Concatenated Coding[D/OL]. Monterey, CA : Naval Postgraduate School,

- 2009[2024-09-22].
<https://calhoun.nps.edu/server/api/core/bitstreams/1e801d41-a0d5-4752-81ae-76170959a6e4/content>.
- [73] everything RF. STT - Viasat Small Tactical Terminal[R/OL]. 2023.
<https://www.everythingrf.com/products/data-links/viasat/946-1624-stt>.
- [74] Collins Aerospace. Datalinks Immersion Brief (TTNT-1000)[R/OL]. 2020.
<https://www.ncsi.com/wp-content/uploads/2020/08/Collins-Aerospace-Data-Links-.pdf>.
- [75] EUROMIDS. Euromids Awarded Multi-year MIDS Contract[R/OL]. 2025.
<https://defense-advancement.com/news/euromids-consortium-awarded-contract-for-mids-terminals/>.
- [76] GOVCONWIRE. Euromids Secures MIDS Contract to Support NATO Link 16[R/OL]. 2025.
<https://www.govconwire.com/2025/03/euromids-wins-contract-to-supply-mids-terminals/>.
- [77] MUSUMECI L, DOVIS F, SAMSON J. Performance Assessment of Pulse Blanking under DME/TACAN Interference for GNSS L5/E5a[J/OL]. IET Radar, Sonar & Navigation, 2014, 8(6): 647 – 655.
<http://dx.doi.org/10.1049/iet-rsn.2013.0198>.
- [78] BORIO D, DOVIS F, PRESTI L L. Optimal GNSS Pulse Blanking in the Presence of Interference[J/OL]. IET Signal Processing, 2013, 7(5): 442 – 449.
<http://dx.doi.org/10.1049/iet-spr.2012.0199>.
- [79] HOUDZOUMIS V A. A Simplified Method for the Analysis of Interference from JTIDS Radio Networks to DME Aeronautical Radionavigation Systems[J/OL]. The Journal of Navigation, 2009, 62(4): 721 – 737.
<https://www.cambridge.org/core/journals/journal-of-navigation/article/abs/simplified-method-for-the-analysis-of-interference-from-jtids-radio-networks-to-dme-aeronautical-D2A8D501D361F4D8AF1918370A6C721F>.

- [80] WU R, WANG W, LI L, et al. Distance Measuring Equipment Interference Suppression Based on Parametric Estimation and Wavelet-Packet Transformation for GNSS[J/OL]. IEEE Transactions on Aerospace and Electronic Systems, 2016, 52(4): 1607 – 1617.
<http://dx.doi.org/10.1109/TAES.2016.140759>.
- [81] HUO S, NIE J, TANG X, et al. Minimum Energy Block Technique Against Pulsed and Narrowband Mixed Interferers for Single Antenna GNSS Receivers[J/OL]. IEEE Communications Letters, 2015, 19(11): 1933 – 1936.
<http://dx.doi.org/10.1109/LCOMM.2015.2472516>.
- [82] HUO S, NIE J, TANG X, et al. Pulsed and Narrowband Mixed Interference Mitigation Technique for Single Antenna GNSS Receivers[J/OL]. IEICE Communications Express, 2015, 4(8): 245 – 250.
<http://dx.doi.org/10.1587/comex.4.245>.
- [83] MITCH R, PSIAKI M L, ERTAN T. Chirp-Style GNSS Jamming Signal Tracking and Geolocation[J/OL]. NAVIGATION, 2016, 63(1): 15 – 37.
<http://dx.doi.org/10.1002/navi.137>.
- [84] van der MERWE J R, CORTÉS I, GARZIA F, et al. Multi-Parameter Adaptive Notch Filter (MPANF) for Enhanced Interference Mitigation[J/OL]. NAVIGATION, 2023, 70(2).
<http://dx.doi.org/10.33012/navi.570>.
- [85] Joint Chiefs of Staff. CJCS Manuals[R/OL]. 2025.
<https://www.jcs.mil/Library/CJCS-Manuals/>.
- [86] Joint Chiefs of Staff. CJCS Instructions[R/OL]. 2025.
<https://www.jcs.mil/Library/CJCS-Instructions/>.

- [87] Defense Logistics Agency. ASSIST QuickSearch: MIL-STD-3011 Document Details[R/OL]. 2023.
https://quicksearch.dla.mil/qsDocDetails.aspx?ident_number=212468.
- [88] Defense Logistics Agency. ASSIST QuickSearch: MIL-STD-6020 Document Details[R/OL]. 2025.
https://quicksearch.dla.mil/qsDocDetails.aspx?ident_number=215906.
- [89] QIN H, CONG L, ZHENG X, et al. A JTIDS/INS/DGPS Navigation System with Pseudorange Differential Information Transmitted over Link-16: Design and Implementation[J/OL]. GPS Solutions, 2013, 17(3): 391 – 402.
<https://link.springer.com/article/10.1007/s10291-012-0287-3>.
- [90] FRIED W R, LOELIGER R. Principles, System Configuration and Algorithm Design of the Inertially Aided JTIDS Relative Navigation Function[J/OL]. NAVIGATION: Journal of the Institute of Navigation, 1979, 26(3): 224 – 236.
<https://www.ion.org/publications/abstract.cfm?articleID=100648>.
- [91] BARUFFA G, BISAGLIA P, FRESCURA F, et al. A Novel Mitigation Scheme for JTIDS Impulsive Interference on LDACS-1[J/OL]. Journal of Signal Processing Systems, 2013, 74: 149 – 163.
<https://link.springer.com/article/10.1007/s11265-013-0810-0>.
- [92] SCHNECKENBURGER N, FIEBIG U-C, LO S, et al. Characterization and Mitigation of Multipath for Terrestrial-based Aviation Radionavigation[J/OL]. NAVIGATION, 2018, 65(2): 143 – 156.
<http://dx.doi.org/10.1002/navi.235>.
- [93] Forsvarets Forskningsinstitut (FFI). SDA begins limited testing of space-based Link 16[R/OL]. 2023.
<https://www.ffi.no/en/news/SDA-gets-approval-to-test-space-based-link-16>.

- [94] Redwire Space. SDA Completes Space-to-Ship Link 16 Demonstration[R/OL]. 2024.

<https://redwirespace.com/newsroom/sda-completes-another-major-link-16-testing-milestone-with-s>

- [95] Joint Air Power Competence Centre (JAPCC). Enabling Technological Innovation for Alliance Airpower Advantage (F-35, TDLs)[R/OL]. 2024.

<https://www.japcc.org/articles/enabling-technological-innovation-for-alliance-airpower-advantage/>.

- [96] Joint Air Power Competence Centre (JAPCC). NATO Air and Space Power in Countering Hybrid Threats (*Hosted Satellite Payloads*)[R/OL]. 2015.

https://www.japcc.org/wp-content/uploads/JAPCC_Newsletter_22_Hosted_Satellite_Payloads.pdf.

致 谢

攻读硕士学位期间科研情况

■ 学术论文

■ 发明专利

